

# Agir maintenant face aux changements climatiques

## Mitigation des vagues de chaleur en milieu urbain

Dominique Derome

Chaire de recherche du Canada niveau 1 Physique du bâtiment multi-échelle

Département de génie civil et génie du bâtiment

Université de Sherbrooke, Canada

Léopold Giroux-Gauthier

Adrien Rodriguez

Clément Nevers

Université de Sherbrooke

Aytaç Kibilay

Yongling Zhao

Dominik Strelbel

Jan Carmeliet

Chair of Building Physics, ETH Zurich, Switzerland



Université de  
Sherbrooke

ETS 28 février 2024

CEBQ



# Agir maintenant face aux changements climatiques

## Adaptation aux CC – événements extrêmes: vagues de chaleur, inondations

*Mitigation des vagues de chaleur en milieu urbain*

*Dominique Derome*

Quelles solutions d'aménagement peut-on proposer pour le mieux-être en vague de chaleur.  
Nous parlerons de l'eau, de l'ombrage et des arbres.

## Mitigation des CC – réduction des émissions intrinsèques et en opération

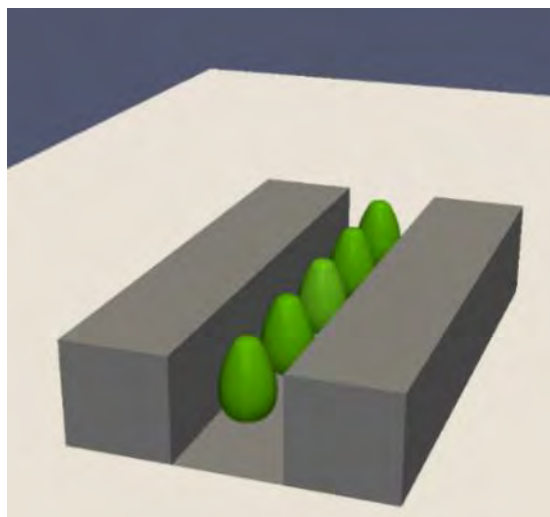
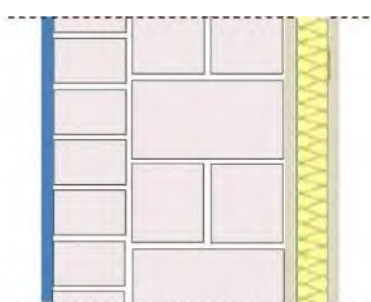
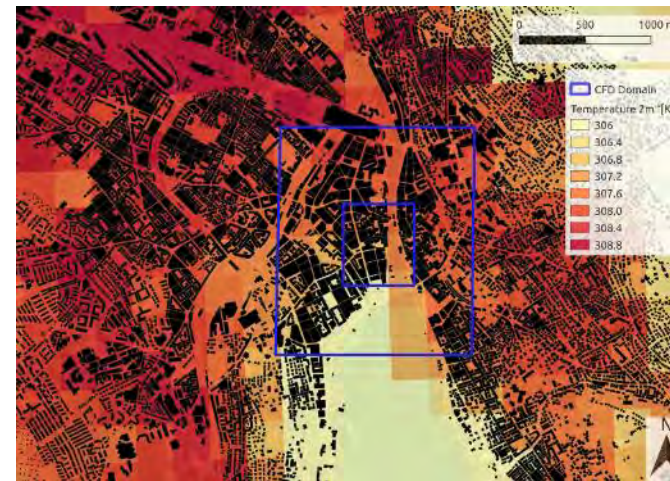
*Rôle de l'enveloppe dans le confort d'été 2050, décarbonation, efficacité énergétique*

*Marika Frenette et Célia Mailfert*

Nous présenterons l'impact du réchauffement climatique sur la conception de l'enveloppe  
des points de vue confort d'été et décarbonation à l'aide de deux études de cas.

# Urban climate mitigation using multiscale approach

- **Mesoscale**
  - City and surroundings (domain size: < 200 km)
  - Meteorological models with urban parameterization
- **Microscale**
  - Neighborhood (domain size: < 2 km)
  - CFD models: wind and heat
- **Microscale**
  - Local / building (domain size: < 100 m)
  - CFD models: wind, heat, moisture

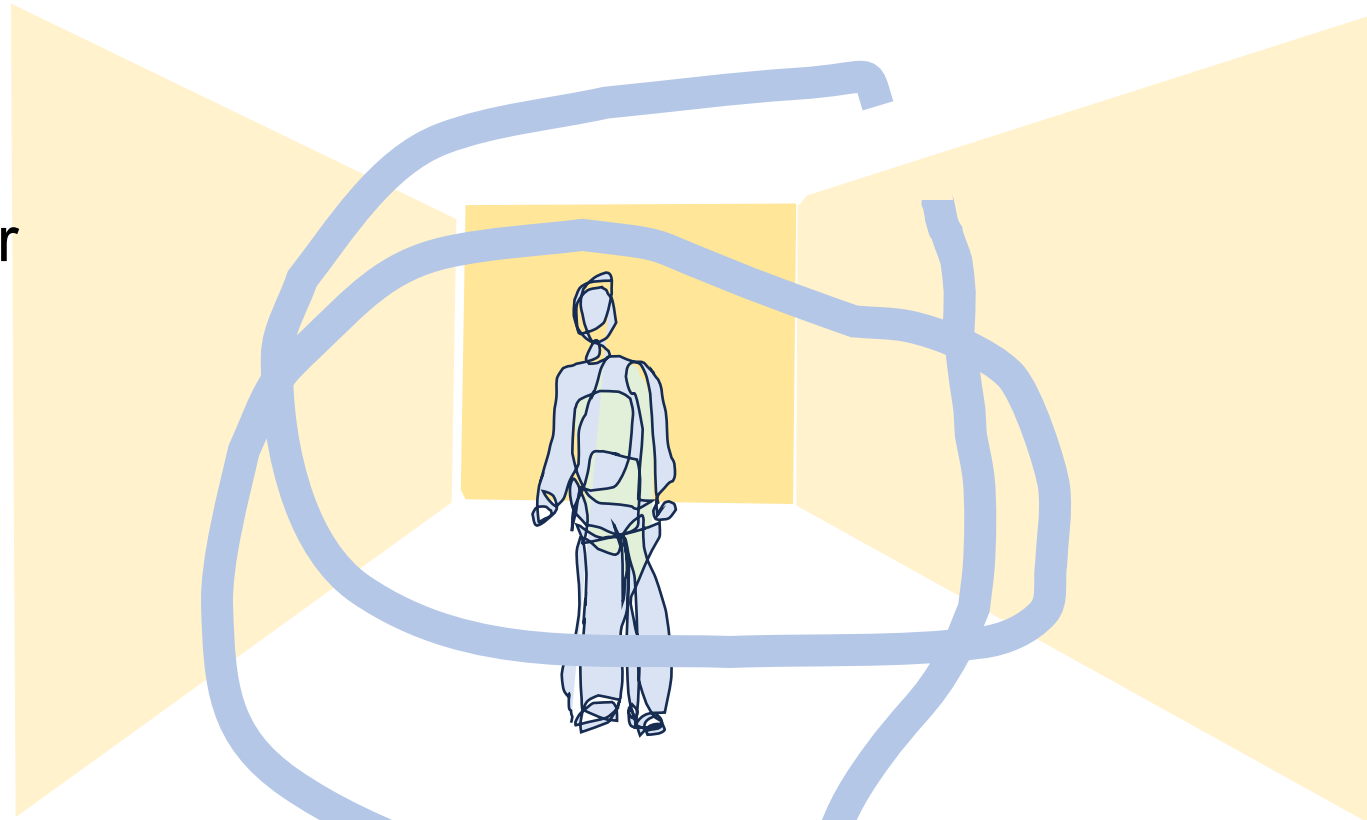


# Confort thermique

température de l'air

humidité relative de l'air

vitesse de l'air



habillement  
métabolisme (activité)

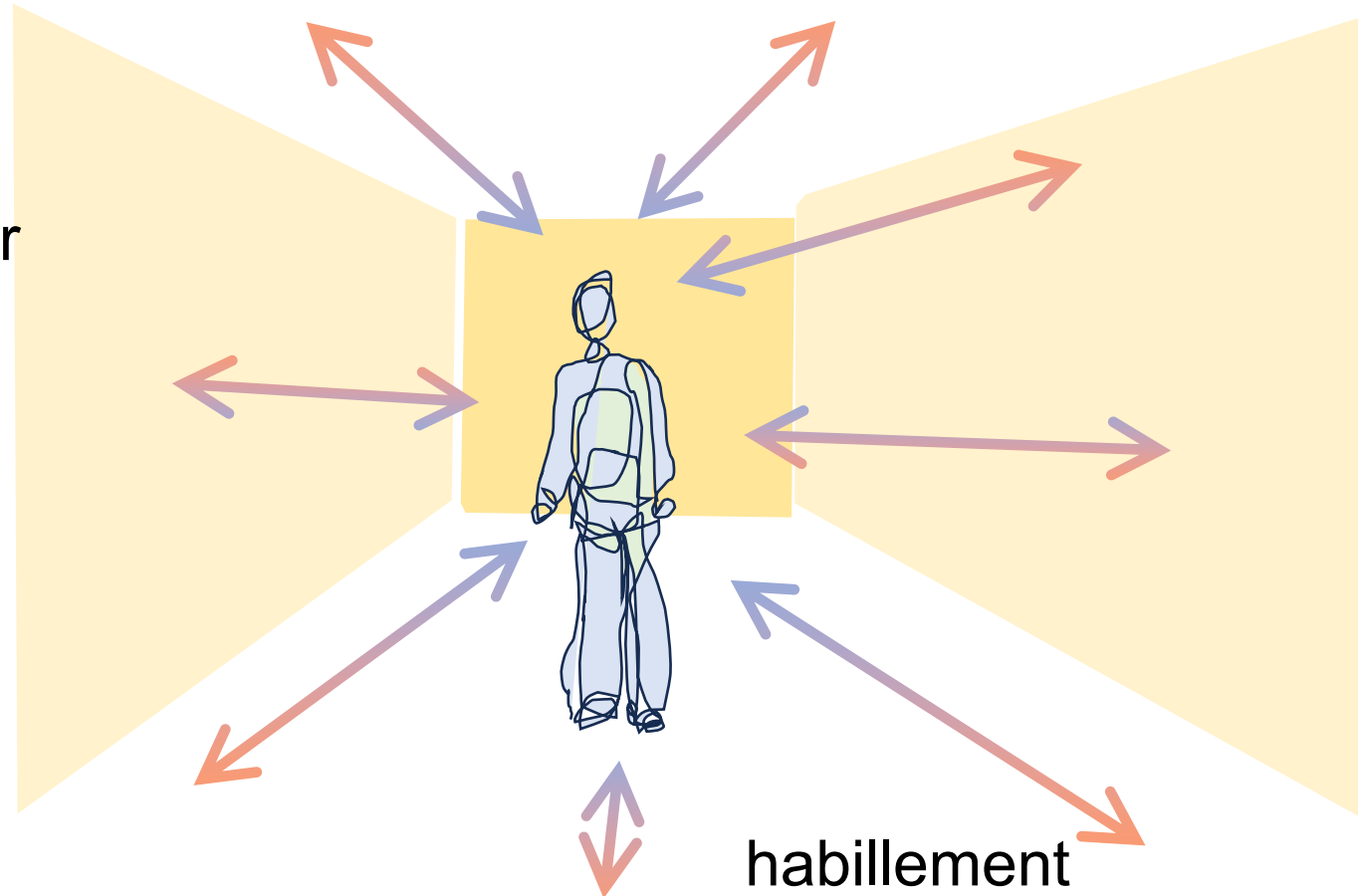
# Confort thermique

température de l'air

humidité relative de l'air

vitesse de l'air

échanges radiatives  
surface à surface



habillement  
métabolisme (activité)

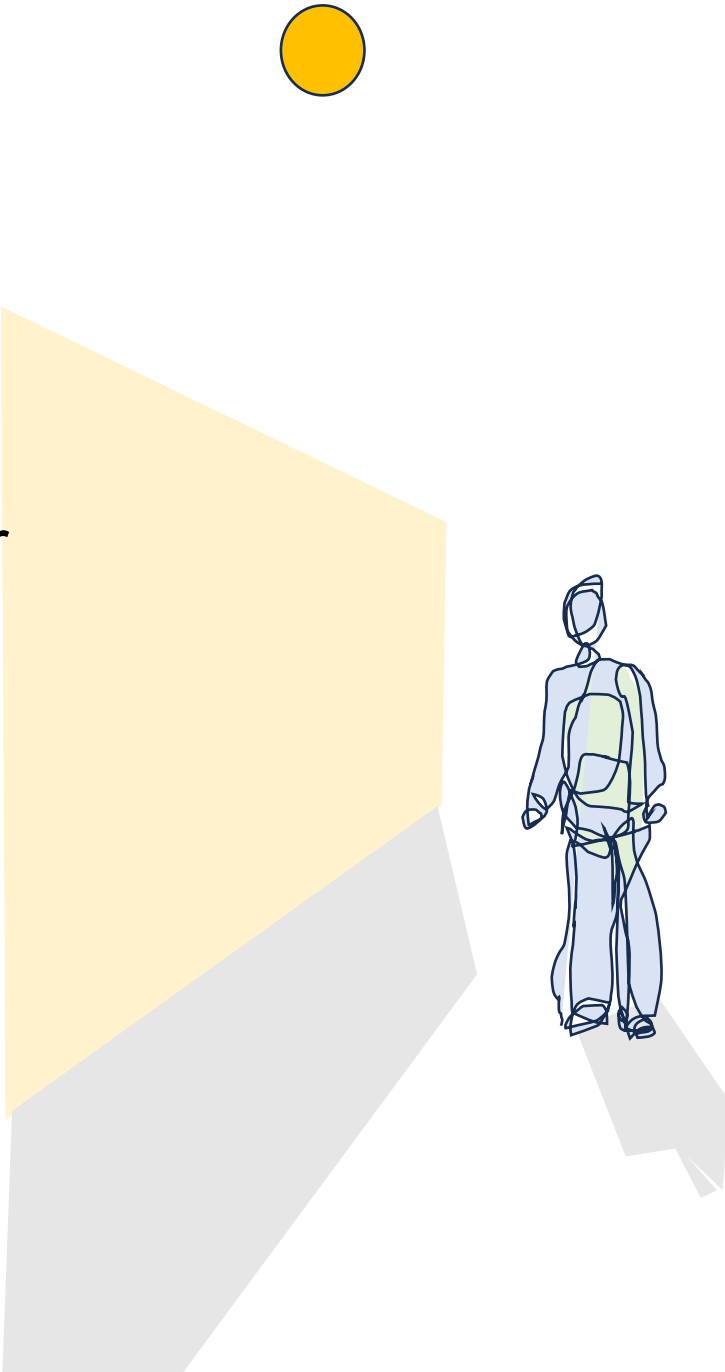
# Confort thermique

température de l'air

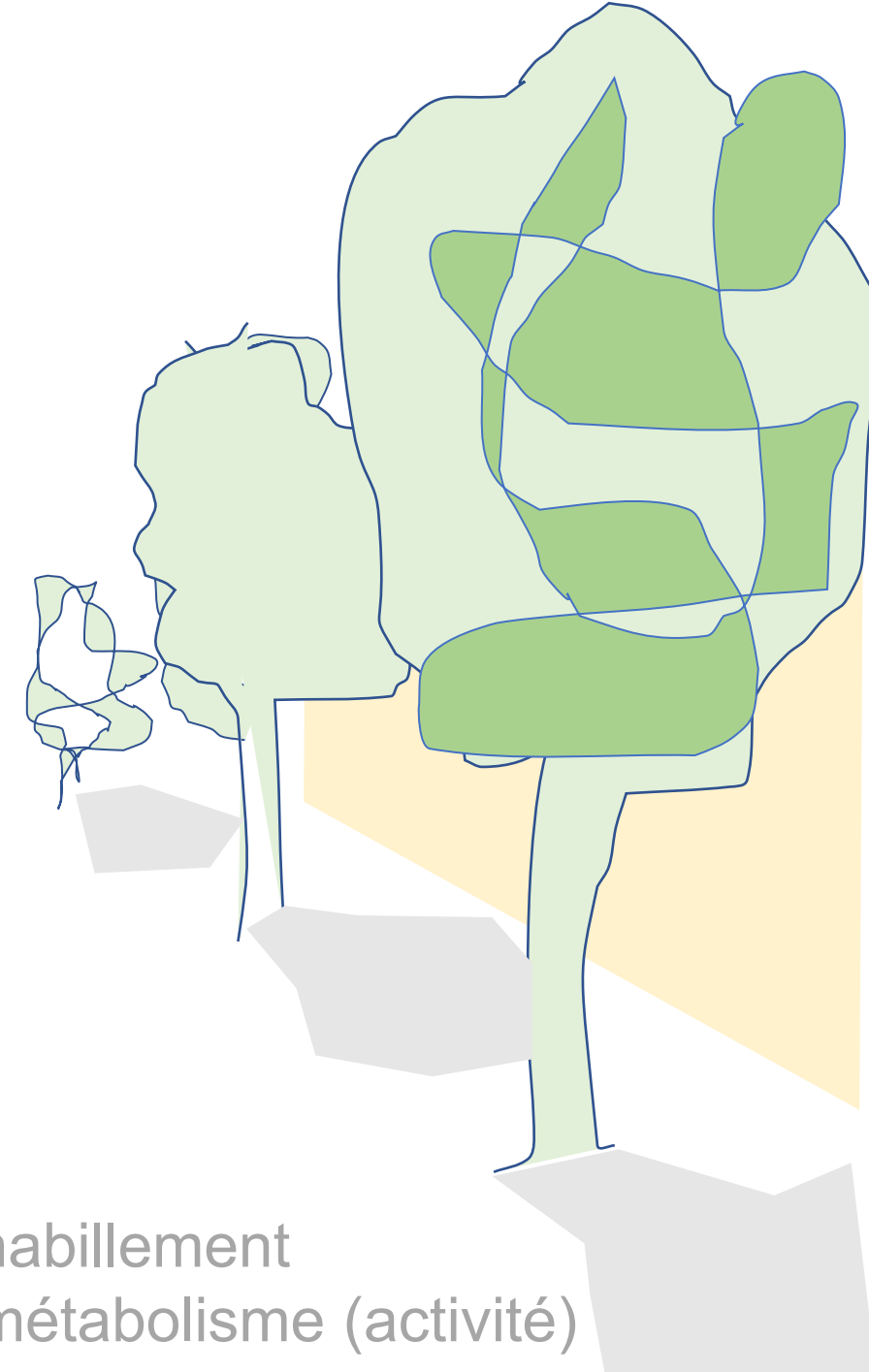
humidité relative de l'air

vitesse de l'air

échanges radiatives  
surface à surface



habillement  
métabolisme (activité)



# Indice universel de confort thermique

## Evaluation du confort thermique urbain

Température ambiante équivalente  
à un environnement donnant  
une réponse physiologique similaire

- température de l'air
- température radiante moyenne
- humidité relative de l'air
- vitesse de l'air
- habillement
- activité

$$T_{mrt} = \left[ T_{umrt}^4 + \frac{f_p \alpha_p I_{dir}}{\varepsilon_p \sigma} \right]^{0.25}$$

Effet des températures de surface irradiant la personne

Radiation solaire directe sur la personne

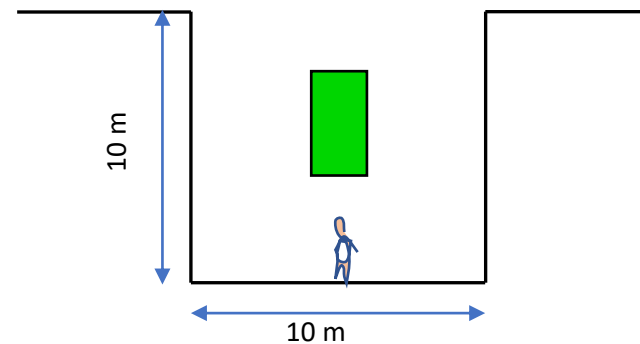
### Universal Thermal Climate Index (UTCI)

UTCI range (°C)	Stress category
> 46	Extreme heat stress (HS)
38 to 46	Very strong HS
32 to 38	Strong HS
26 to 32	Moderate HS
9 to 26	No thermal stress
0 to 9	Slight cold stress (CS)
-13 to 0	Moderate CS
-27 to -13	Strong CS
-40 to -27	Very strong CS
< -40	Extreme CS

# Indice universel de confort thermique

## Influence de la présence d'arbre sur le confort thermique

ombrage  
refroidissement par évaporation

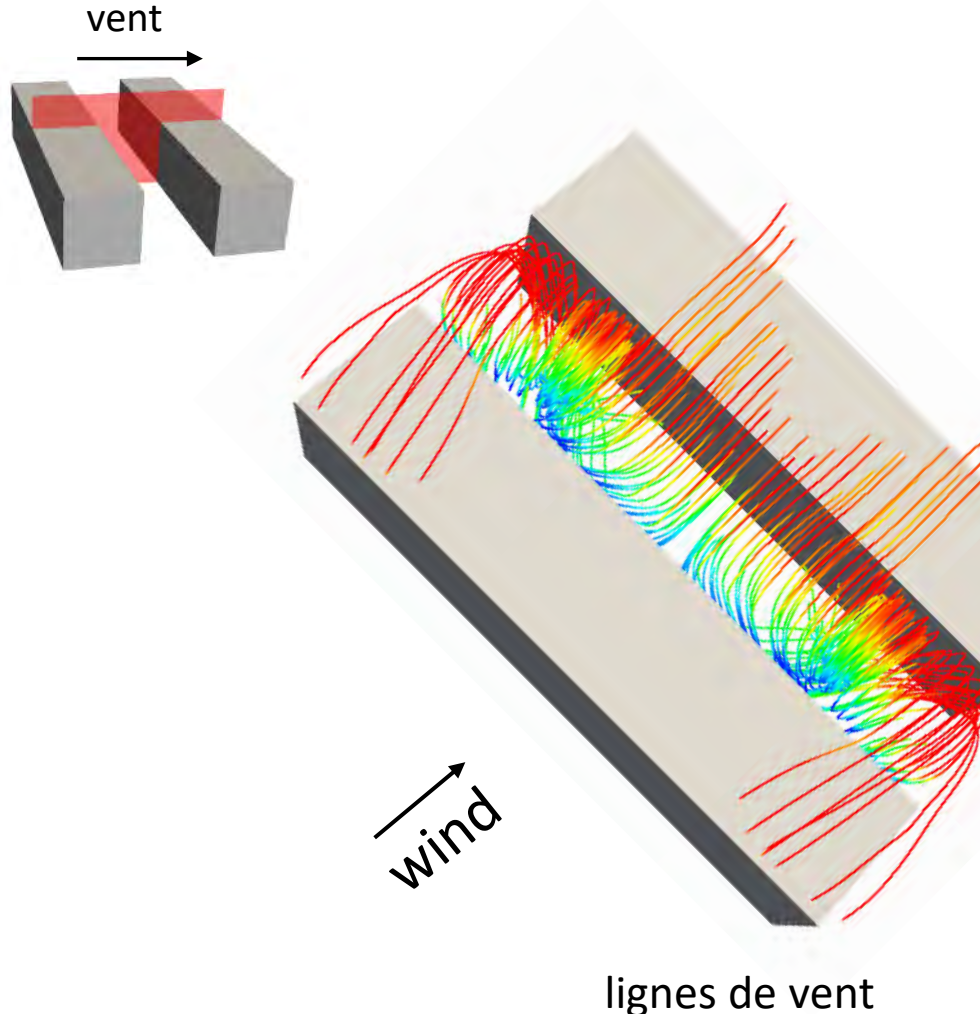


Universal Thermal Climate Index

# physique du milieu urbain

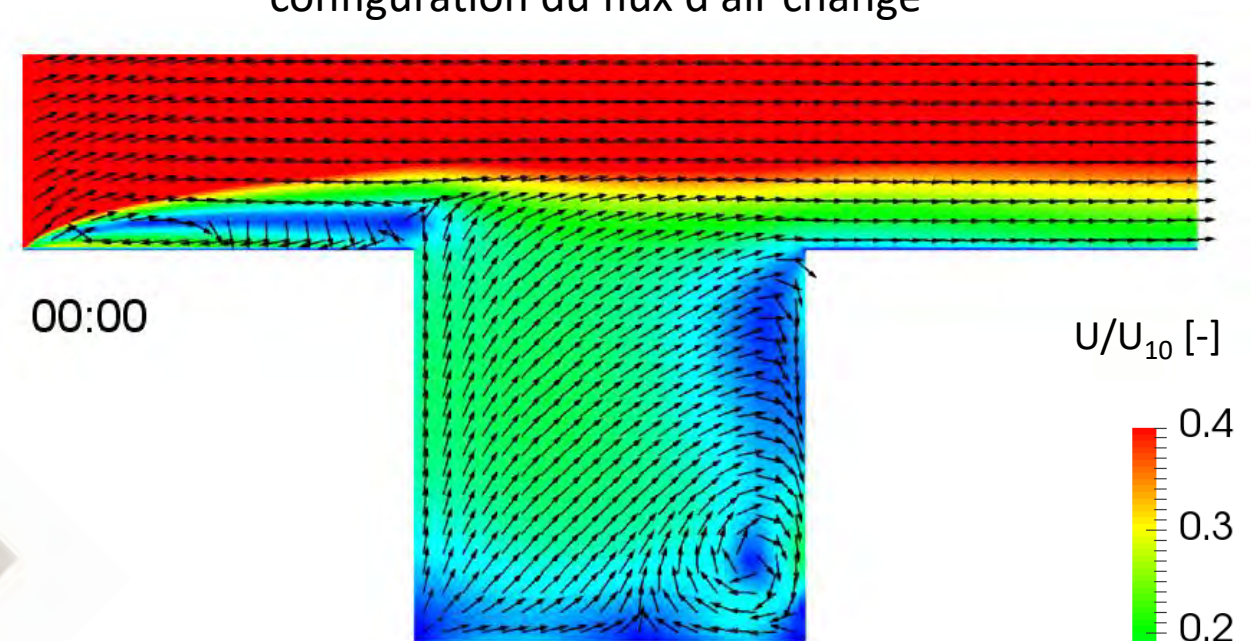
## Modélisation – matériaux poreux et DFC

### Champ d'écoulement du vent



vent

00:00

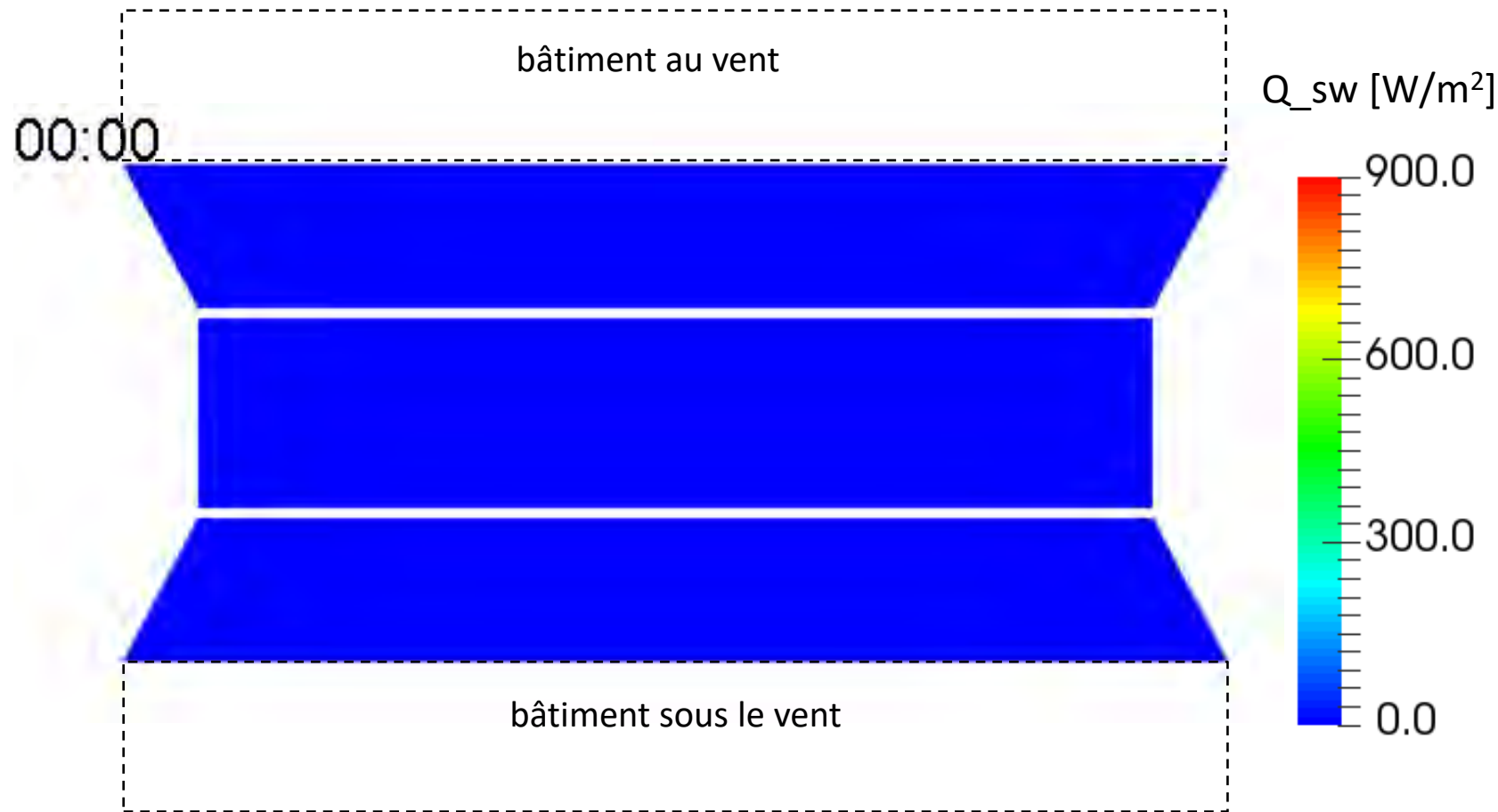
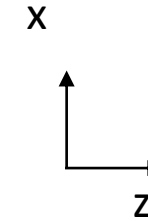


L'air froid entre dans le canyon de la rue par les côtés et sort par le niveau du toit.

# physique du milieu urbain

## Modélisation – matériaux poreux

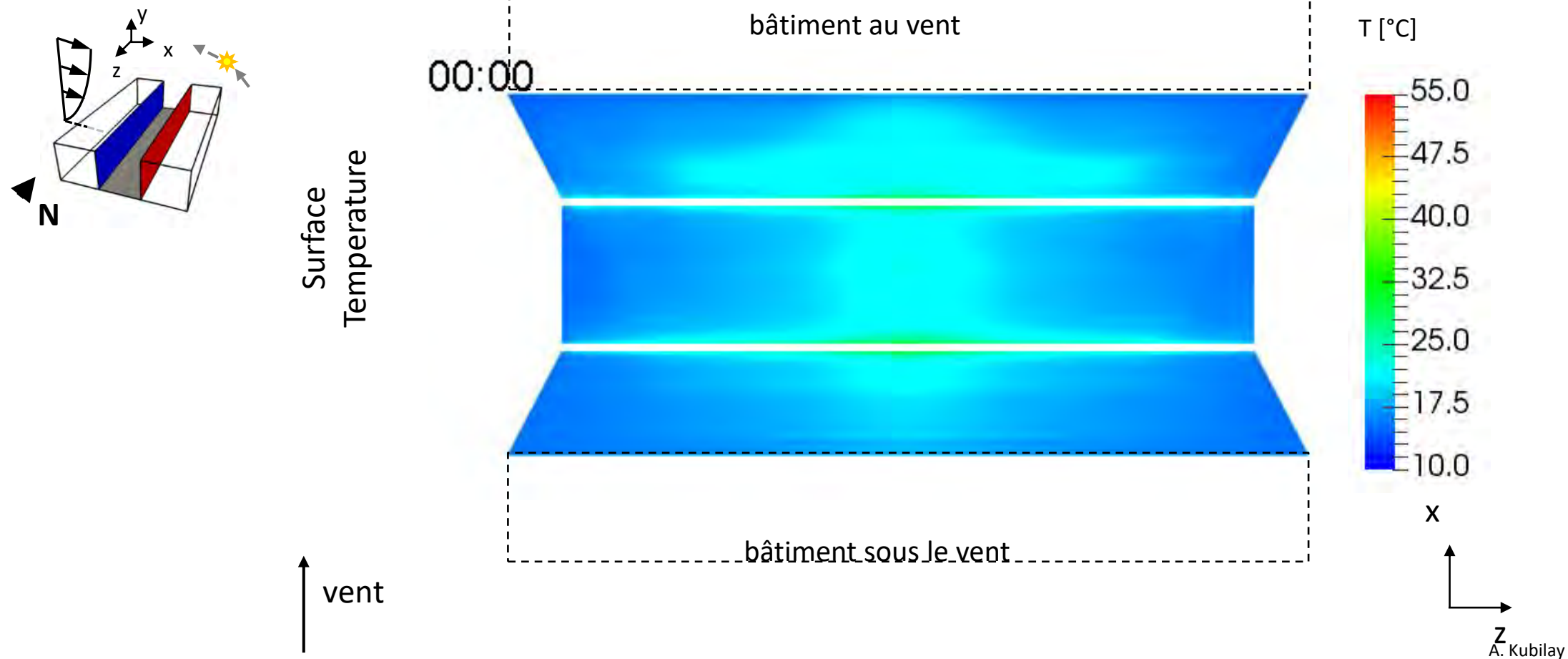
Rayonnement net de courte longueur d'onde



# physique du milieu urbain

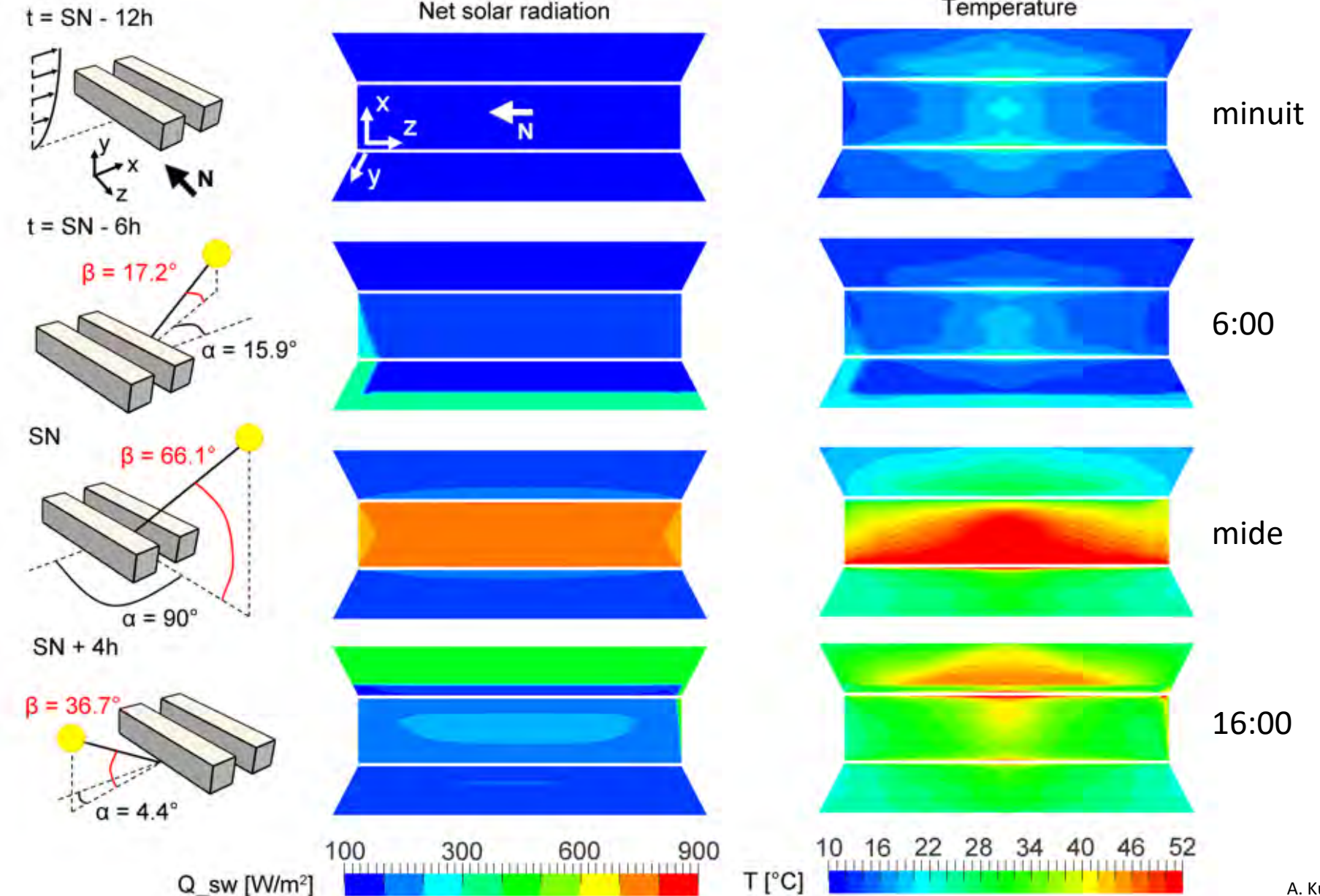
## Modélisation – matériaux poreux

### Température de surface



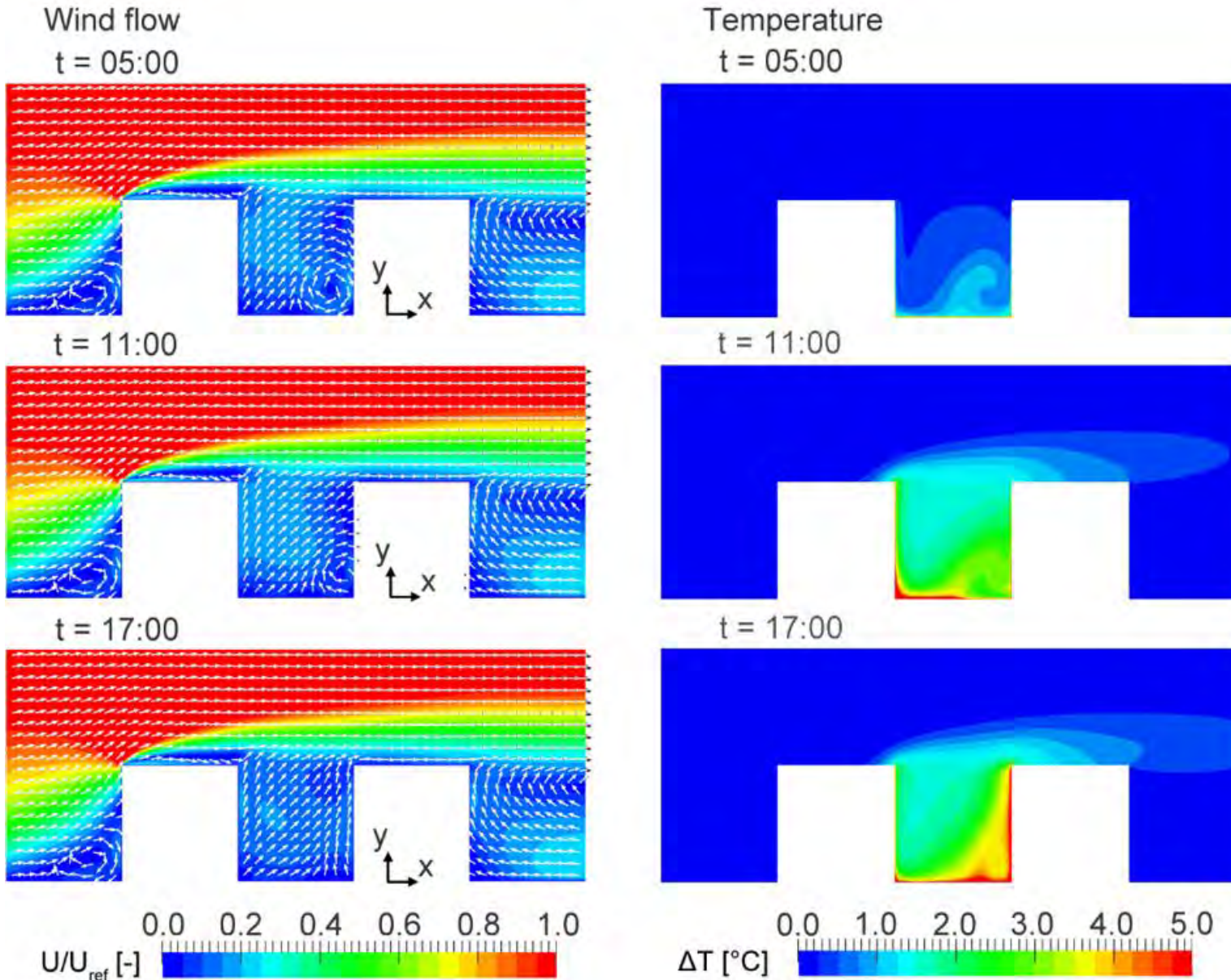
# physique du milieu urbain

## Modélisation – matériaux poreux



# physique du milieu urbain

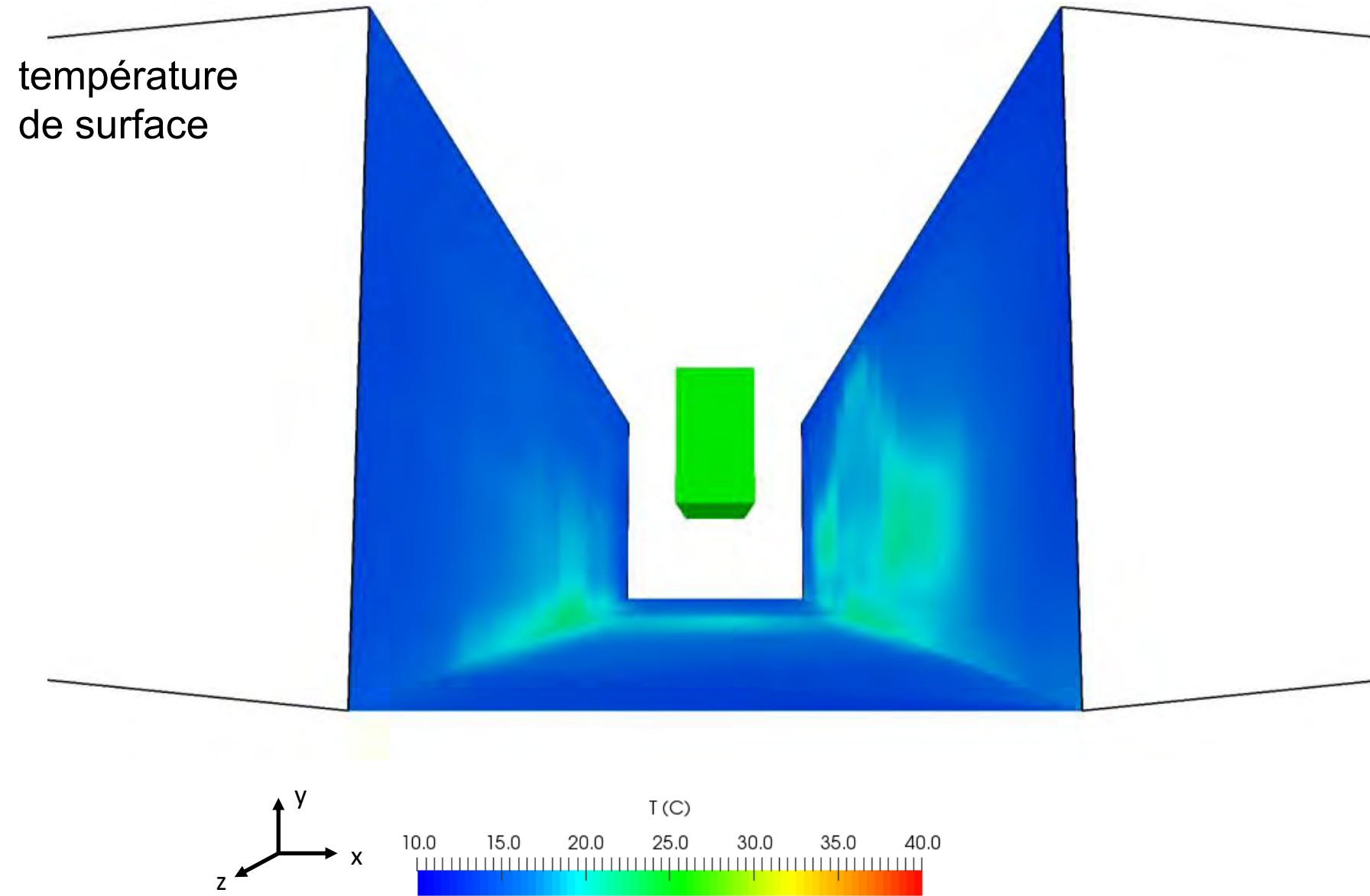
## Modélisation – matériaux poreux



# physique du milieu urbain

## Modélisation

Ajout d'une rangée d'arbres dans la rue

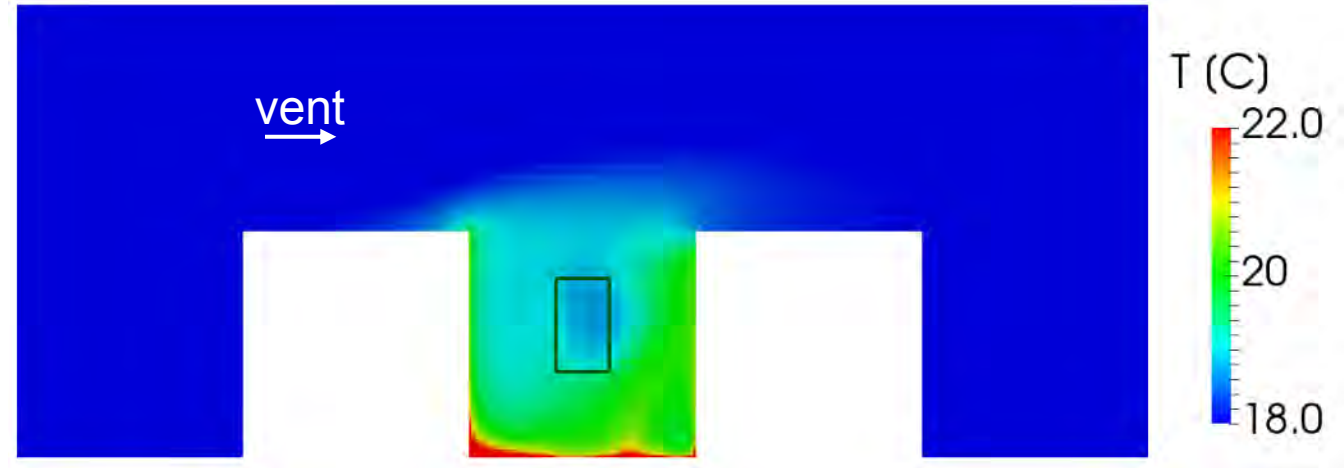


# physique du milieu urbain

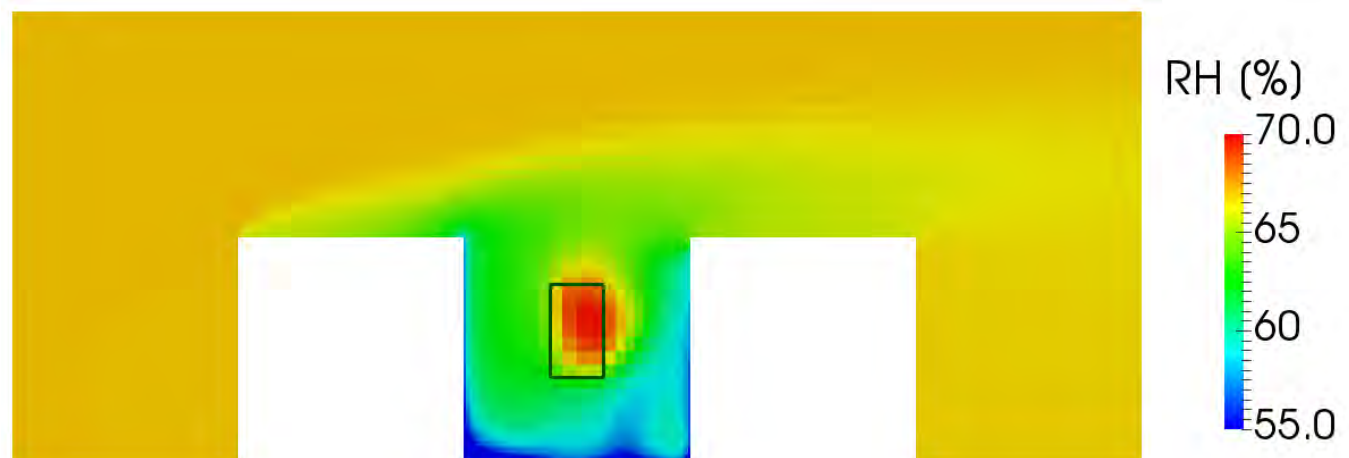
## Modélisation

Effet de la transpiration de l'arbre  
refroidissement et  
humidification localement

température de l'air à midi



humidité relative de l'air à midi

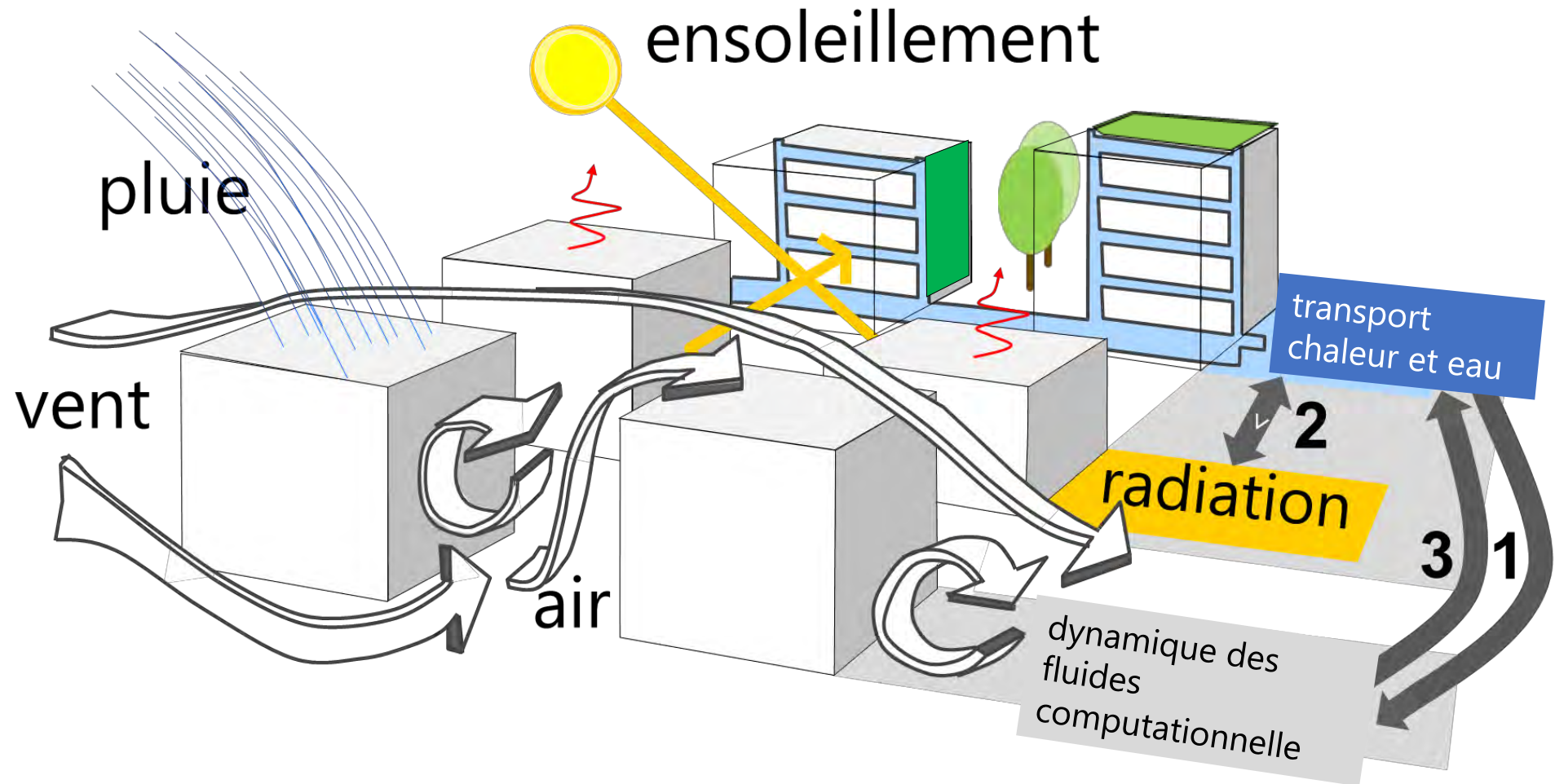


physique du milieu urbain

# Modélisation – DFC + rayonnement + HAM

Modèle couplé pour simuler le climat urbain

Approche: intégrer tous les aspects physiques...

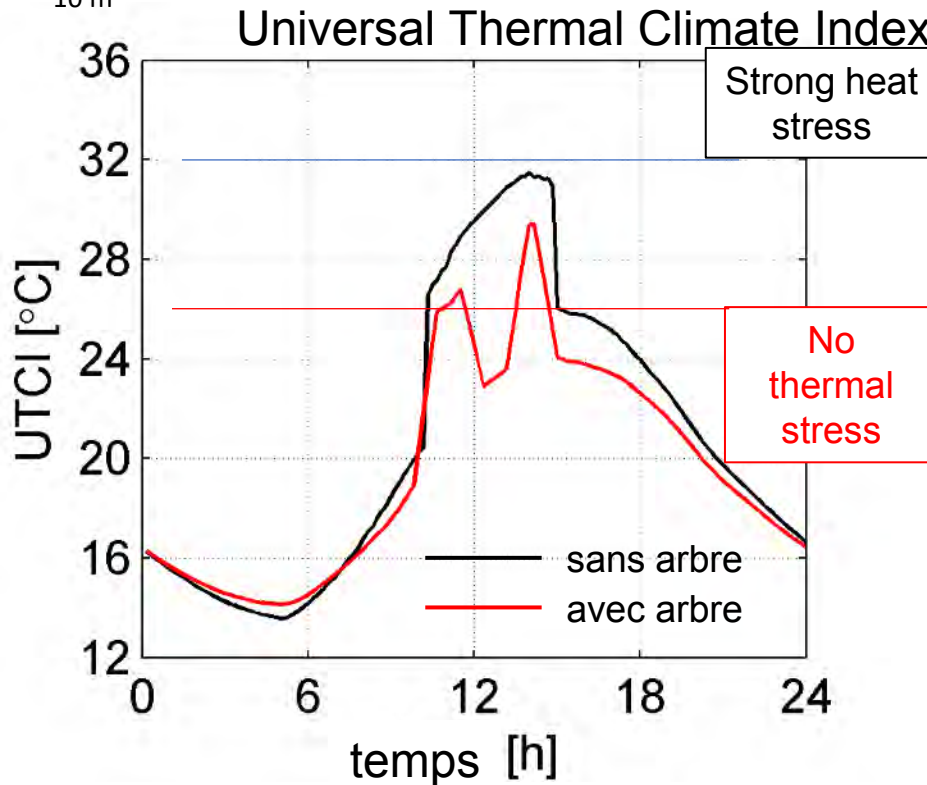
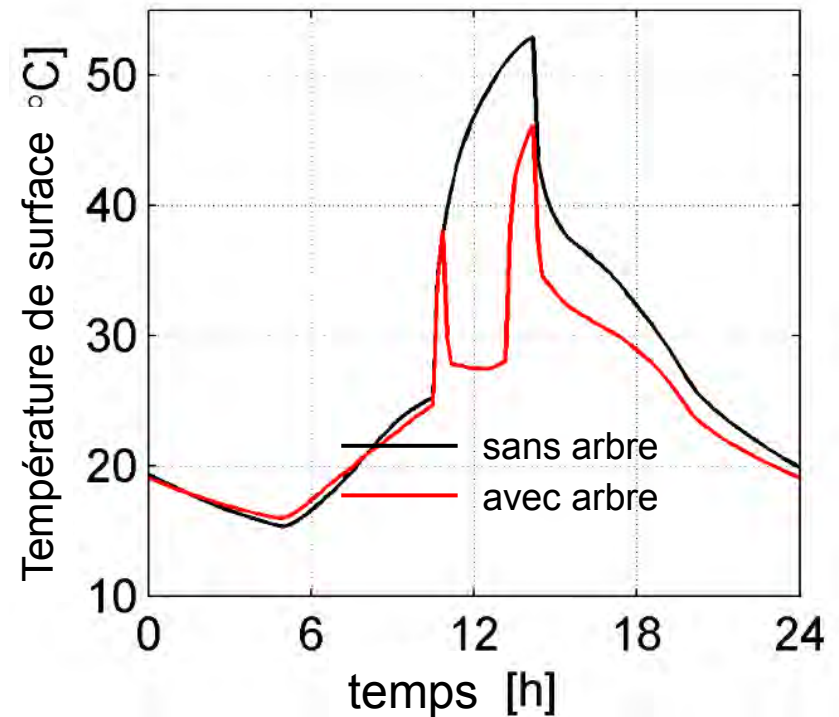
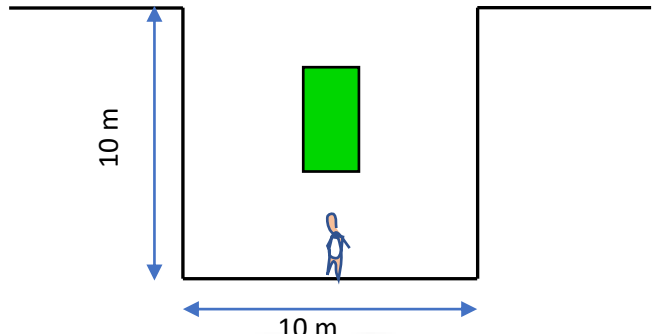


# physique du milieu urbain

## Modélisation

### Influence de la présence d'arbre sur le confort thermique

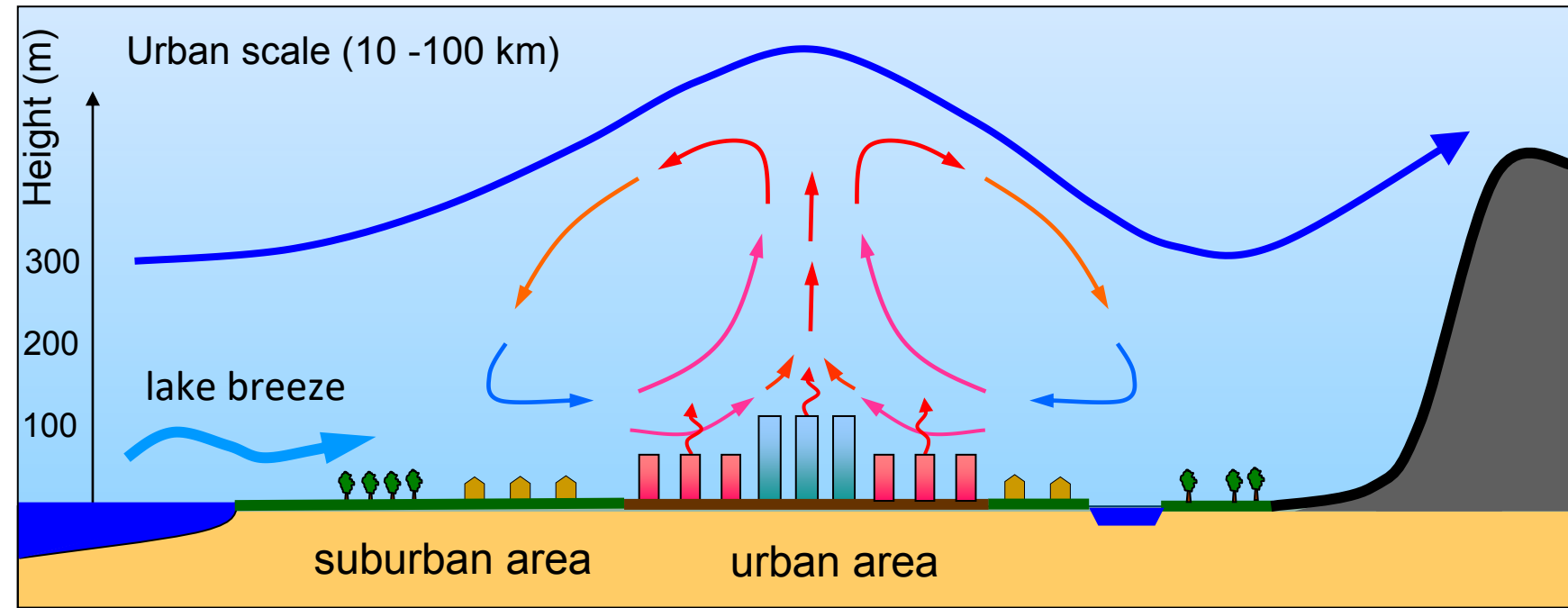
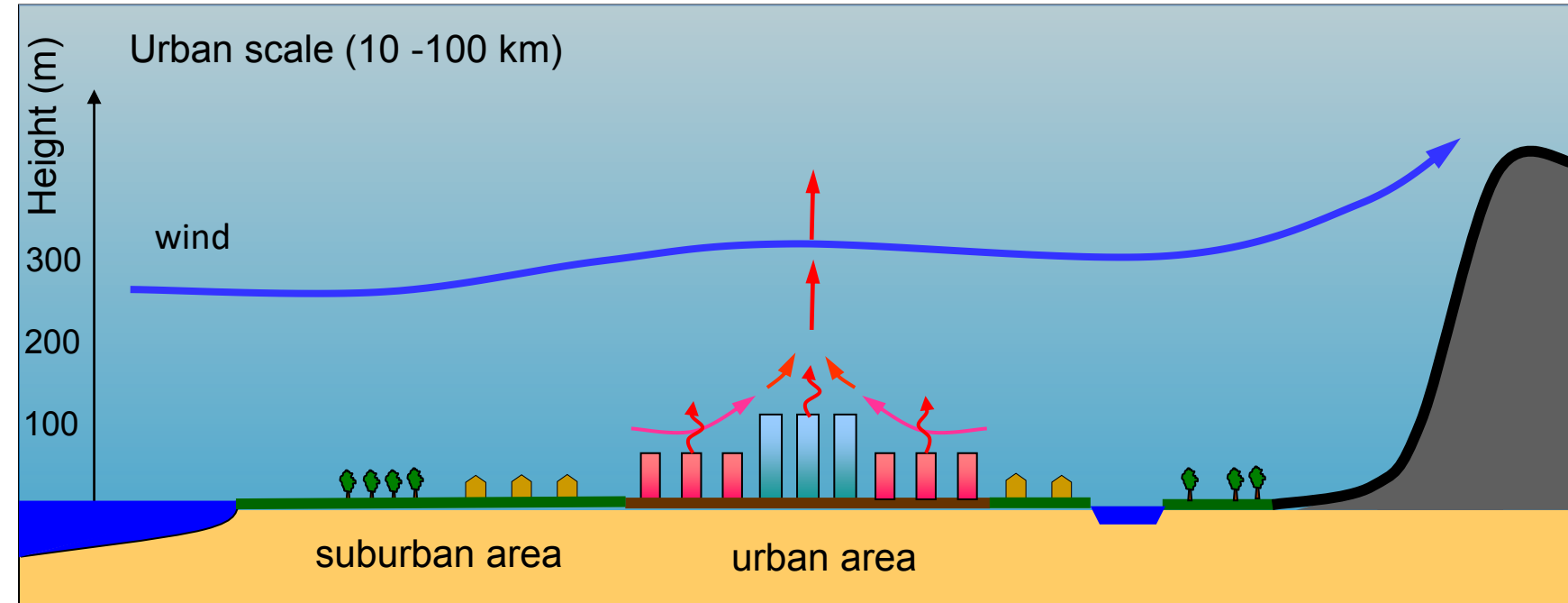
ombrage  
refroidissement par évaporation



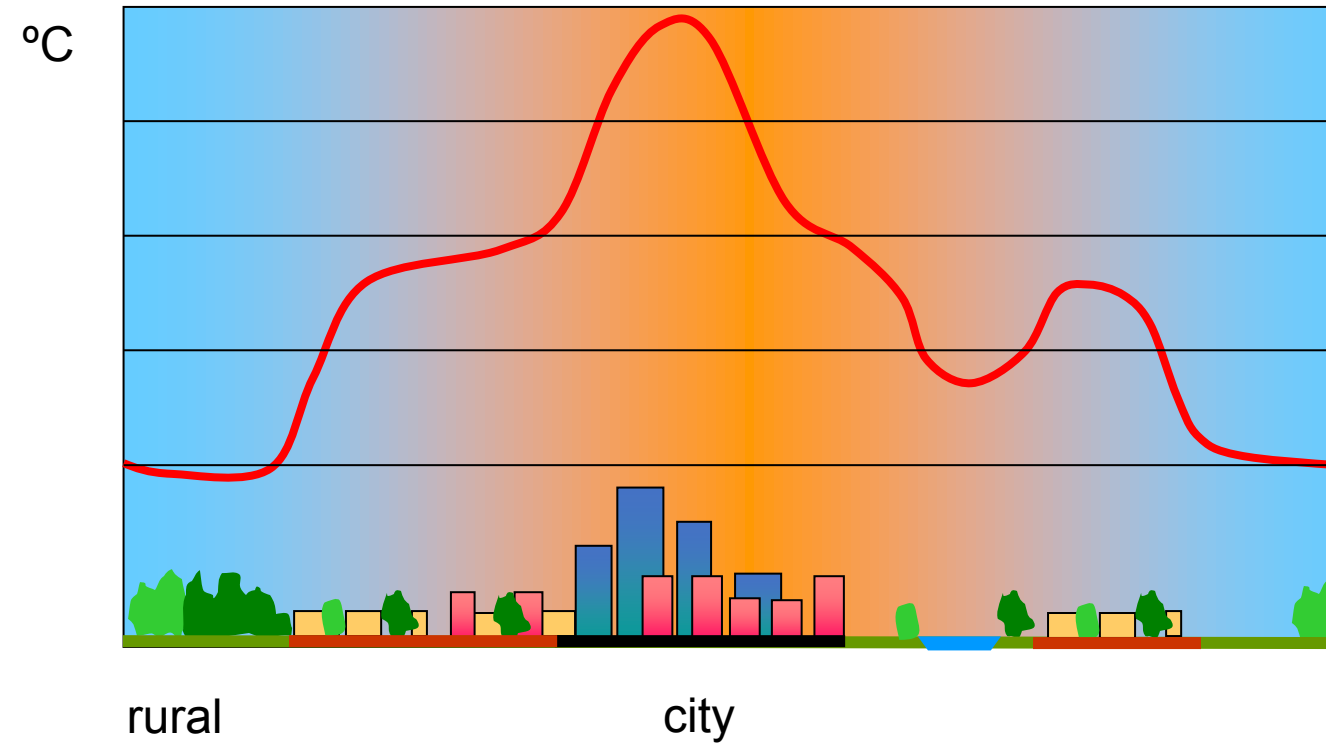
UTCI range ( $^{\circ}\text{C}$ )	Stress category
> 46	Extreme heat stress (HS)
38 to 46	Very strong HS
32 to 38	Strong HS
26 to 32	Moderate HS
9 to 26	No thermal stress
0 to 9	Slight cold stress (CS)
-13 to 0	Moderate CS
-27 to -13	Strong CS
-40 to -27	Very strong CS
< -40	Extreme CS

# Îlots de chaleur urbain

## Effets



# Îlots de chaleur urbain Effet ICU



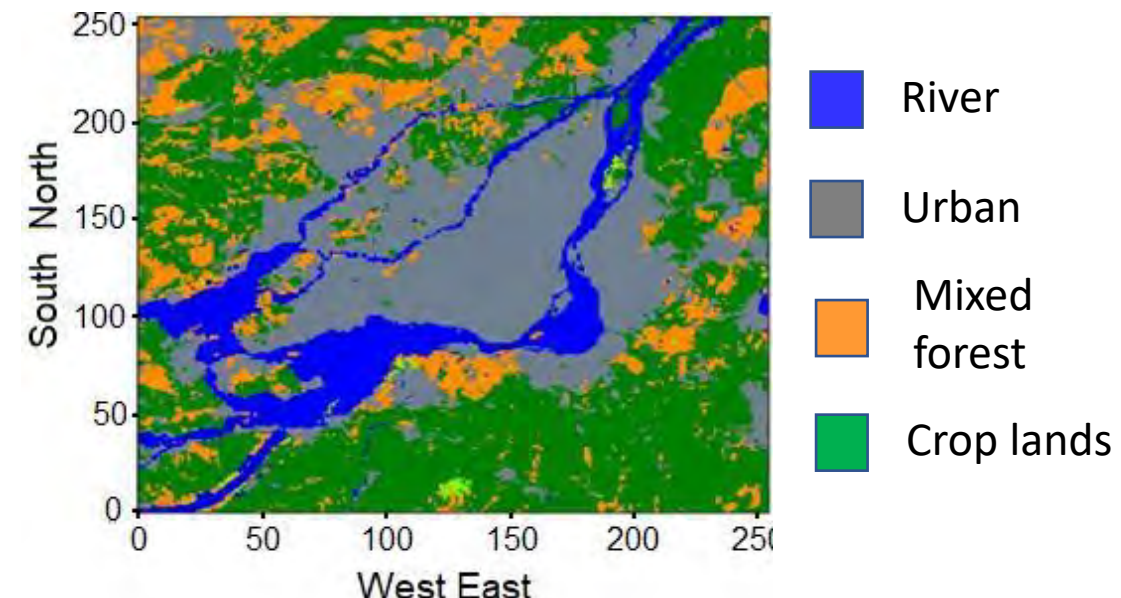
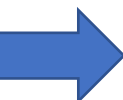
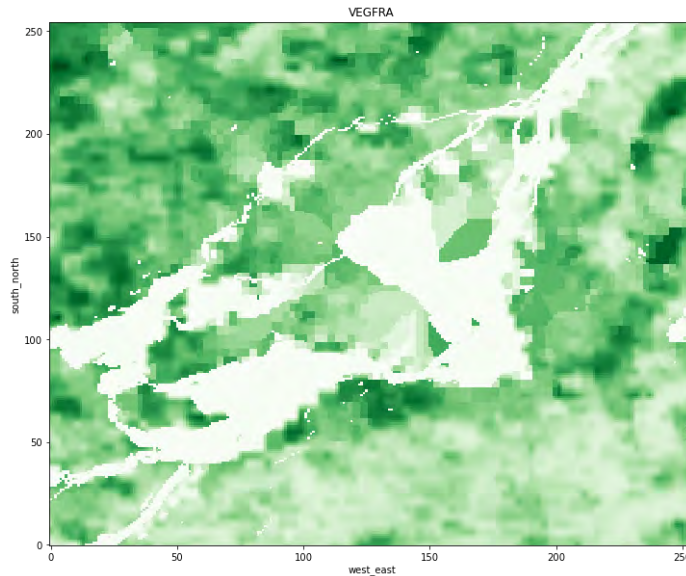
**Intensité du ICU** = différence de température entre régions de ville et rural

Town, City	Heat island intensity
Biel, Fribourg	5 K
Basel, Bern	6 K
Zürich	7 K

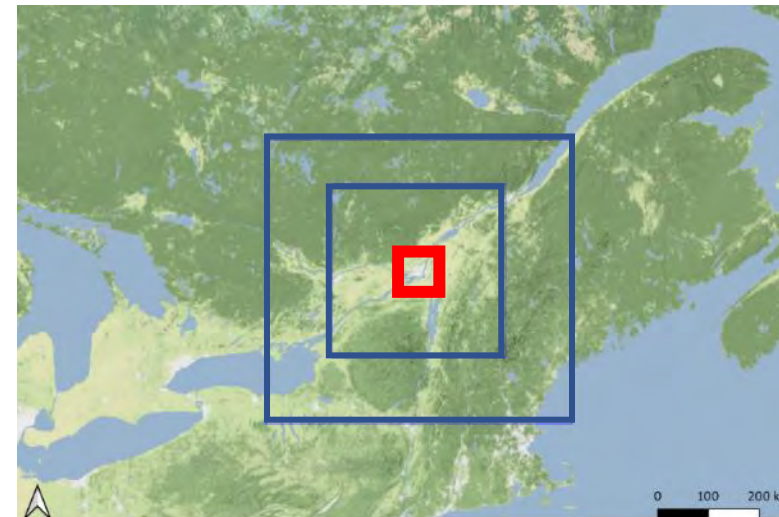
# Mesoscale Meteorological Model (MMM) for HW simulation in Montreal

## WRF simulation

- ERA-5 re-analysis model of ECMWF (European Centre for Medium-Range Weather Forecasts) on a  $0.25^\circ \times 0.25^\circ$  grid, three step downnesting configuration
- Resolution in smallest domain is 250 m
- Modis Land use categories based on vegetation fraction

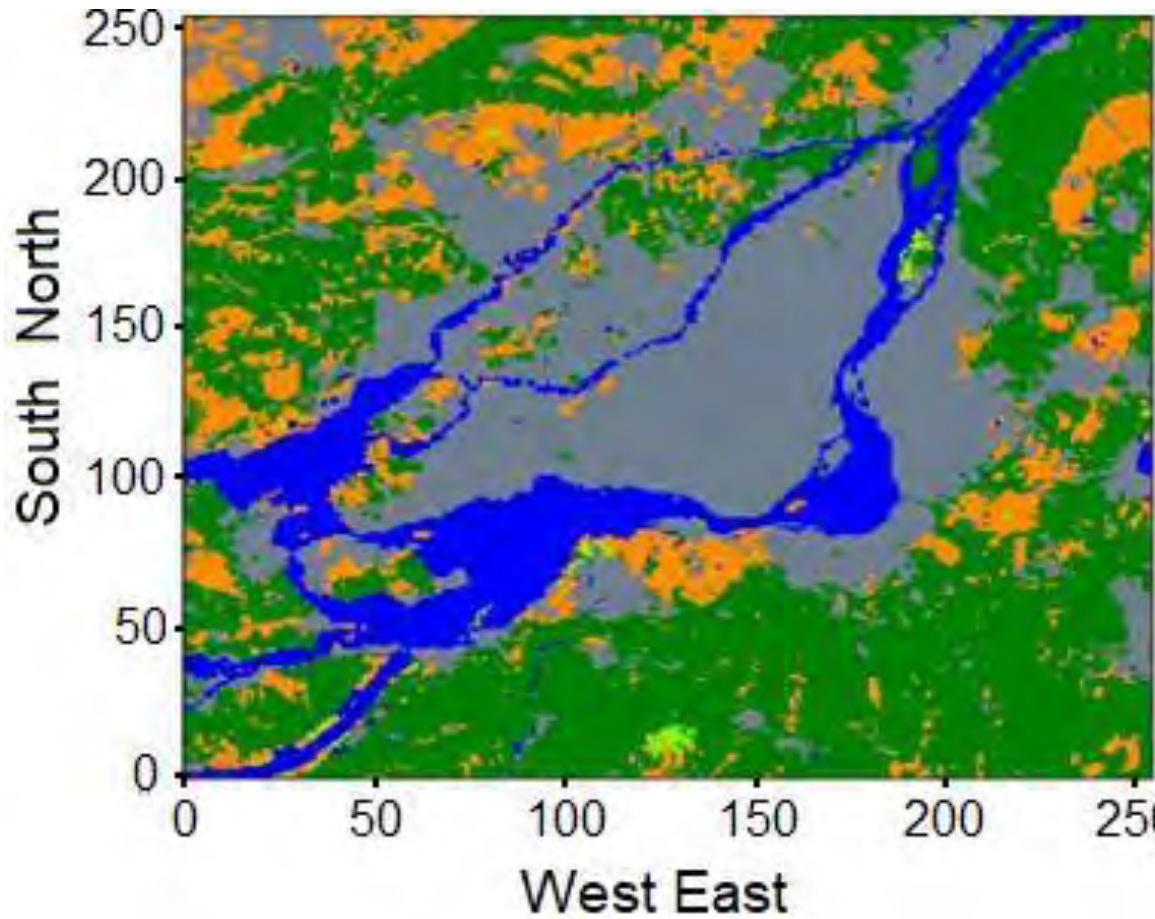


Montreal three domain downnesting.

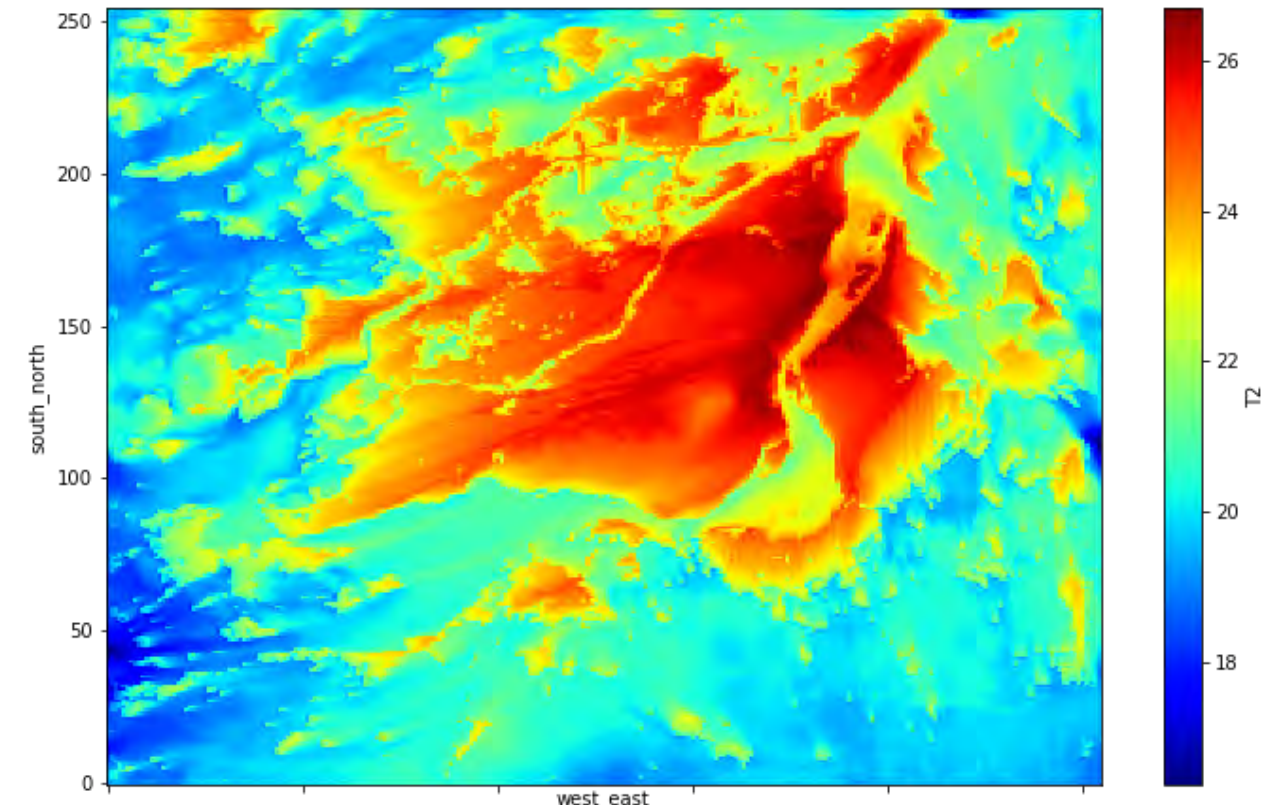


# Mesoscale Meteorological Model (MMM) results for HW in Montreal

Land use in Montreal



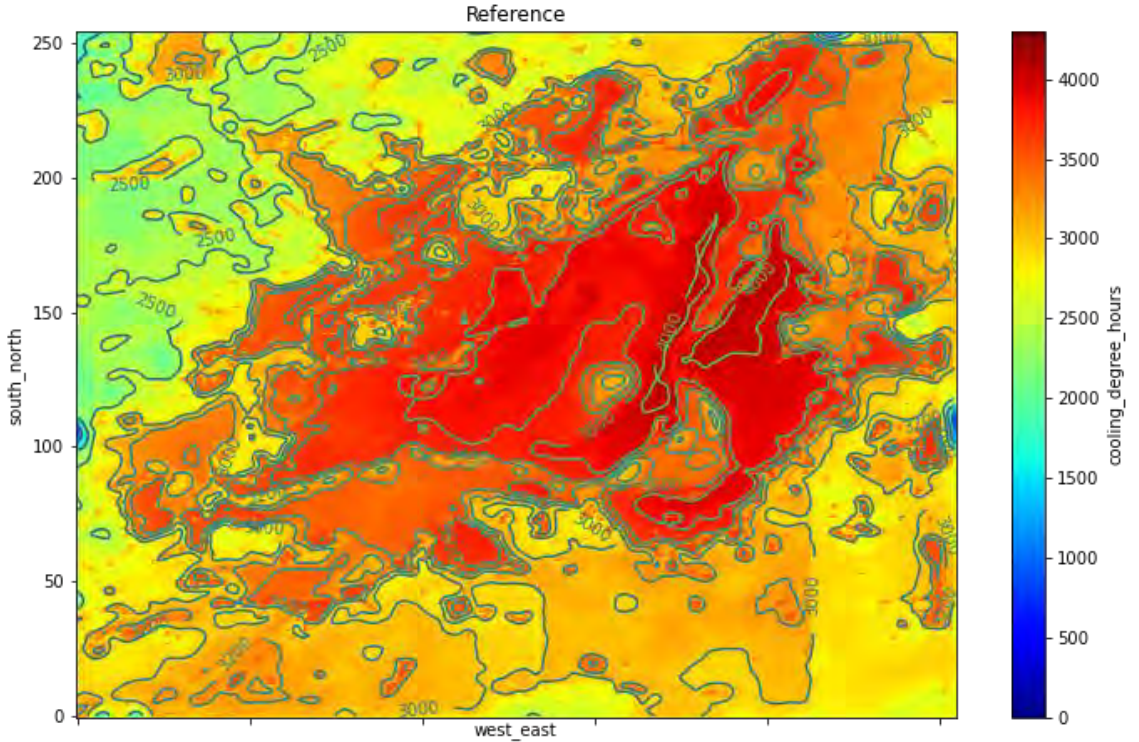
Air temperature at 2 meter (T2) at 22 June 2020 during heat wave at 0 am.



Weather Station	RMSE [°C]
Ste-Anne	2.68
Airport	2.91
McTavish	2.60

# UHI characterization: CDH

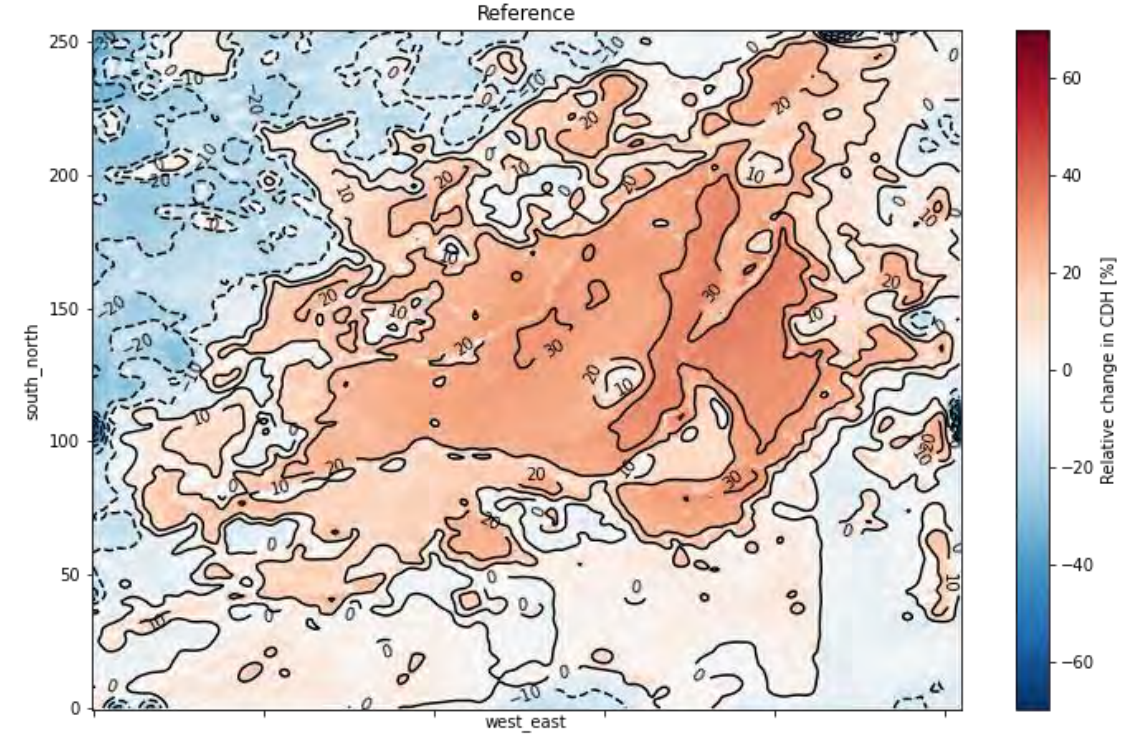
CDH (setpoint 20°) from 15 May to 30 June 2020



CDH varies between 2400 and 4500 °C.h

Montreal

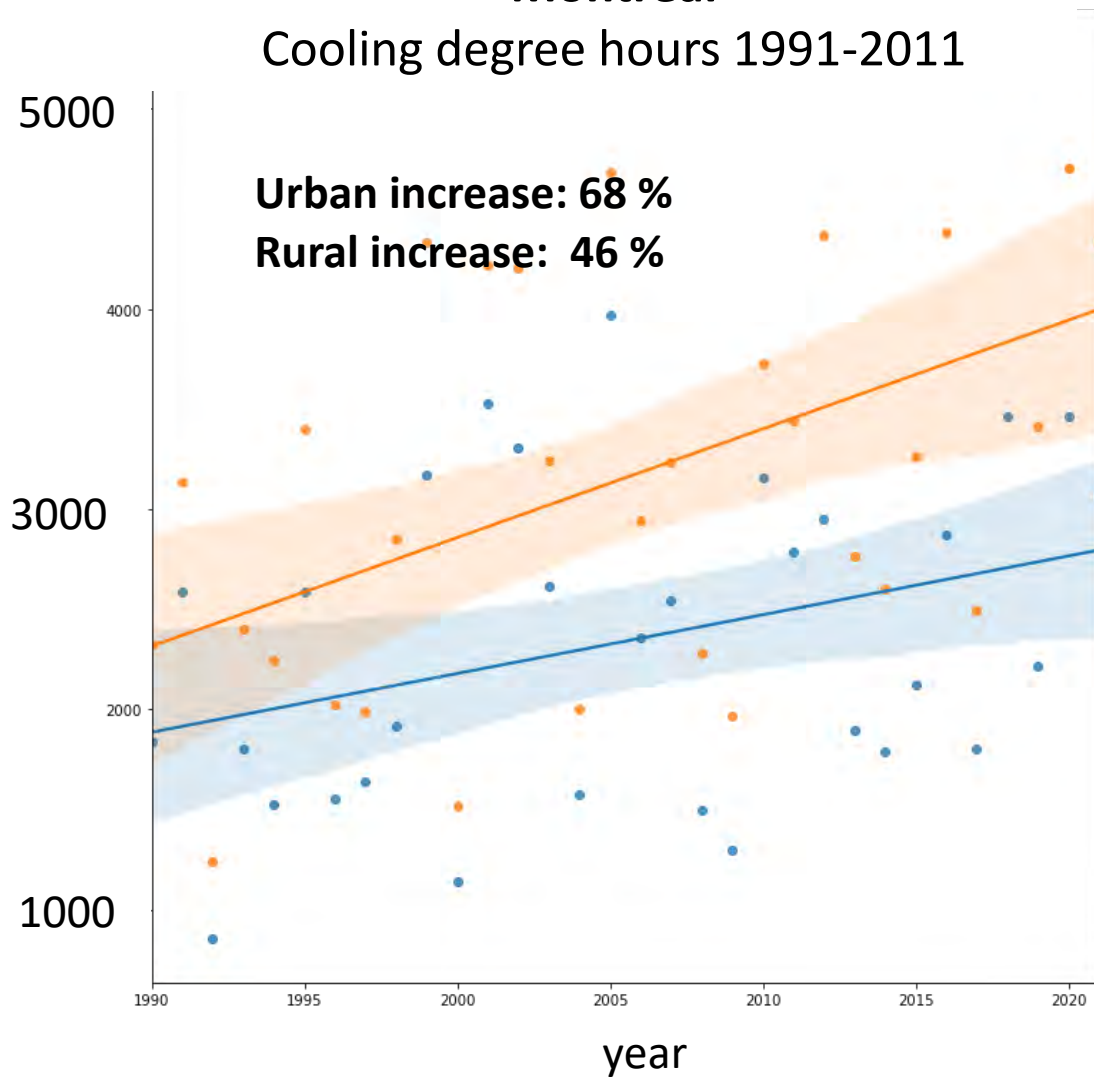
Relative change CDH urban versus rural



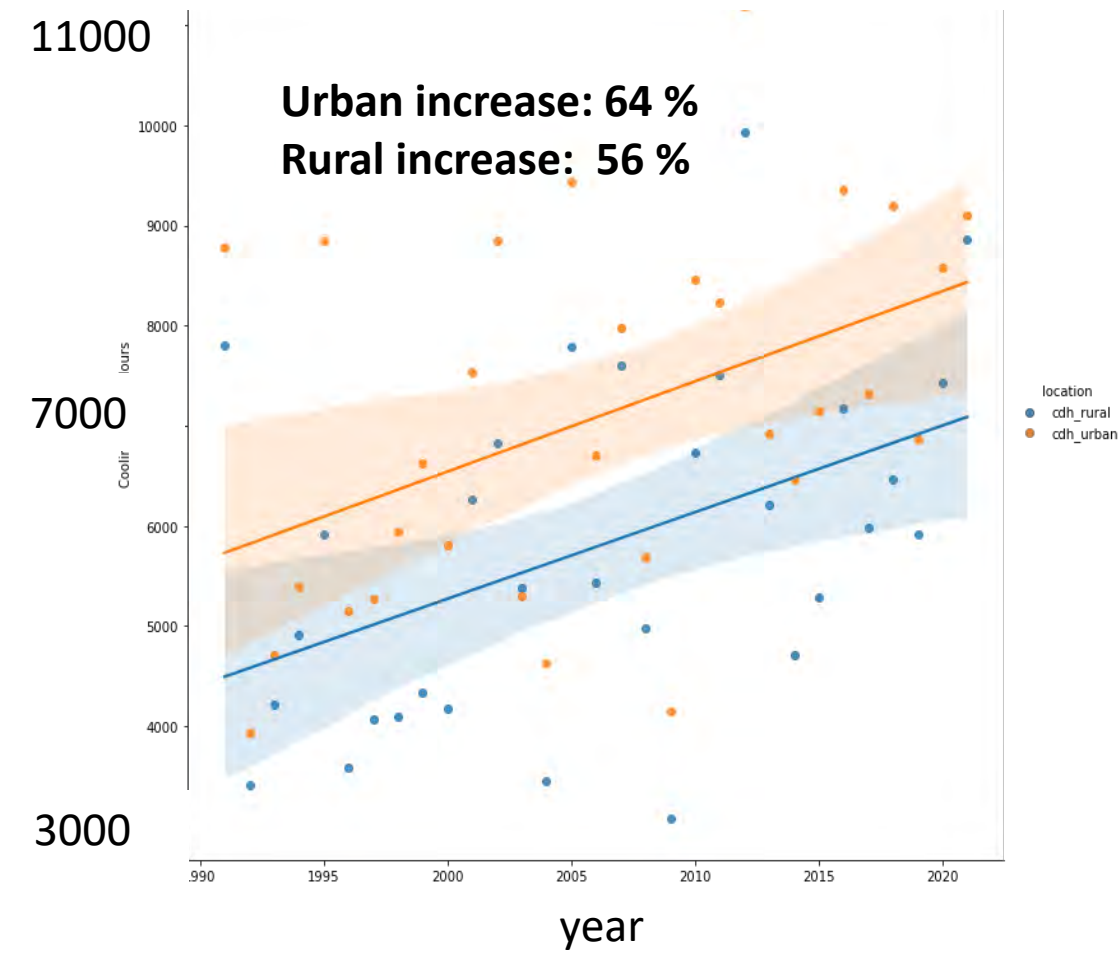
CDH varies between -25% to 40%

# Yearly cooling degree hours based on historical data 1991-2020

**Montreal**  
Cooling degree hours 1991-2011



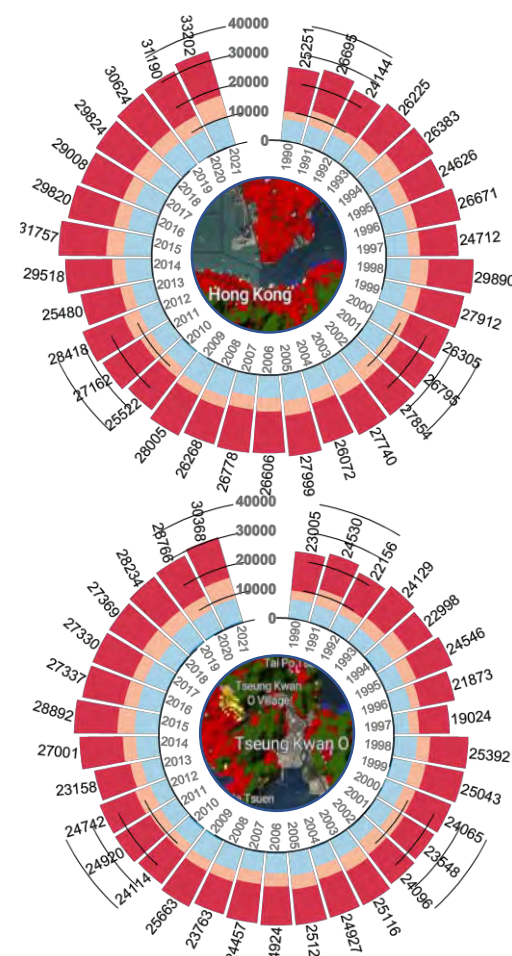
**Chicago**  
Cooling degree hours 1991-2011



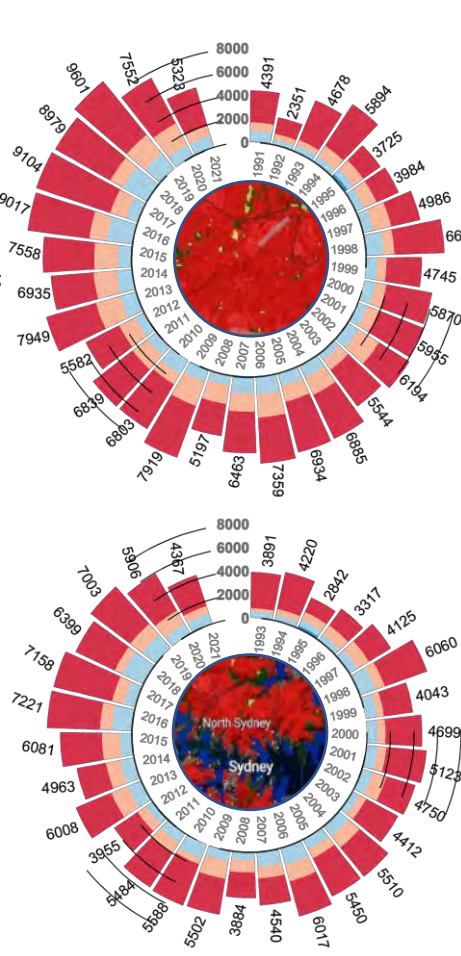
# Yearly cooling degree hours based on historical data 1991-2020

Urban Area CDH      Rural Area CDH

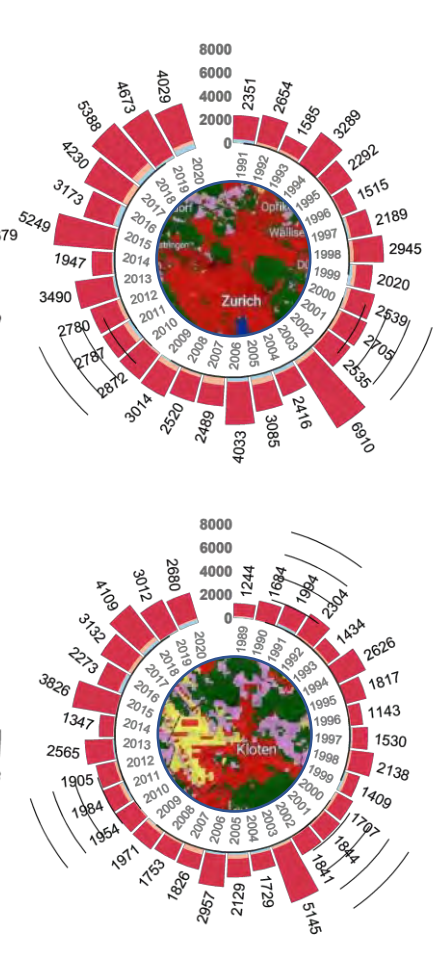
**Hong Kong**



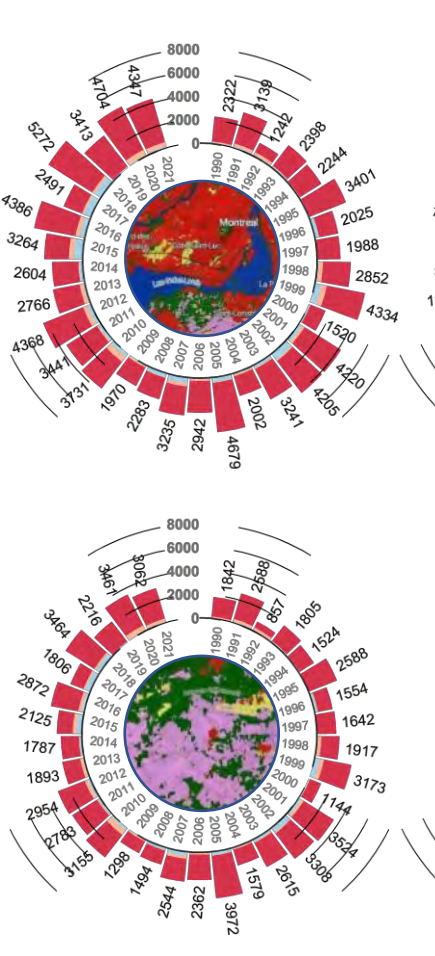
**Sydney**



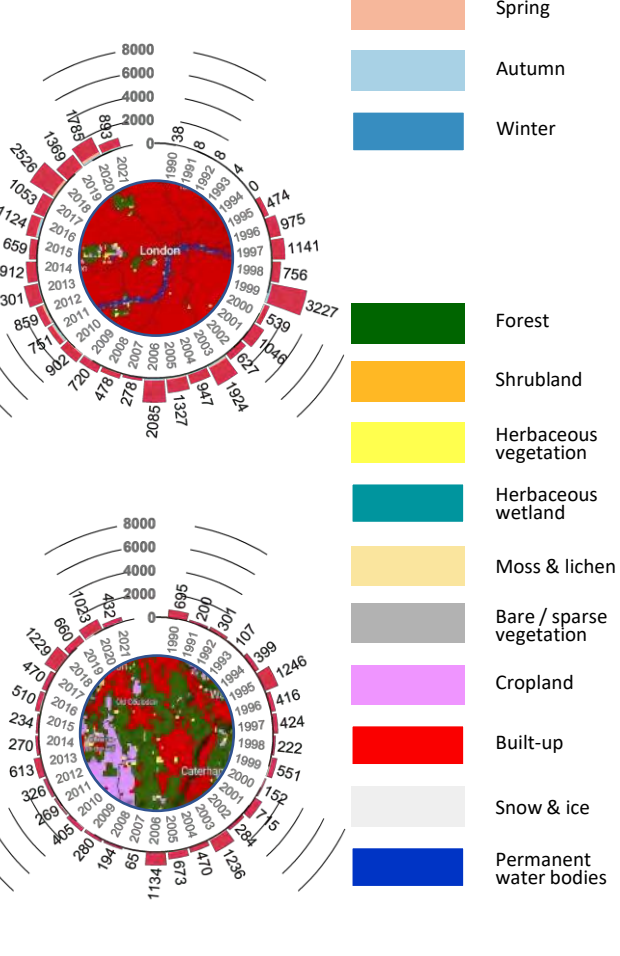
**Zurich**



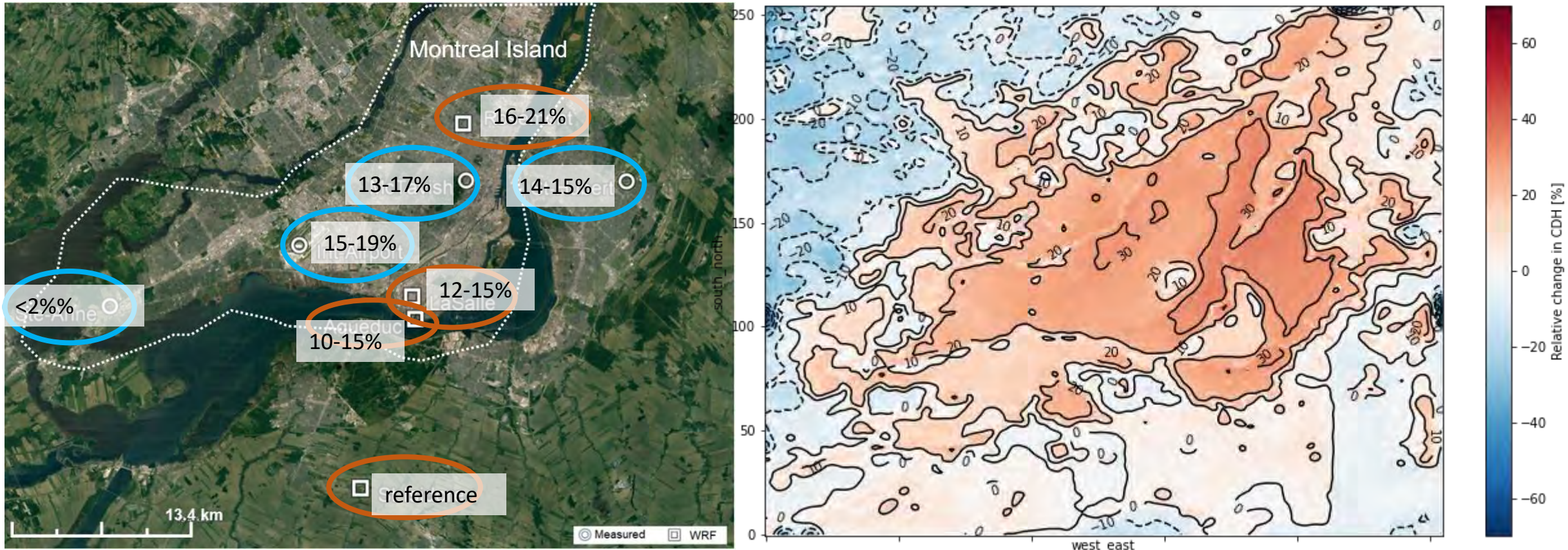
**Montreal**



**London**



# Increase of cooling energy demand relative to urban location in Montreal



- The reference climate file for Montreal underpredicts CED with 30 % (rural) and 50% compared to the real CED during summer of 2019
- The CED during heatwave days is almost 50% of the total CED in 2019

# Definition of heatwave

## Definitions vary relative to the ‘normal’ climate people experience

Table 4. HW definitions adopted in the reviewed literature.

Metric	Intensity	Duration (Days)	Location	Ref.
T <sub>max</sub>	32 °C	10	Taiwan Region	[55]
T <sub>max</sub>	32.2 °C	3	USA	[53,89,90,103,113]
T <sub>max</sub>	33 °C	2	South Korea	[118]
T <sub>max</sub>	33 °C	3	South Korea	[45]
T <sub>max</sub>	35 °C	3	China Mainland	[29,46,115]
T <sub>max</sub>	35 °C	10	Taiwan Region	[55]
T <sub>max</sub>	36.5 °C	3	Spain	[59]
T <sub>max</sub>	37 °C	3	Greece	[122,123]
T <sub>max</sub>	90th	3	Romania	[58]
T <sub>max</sub>	98th	3	Romania	[58]
T <sub>max</sub>	95th	3	Romania, Australia	[58,128]
T <sub>max</sub>	95th	4	Cyprus	[119]
T <sub>max</sub>	97.5th	5	USA	[96]
T <sub>max</sub>	97.5th and 81st	3	USA, China Mainland, Poland, UK	[28,34,104,105]
T <sub>max</sub>	T <sub>max</sub> + 5 °C <sup>1</sup>	3	UK	[129]
T <sub>max</sub>	T <sub>max</sub> + 5 °C <sup>1</sup>	5	Hungary	[117]
T <sub>mean</sub>	25 °C	3	Hungary	[117]
T <sub>mean</sub>	27 °C	3	Hungary	[117]
T <sub>mean</sub>	90th	3	Portugal	[30]
T <sub>max</sub> and T <sub>min</sub>	32 °C and 16 °C	2	France	[48]
T <sub>max</sub> and T <sub>min</sub>	30 °C and 18 °C	3	Belgium	[112]
T <sub>max</sub> and T <sub>min</sub>	30 °C and 20 °C	5	Hungary	[117]
T <sub>max</sub> and T <sub>min</sub>	90th	3	Australia	[124]
T <sub>max</sub> and T <sub>min</sub>	95th	3	India	[56]
T <sub>max</sub> and T <sub>mean</sub>	35 °C and 29 °C	3	Singapore	[25]
HI <sub>max</sub> <sup>2</sup>	65 °C	4	Cyprus	[119]

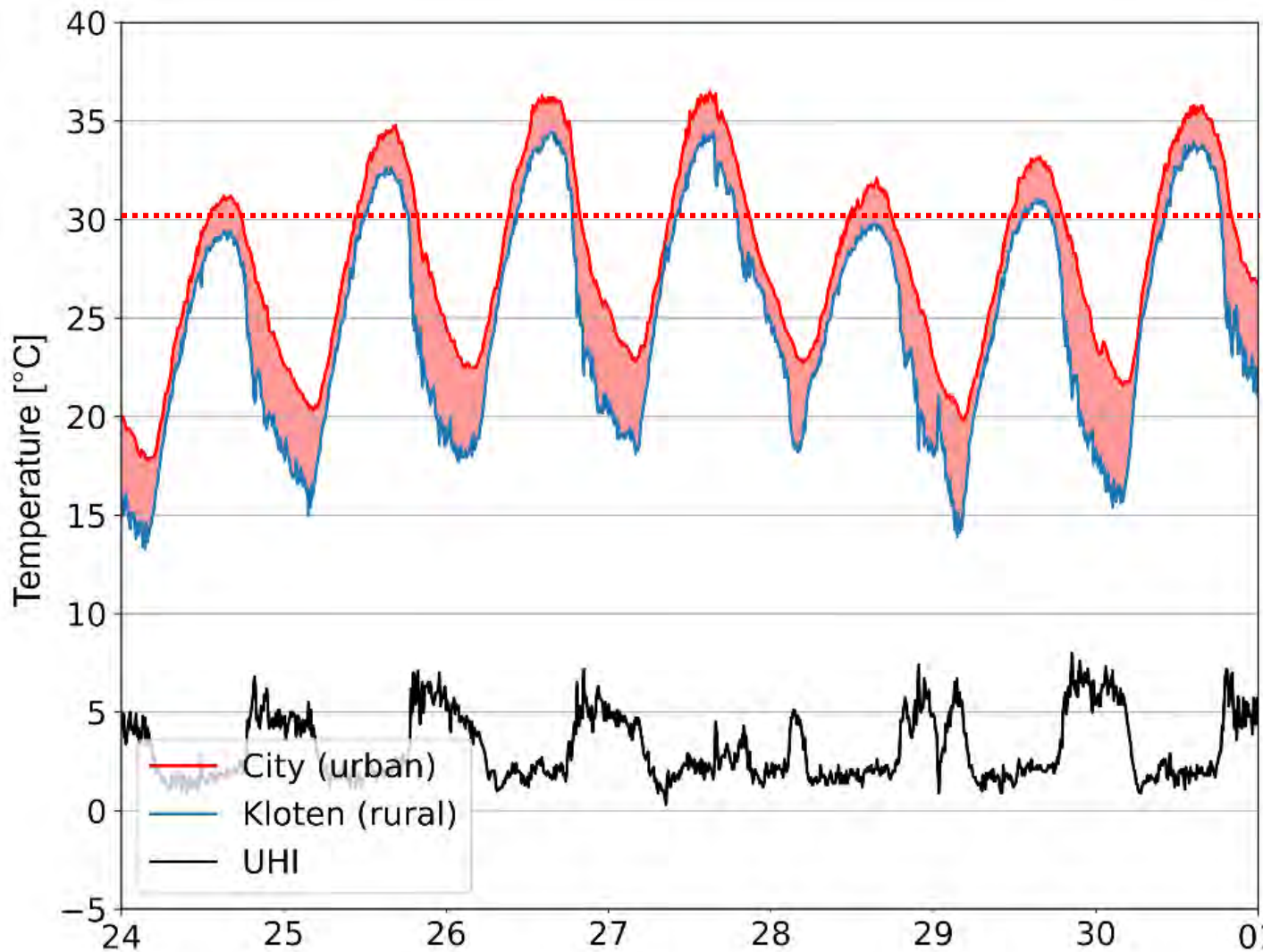
<sup>1</sup> T<sub>max</sub> + 5 °C means the exceedance of the average daily maximum temperature by 5 °C. <sup>2</sup> HI = -42.379 + 2.04901523T + 10.14333127RH - 0.22475541T × RH - 6.83783 × 10<sup>-3</sup>T<sup>2</sup> 5.481717 × 10<sup>-2</sup>RH<sup>2</sup> + 1.22874 × 10<sup>-3</sup>T<sup>2</sup>RH + 8.5282 × 10<sup>-4</sup>T × RH<sup>2</sup> - 0.199 × 10<sup>-6</sup>T<sup>2</sup>RH<sup>2</sup>. (RH is relative humidity, T is air temperature in Fahrenheit).

## Differences in

- **Metric:** T<sub>max</sub>, T<sub>min</sub>, HI<sub>max</sub>
- **Intensity:** 30 – 37°C, percentile
- **Duration:** 3-10 days

Jing Kong, Yongling Zhao, Jan Carmeliet and Chengwang Lei, Urban Heat Island and Its Interaction with Heatwaves: A Review of Studies on Mesoscale, Sustainability, vol. 13: no. 19, pp. 10923, 2021

# Example of heat wave Zurich 2019



minimum three consecutive days  
temperature higher than 30°C

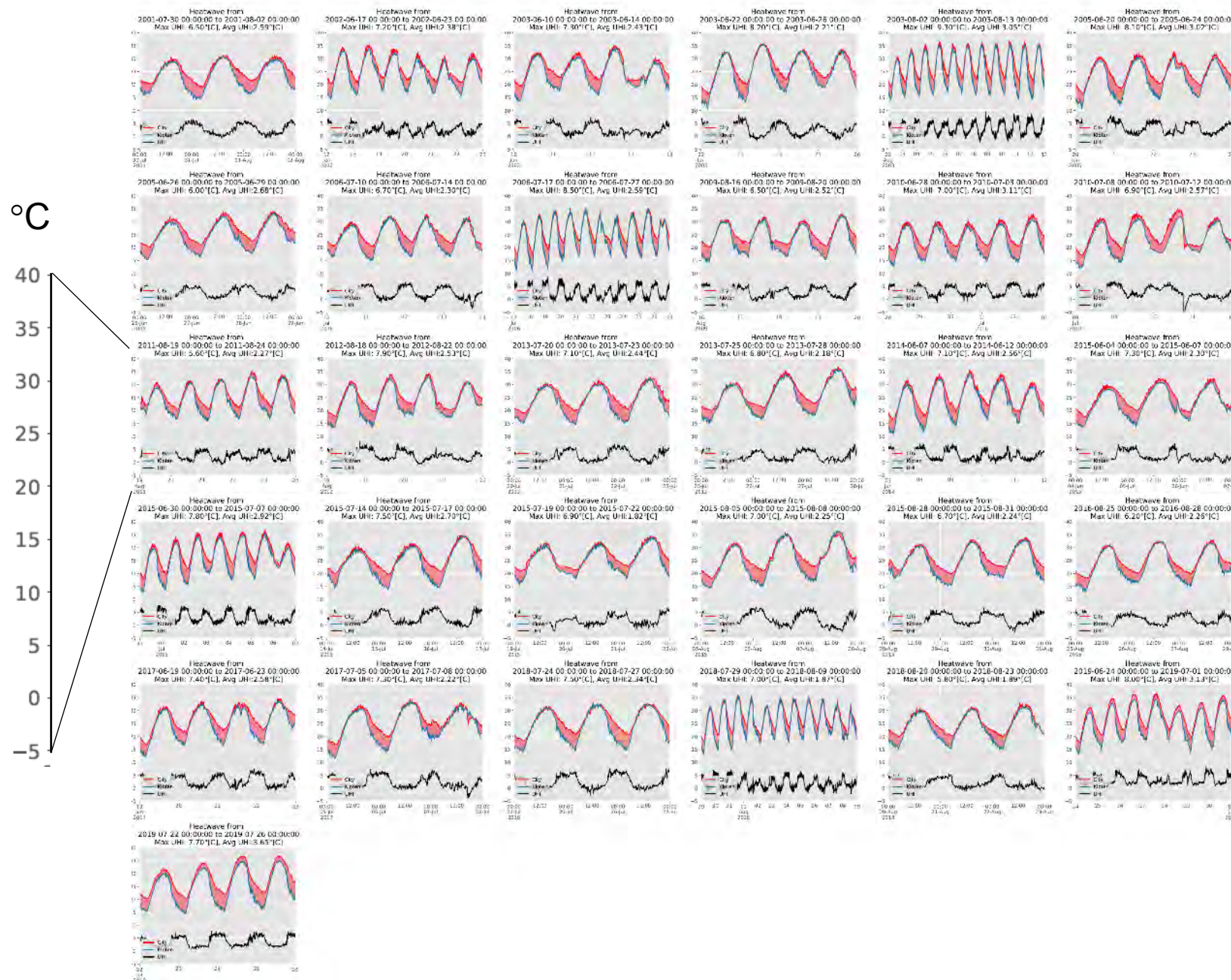
City (urban)

Air temperature at 2 m

Kloten (rural)

Urban heat island intensity  
*Urban air temperature – rural air  
temperature*

# Heatwaves in a changing climate



Zurich  
more than 30 heat waves  
in the period 2001 – 2020

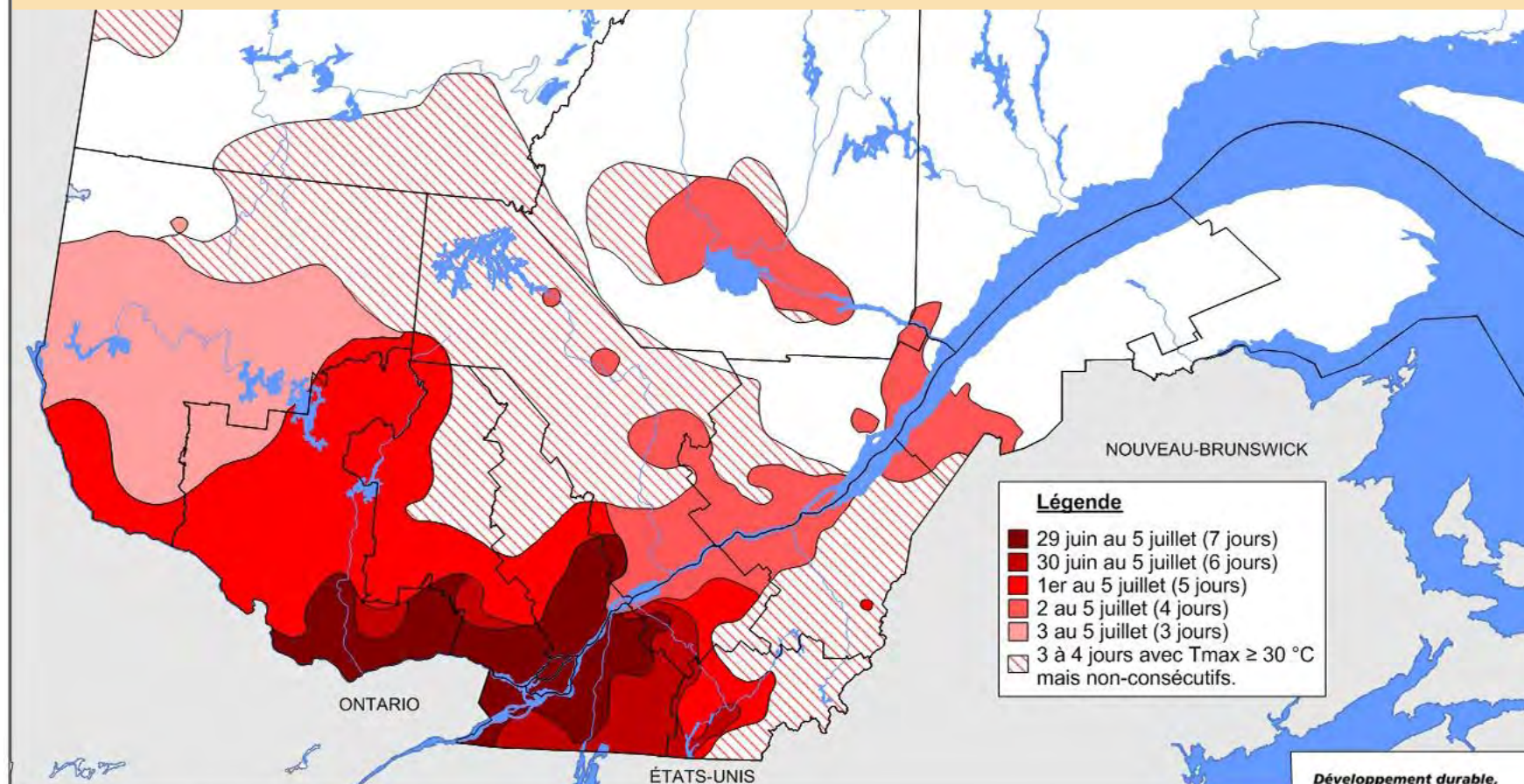
# Montréal Canicule 29 juin au 5 juillet 2018, étendue et durée

Pour la période du 30 juin au 7 juillet, la Direction régionale de santé publique de Montréal a identifié 53 décès comme étant probablement liés à la chaleur.

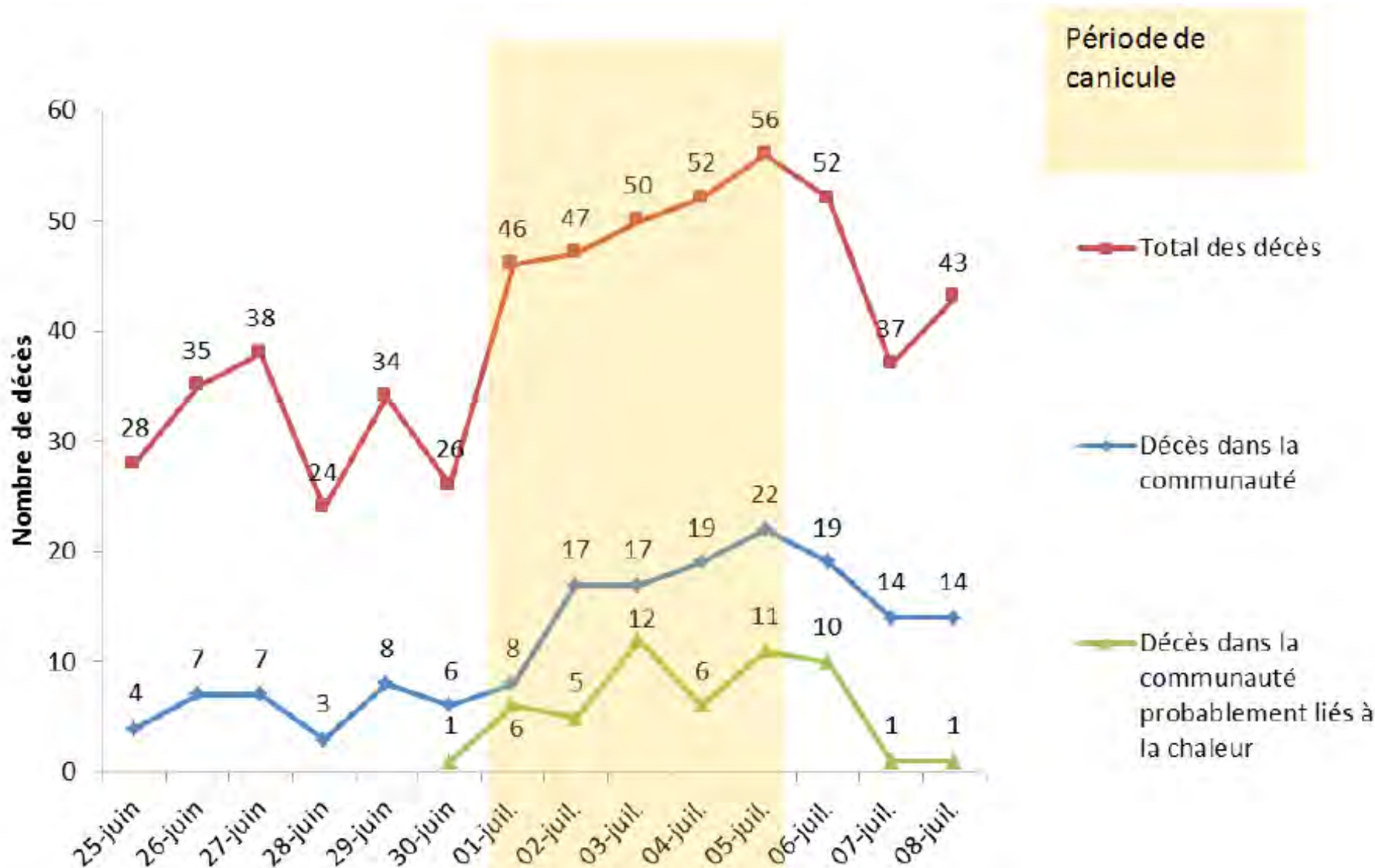
<https://santemontreal.qc.ca/population/actualites/nouvelle/canicule-de-juillet-2018-a-montreal-publication-du-bilan-preliminaire/>

La canicule a été particulièrement éprouvante à Montréal et en Montérégie, où sont survenus la grande majorité des 70 décès attribuables à la chaleur.

<http://www.environnement.gouv.qc.ca/climat/Faits-saillants/2018/canicule.htm>



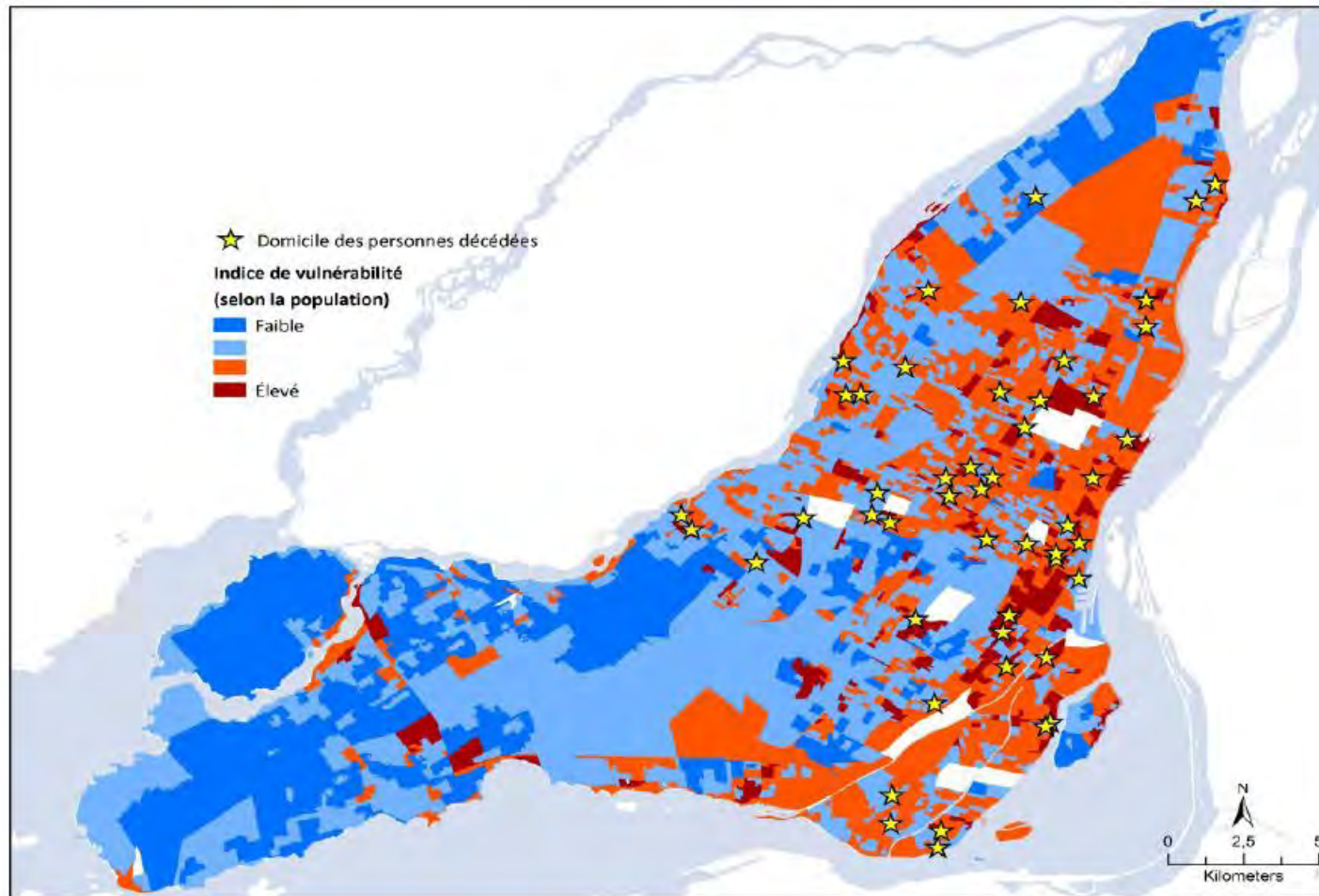
# Montréal Canicule 29 juin au 5 juillet 2018, nombre de décès



Sources : Données de la vigie sanitaire (décès totaux & décès dans la communauté), consultées le 19 juillet à 16h. Les données de décès probablement liés à la chaleur ont été répertoriées par la DRSP (2018) à la suite de signalements de médecins d'Urgences-santé.

# Montréal Canicule 29 juin au 5 juillet 2018

## INDICE DE VULNÉRABILITÉ À LA CHALEUR ET LOCALISATION DES DÉCÈS LIÉS À LA CHALEUR, ÎLE DE MONTRÉAL, JUILLET 2018



Sources : La climatisation des ménages et la vulnérabilité à la chaleur extrême à Montréal (DRSP, 2017) ; signalements de décès probablement liés à la chaleur répertoriés par la DRSP

# Modeling the urban environment

due to climate change and its effect on the urban climate  
i.e. frequency and magnitude of heat waves  
on the urban heat island effect  
showing higher temperatures in cities, mainly at night

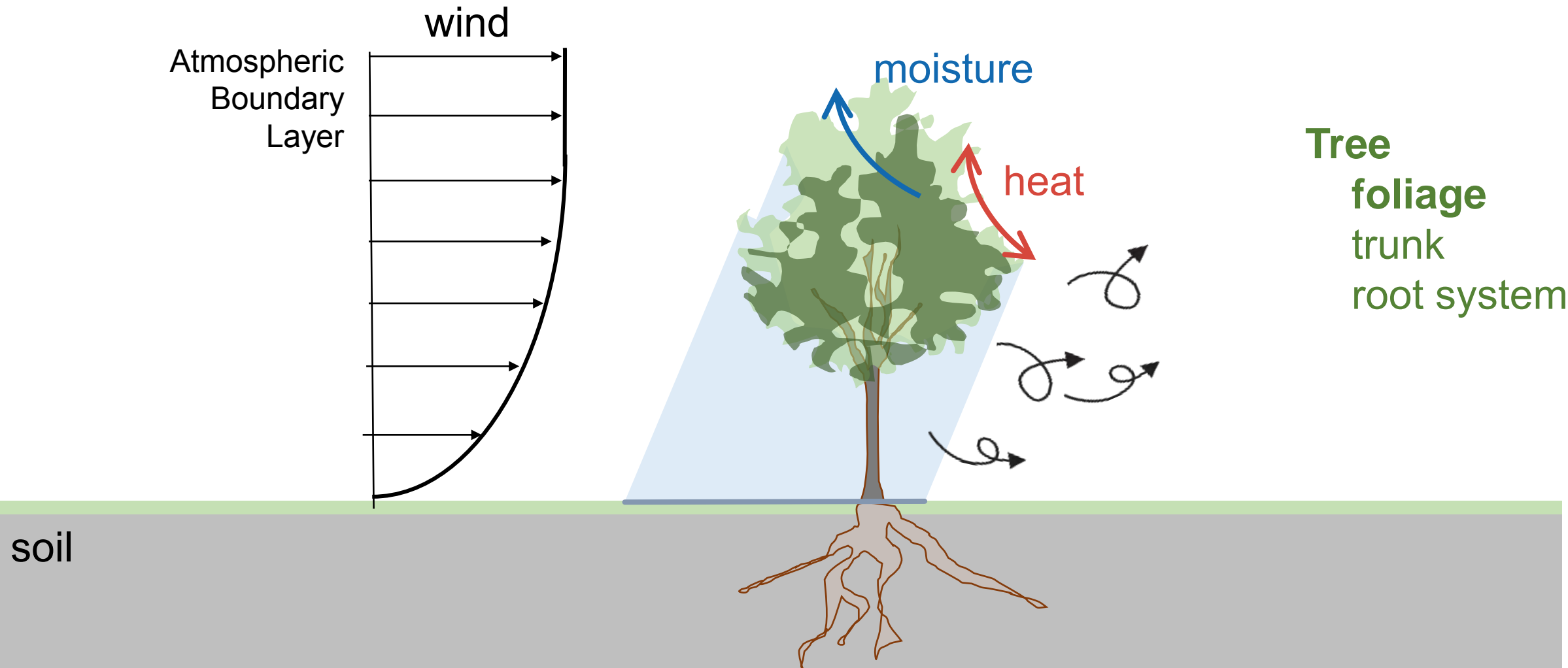
## Models:

mesoscale meteorological models  
three-step down-nesting to get a 250 m resolution  
use as boundary conditions for explicitly defined urban scale

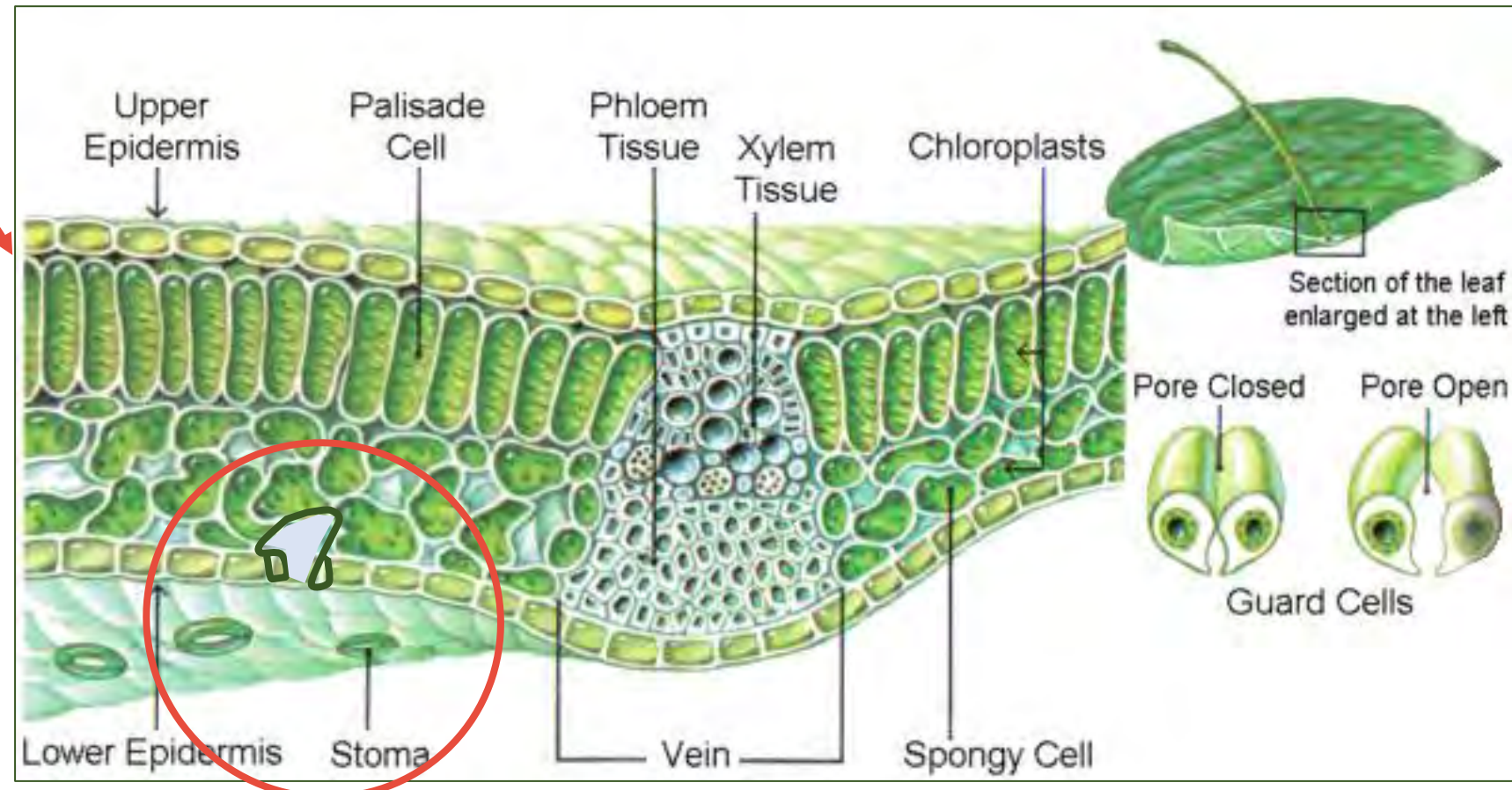
microscale urban climate model  
considering air, radiation, solid materials, vegetation

towards local mitigation scenarios

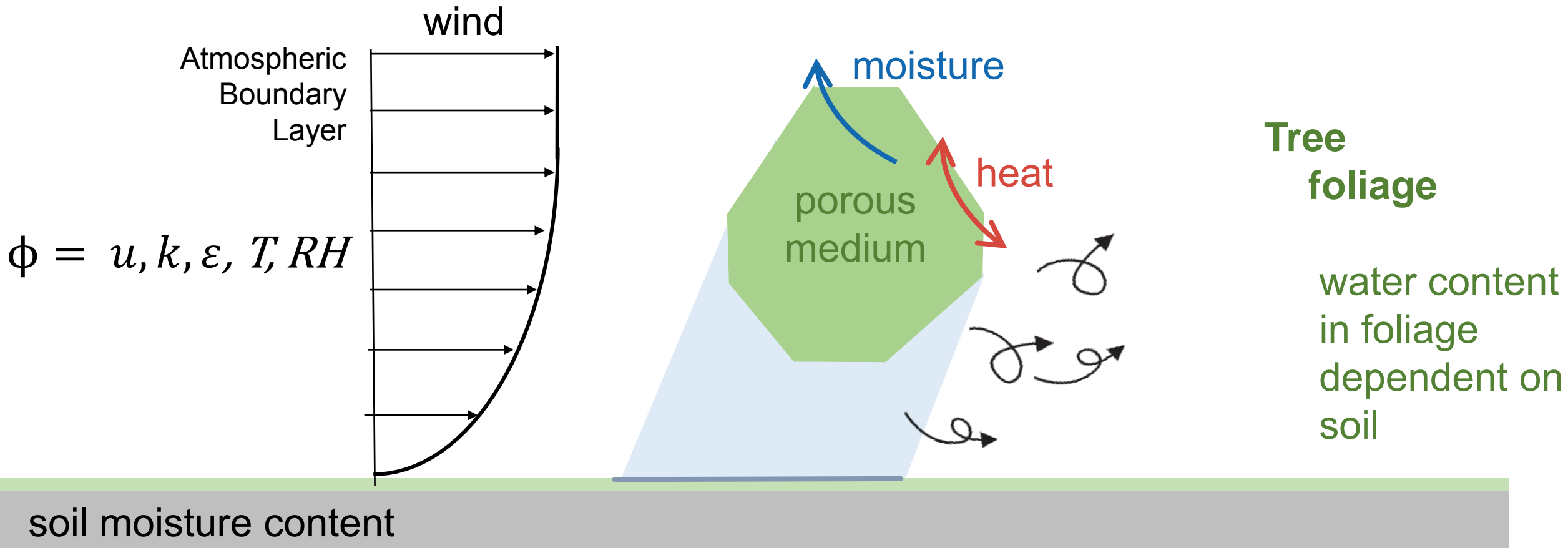
# Vegetation model



# Vegetation model: leaf model



# Vegetation model



**Navier Stokes equations**

$$\frac{\partial \phi}{\partial t} + \bar{u} \cdot \nabla \phi = \Gamma \nabla^2 \phi + S_\phi \quad + S_{veg}$$

source/sink

- Steady-state
- Boussinesq approx.
- Realizable  $k - \varepsilon$

# Vegetation model

radiation

Radiation absorbed by leafs

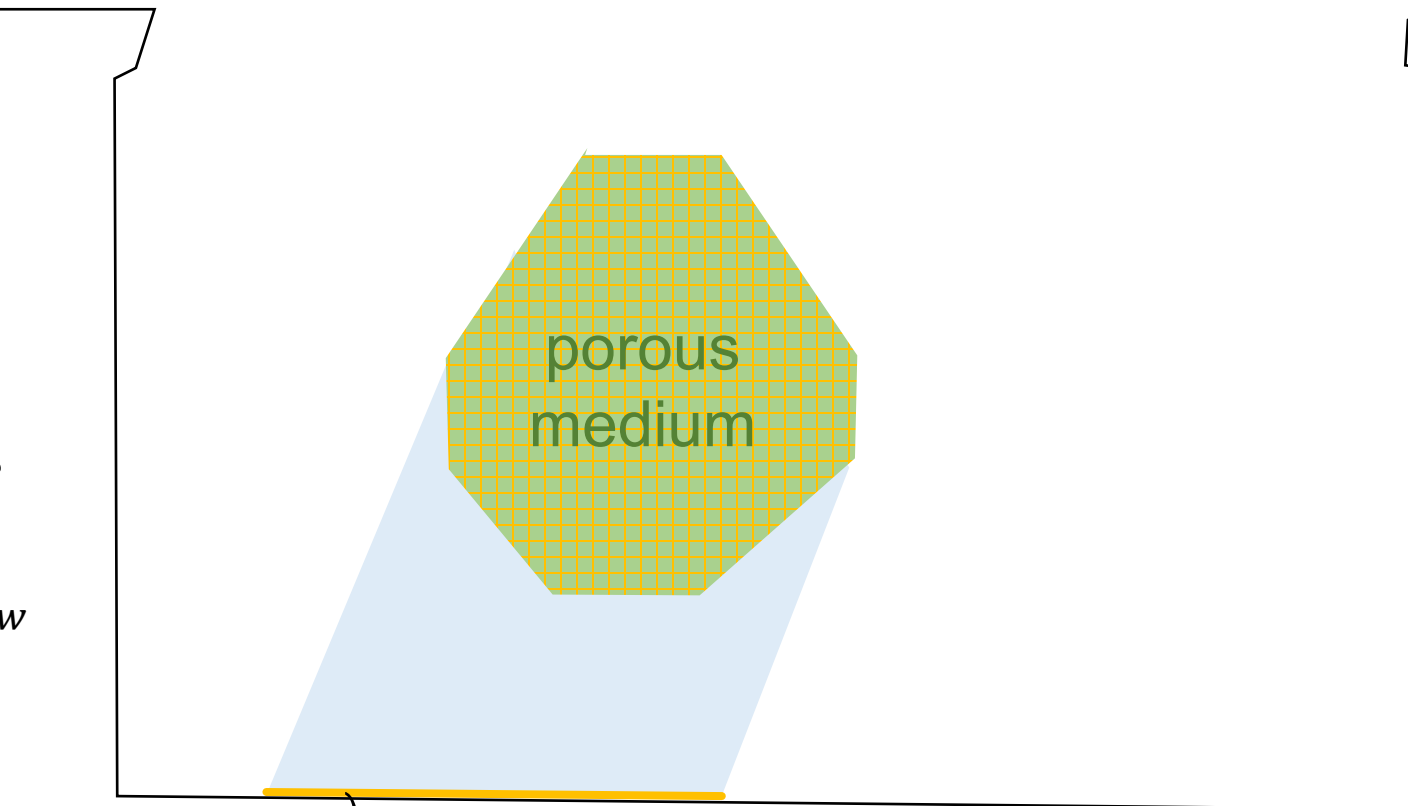
Short-wave radiative flux  $q_{r,sw}$

- Ray-tracing
- **Beer-Lambert law**

$$q_{r,sw}(z) = q_{r,sw,0} \exp \left\{ -\beta \int_0^z LAI(z) dz \right\}$$

Tree foliage

*LAI*: Leaf area index



Radiation absorbed passed  
the tree, if any

# Vegetation model



radiation

Radiation absorbed by leafs

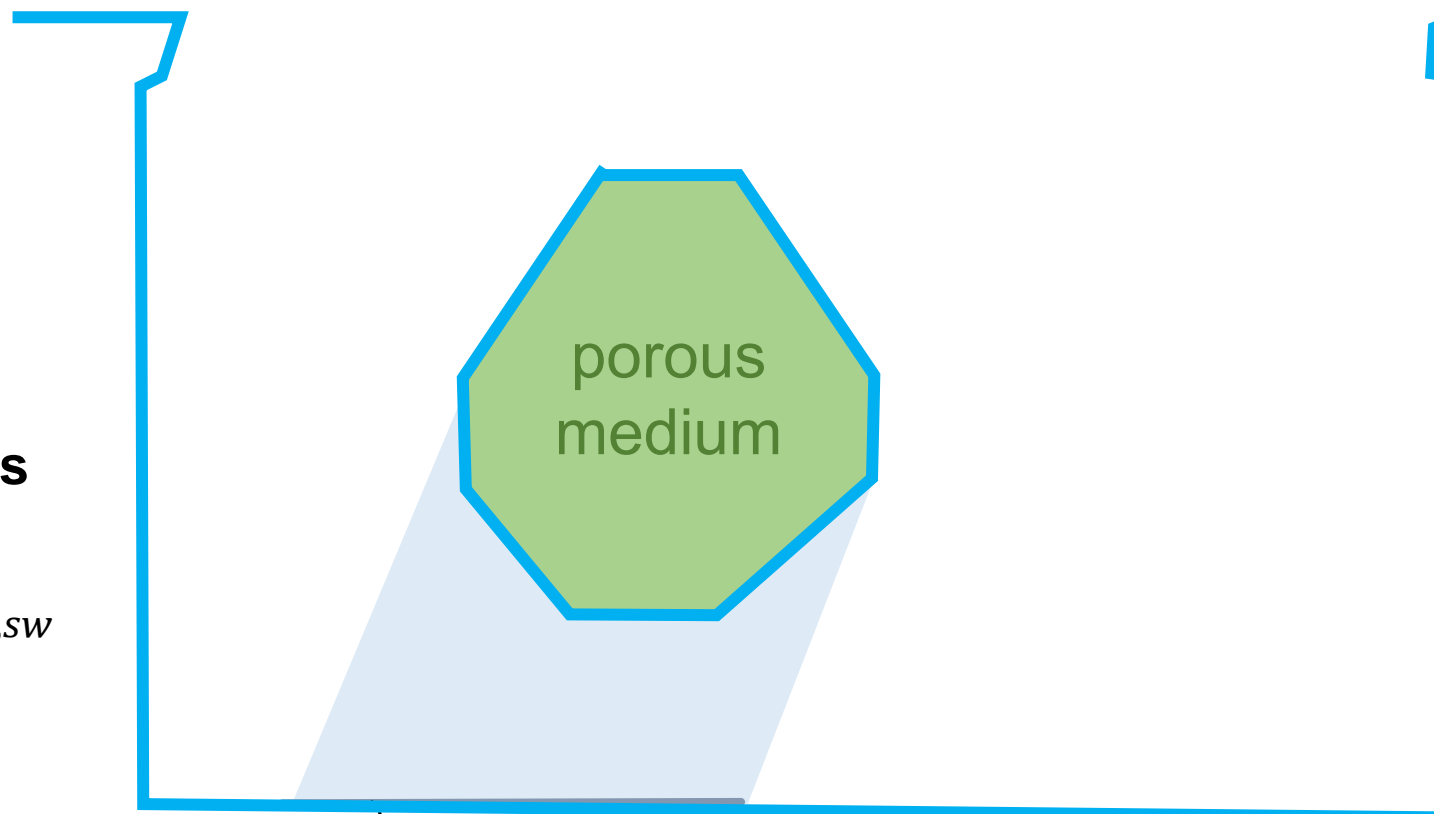
Short-wave radiative flux  $q_{r,sw}$

- Ray-tracing
- **Beer-Lambert law**

$$q_{r,sw}(z) = q_{r,sw,0} \exp \left\{ -\beta \int_0^z LAI(z) dz \right\}$$

Tree foliage

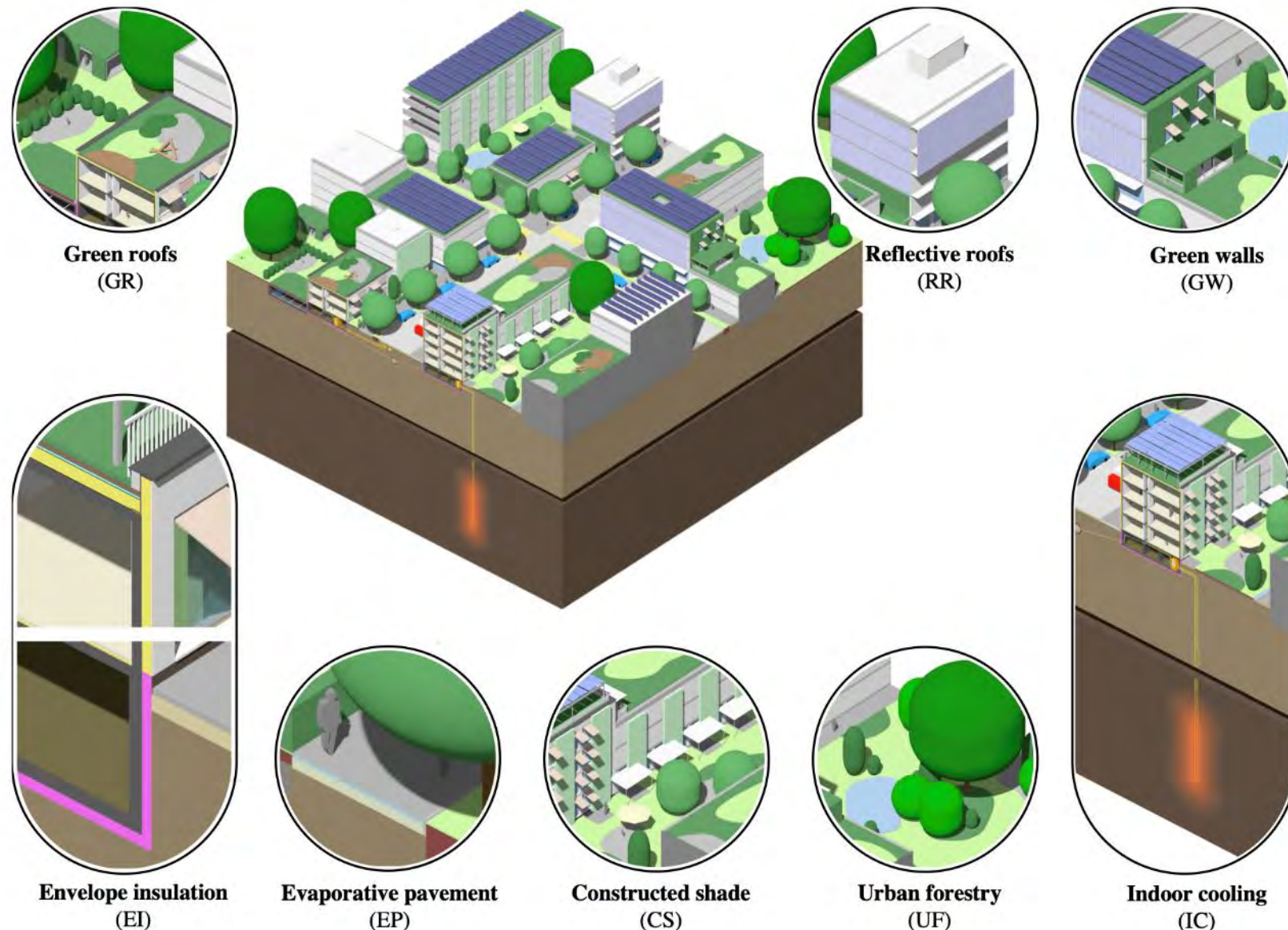
*LAI*: Leaf area index



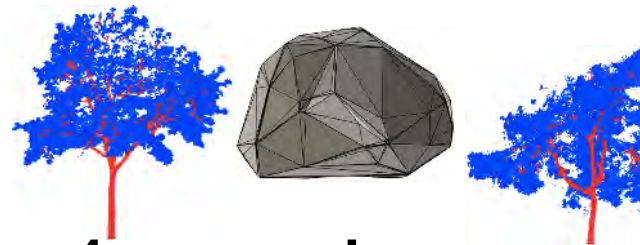
Long-wave radiative flux  $q_{r,lw}$

- Ray-tracing
- **View-factor model**

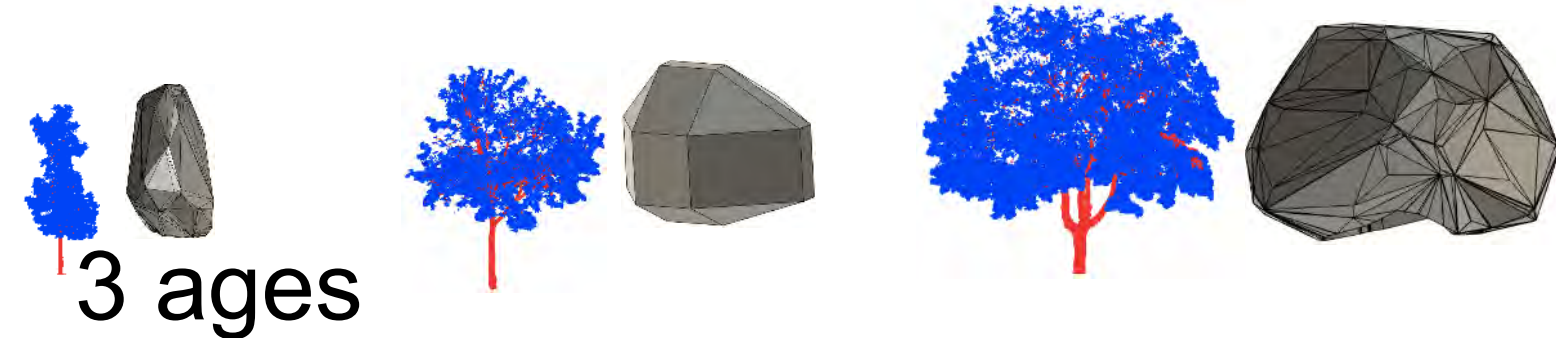
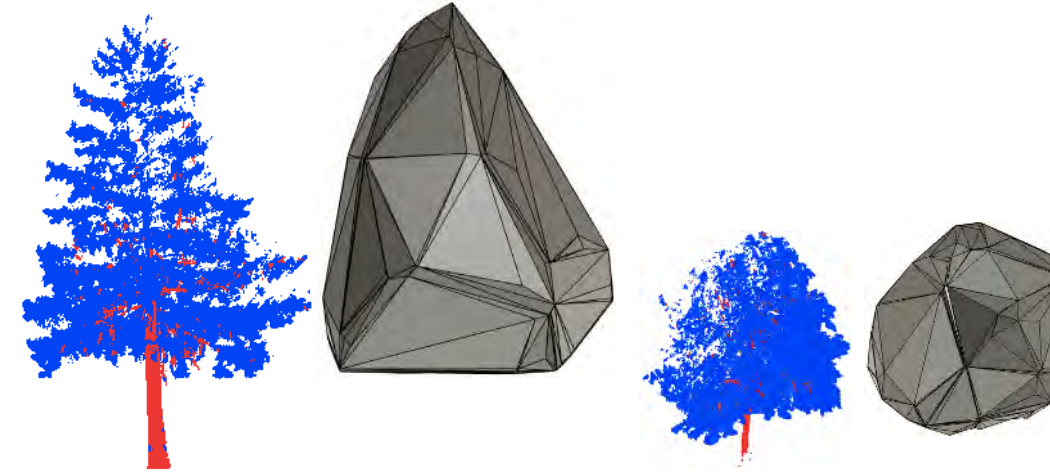
# Mitigation measures for heatwaves at the microscale



# Tree configurations

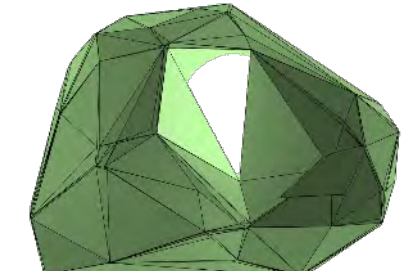
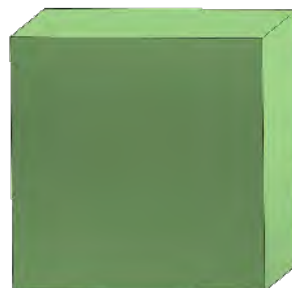


4 species

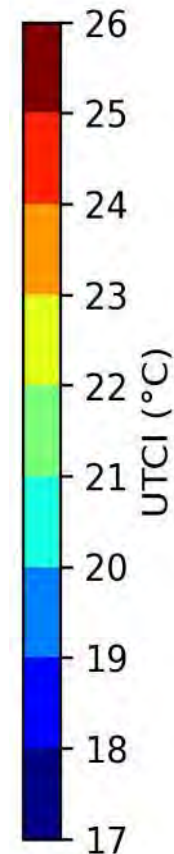
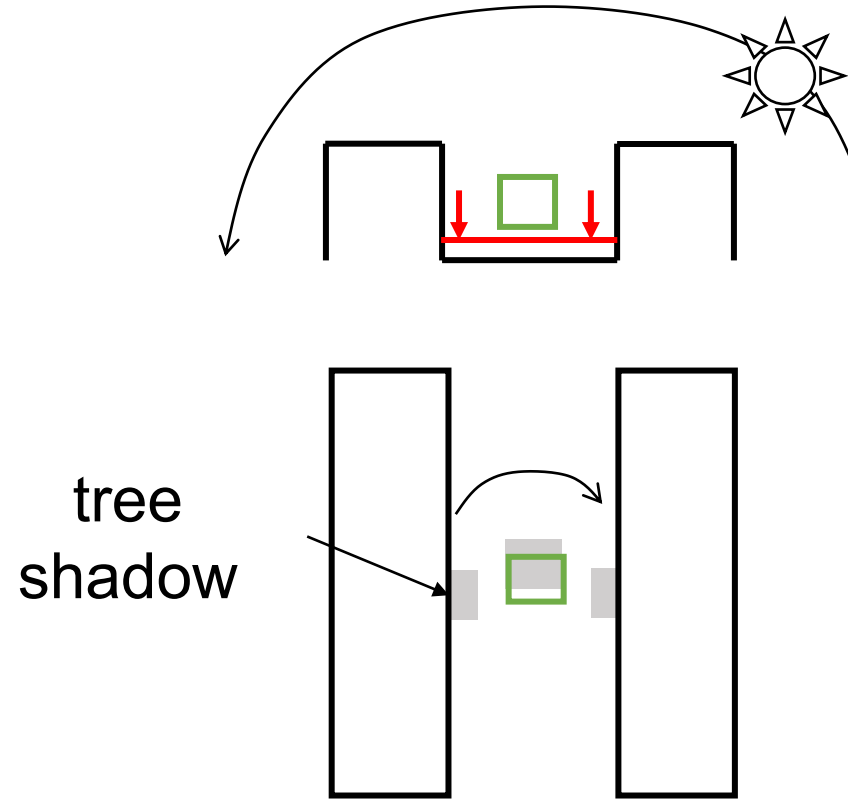
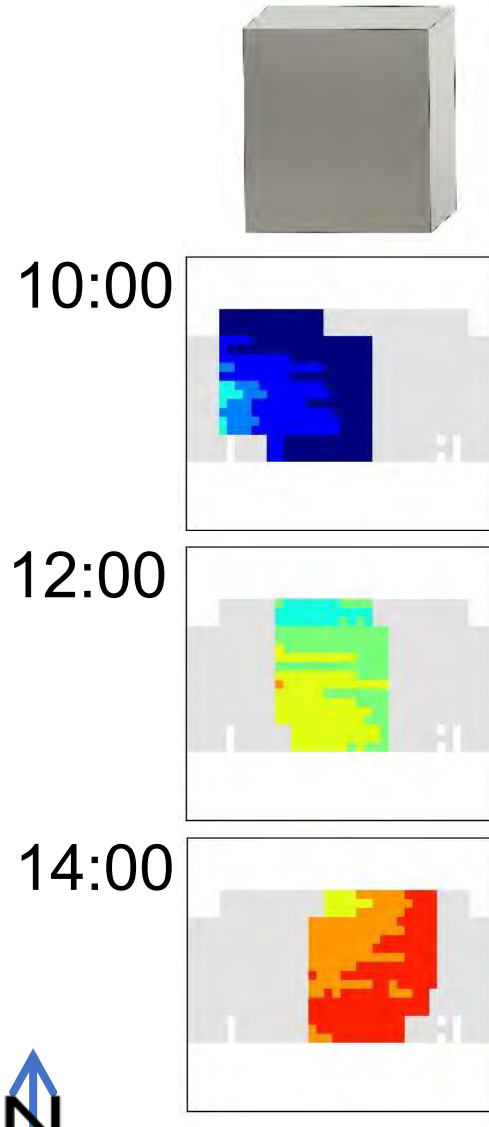


3 ages

simplified

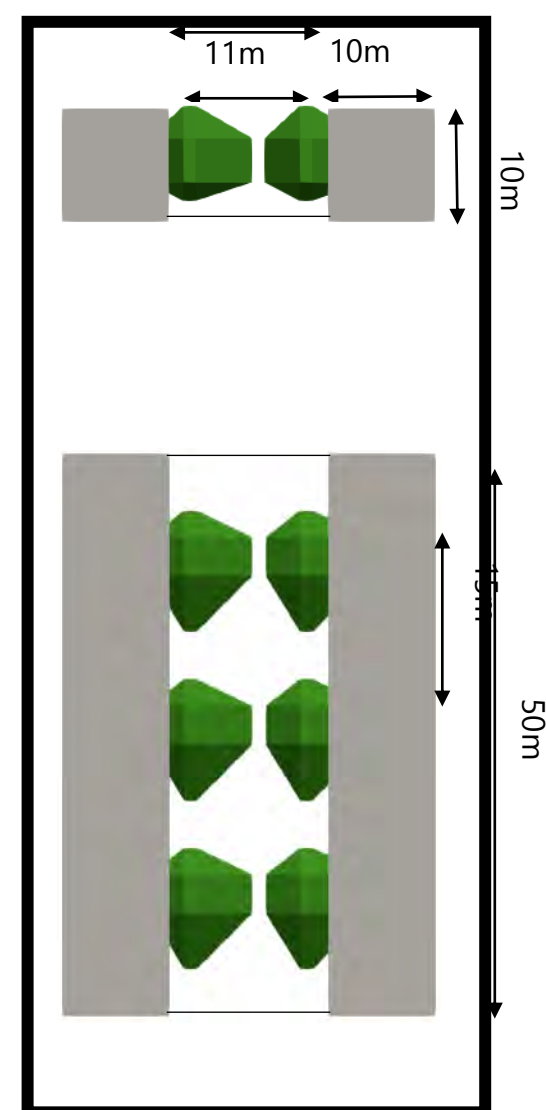
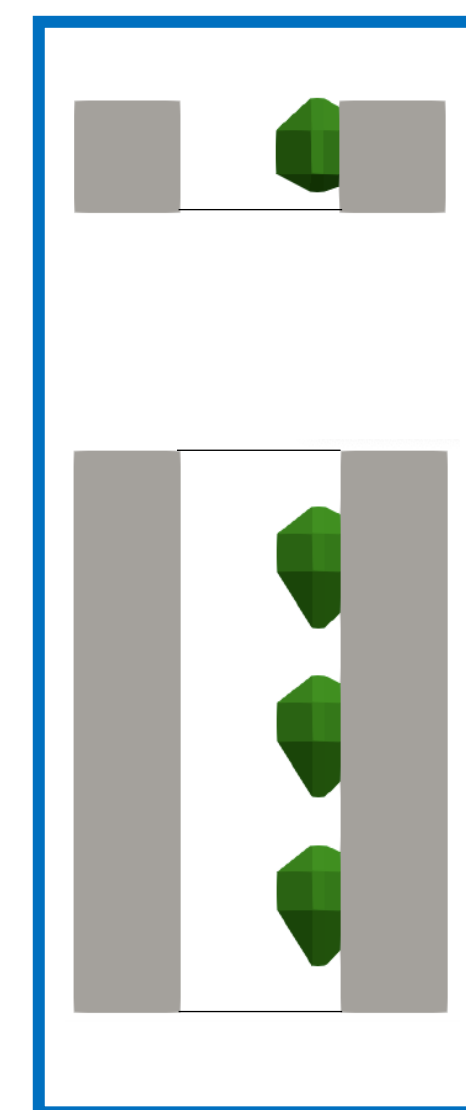
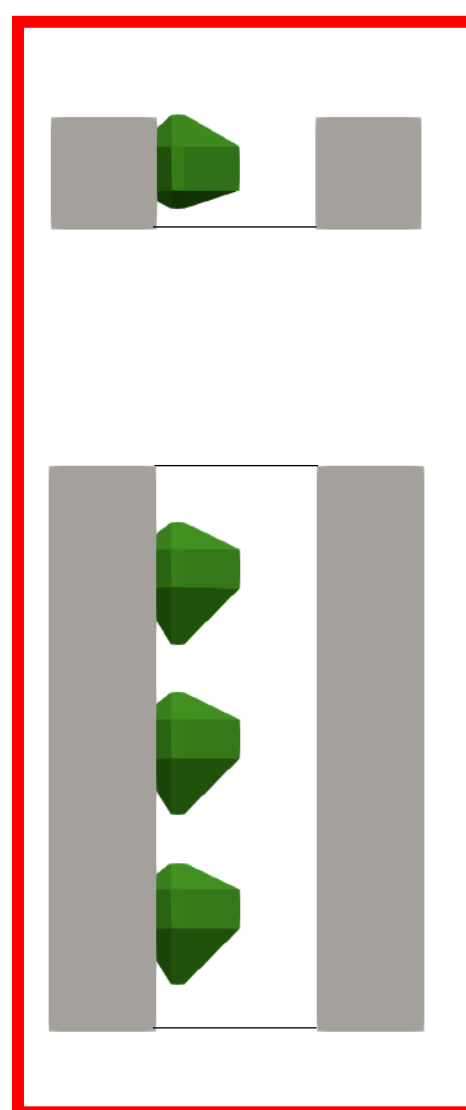
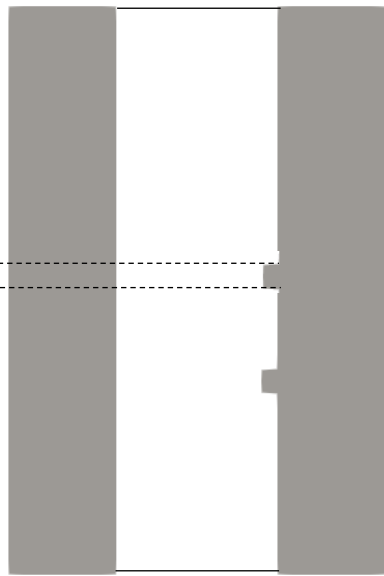
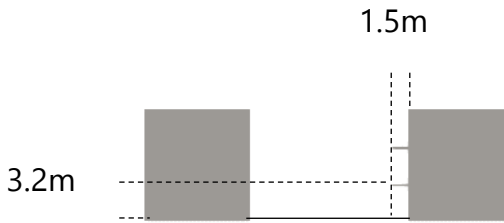


# Thermal comfort in shadow of cubic foliage

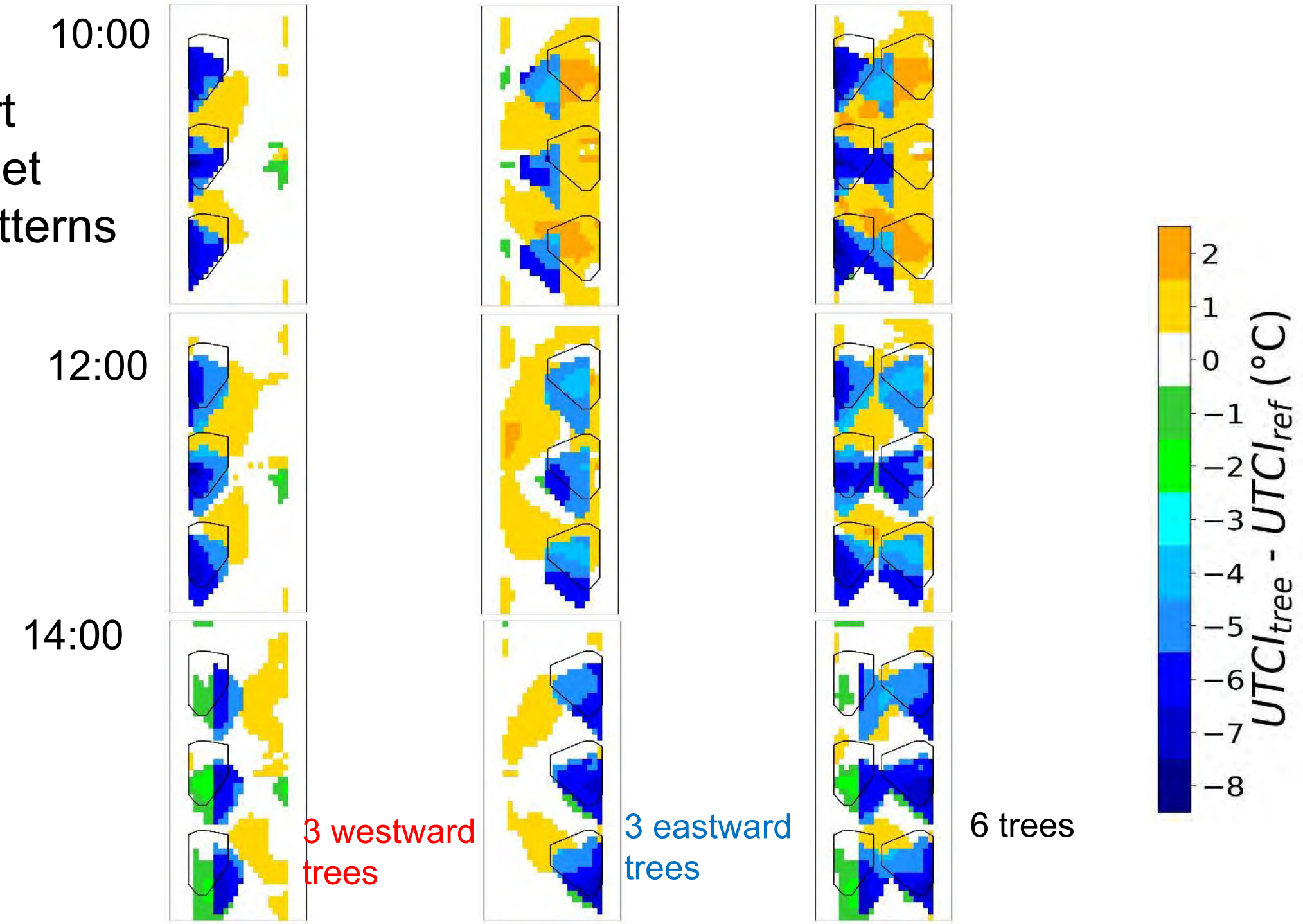


# Tree planting patterns

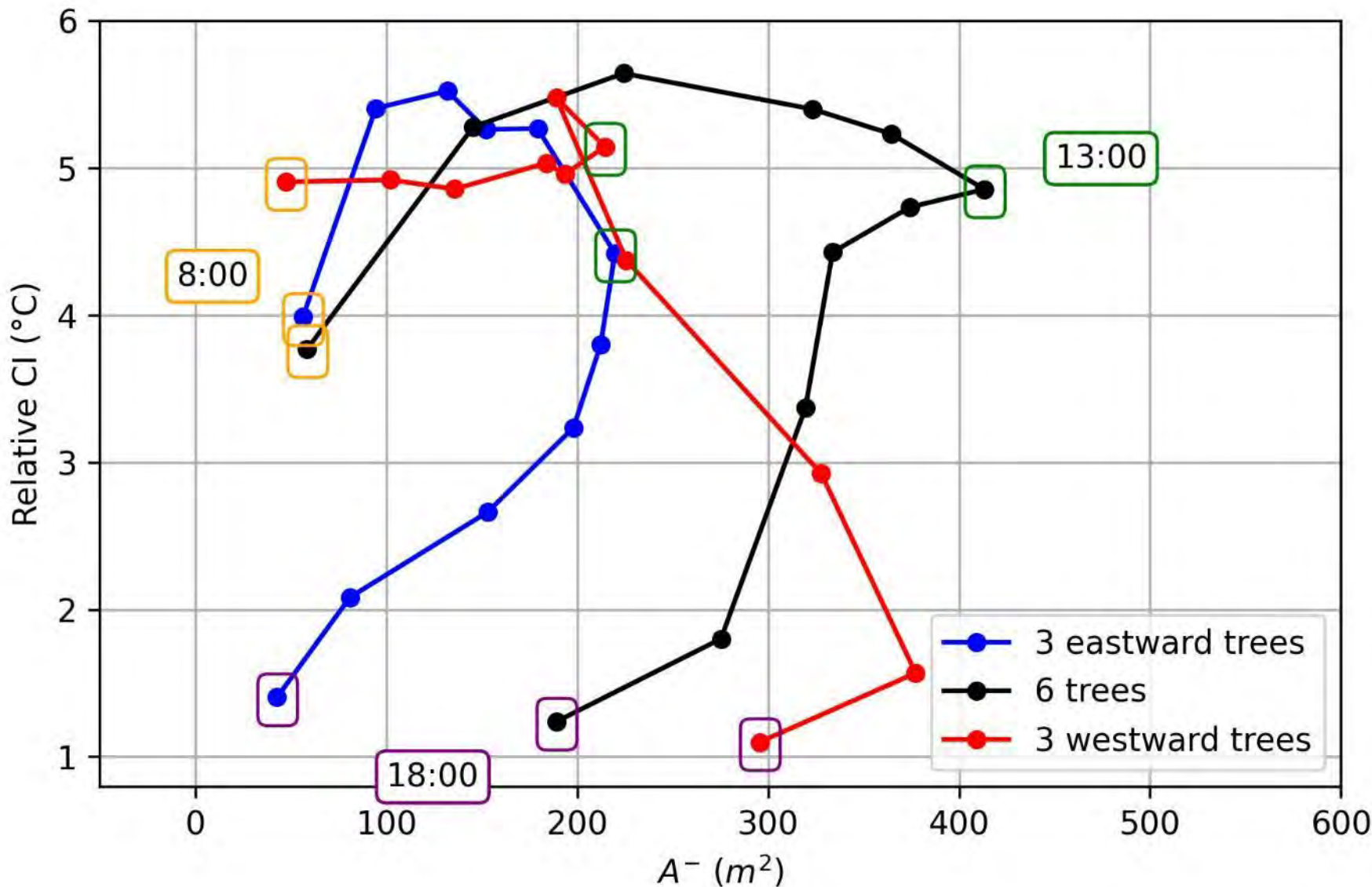
side views



# Thermal comfort for different street tree planting patterns



# Cooling impact for different tree planting patterns



# Roles of trees in a neighborhood of Montreal

## Inspiration



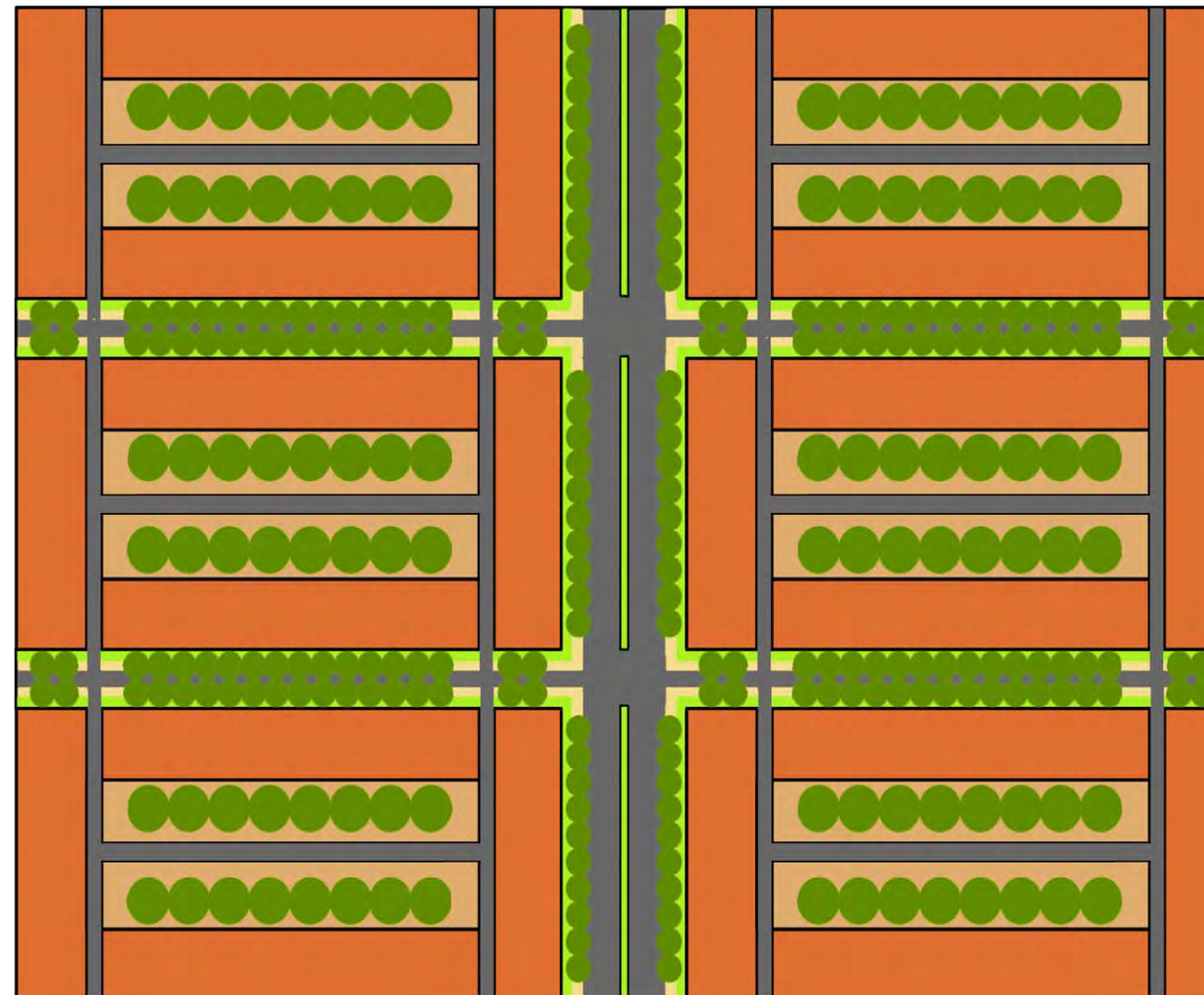
# Roles of trees in a neighborhood of Montreal

6 blocks

1 boulevard

4 cross streets

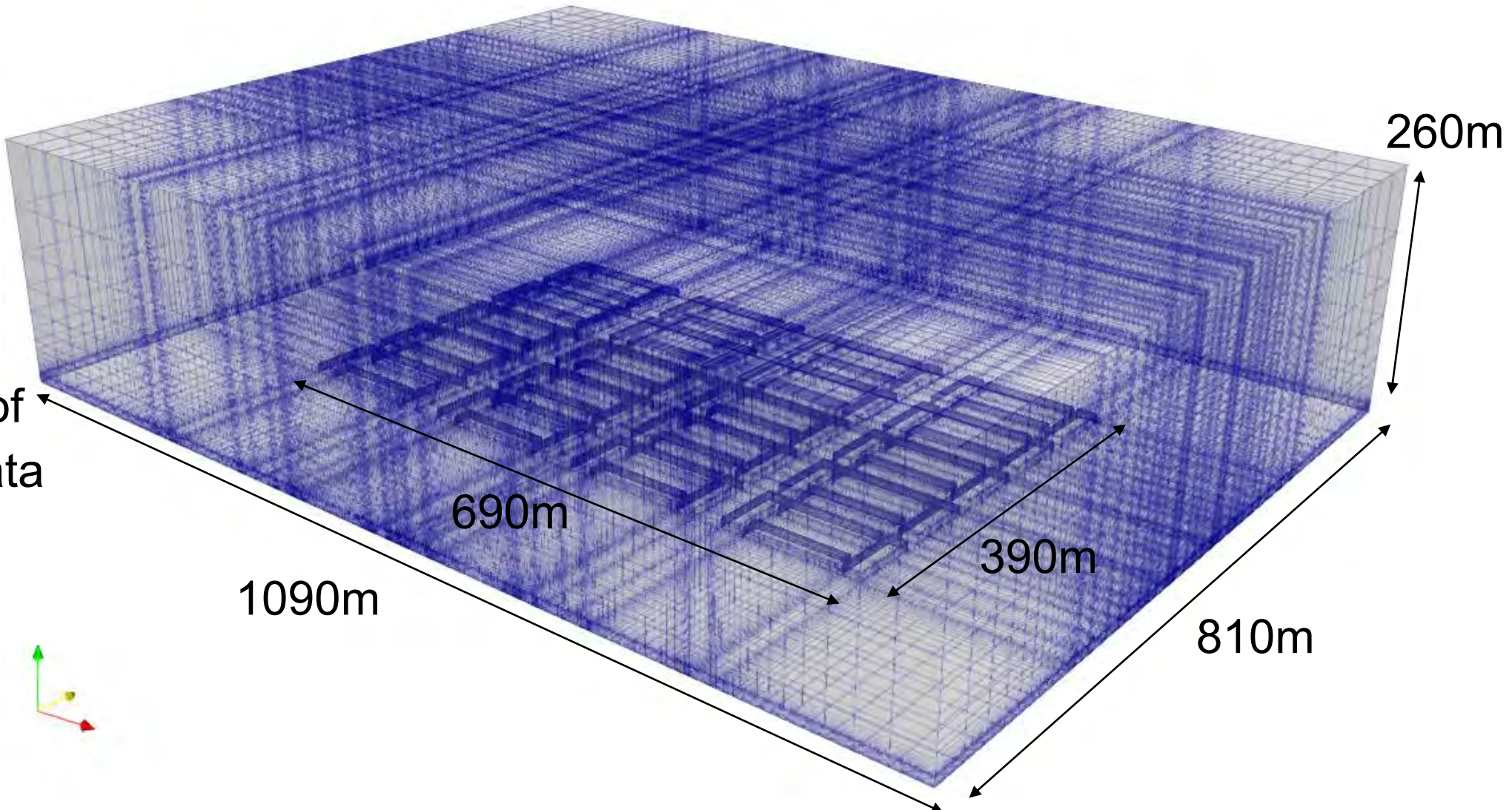
6 courtyards



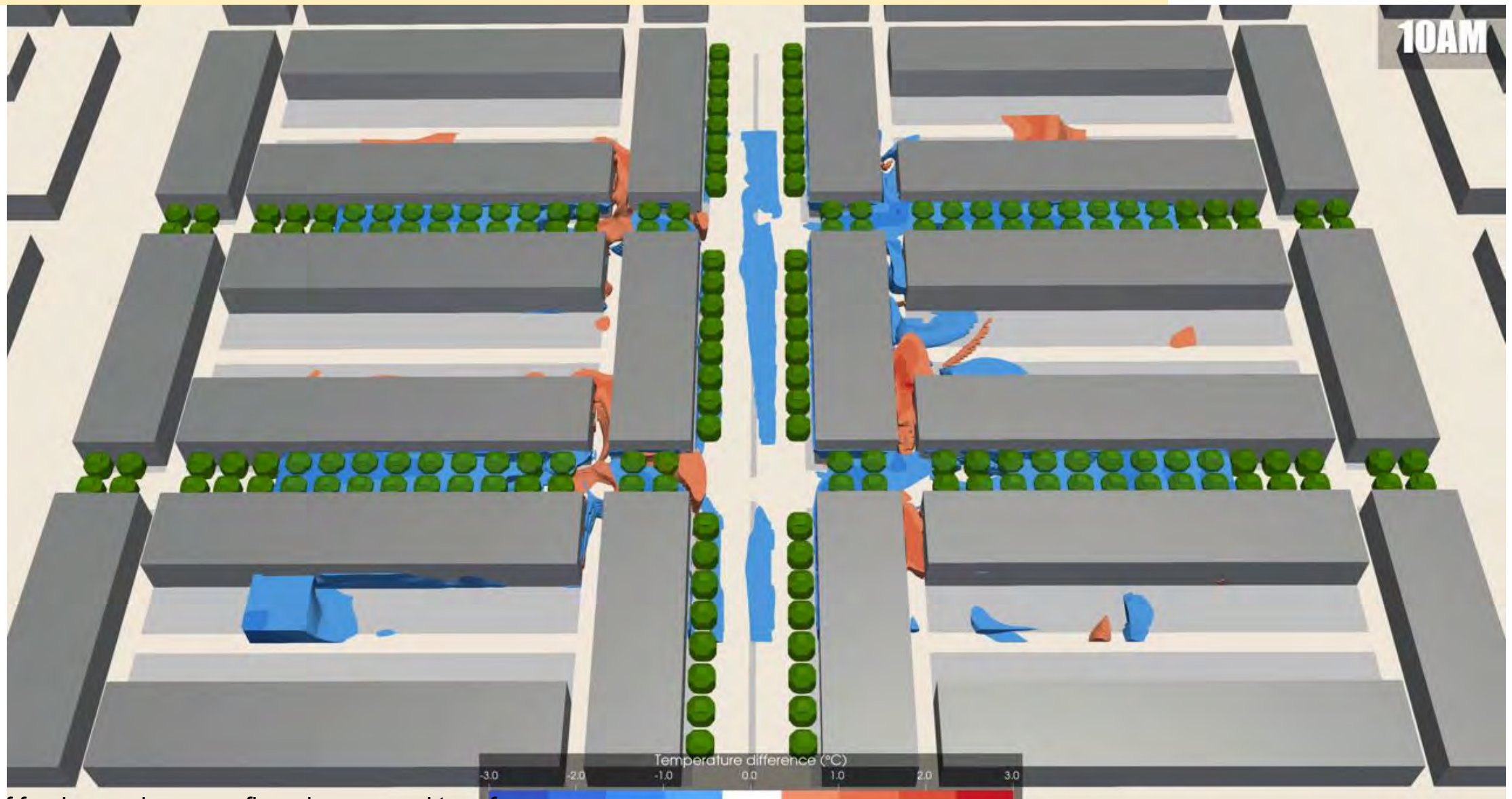
# Computational domain and inputs

Boundaries :

Vertical and horizontal interpolation of mesoscale data for velocity, temperature, humidity



# Trees in all streets – temperature difference



Visualization of fresher and warmer fluxes compared to reference

Temperature increase on boulevard mainly due to ventilation reduction

Pattern appears over the period

Effect of trees not only for planted zones

## 4c Trees in court yards – temperature difference



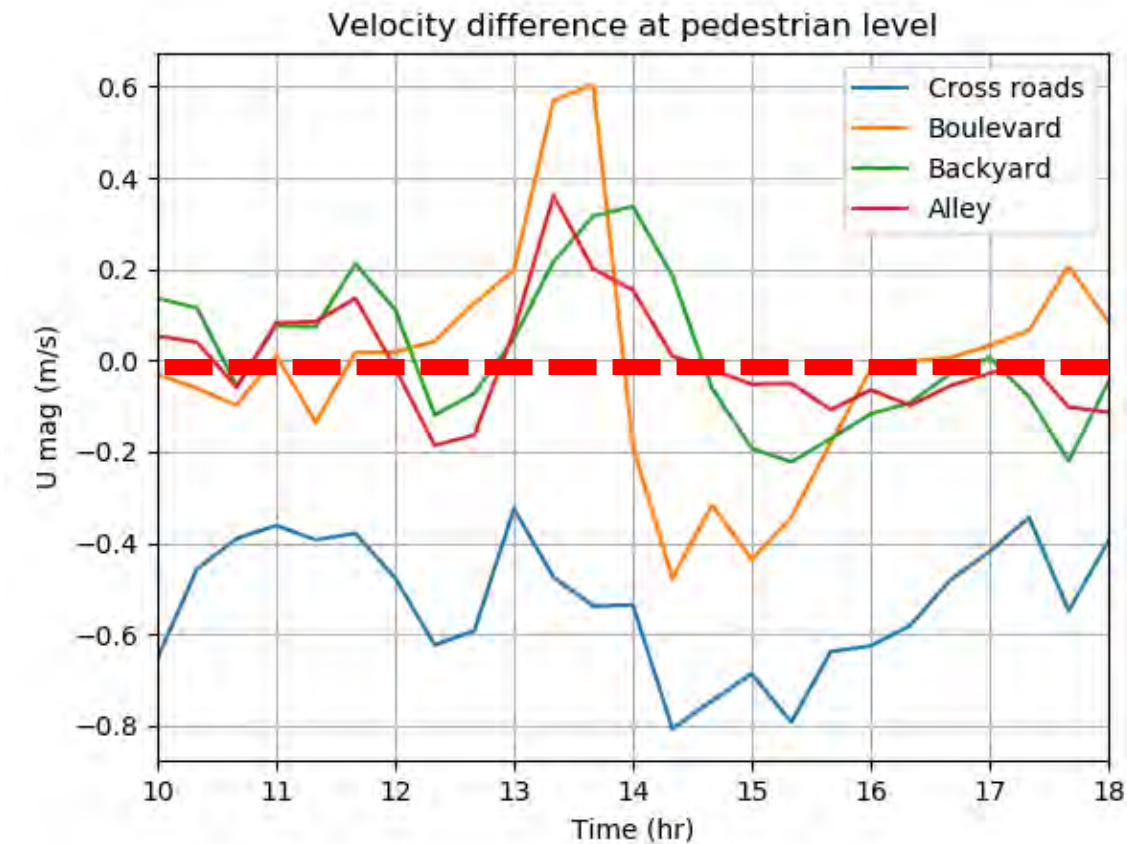
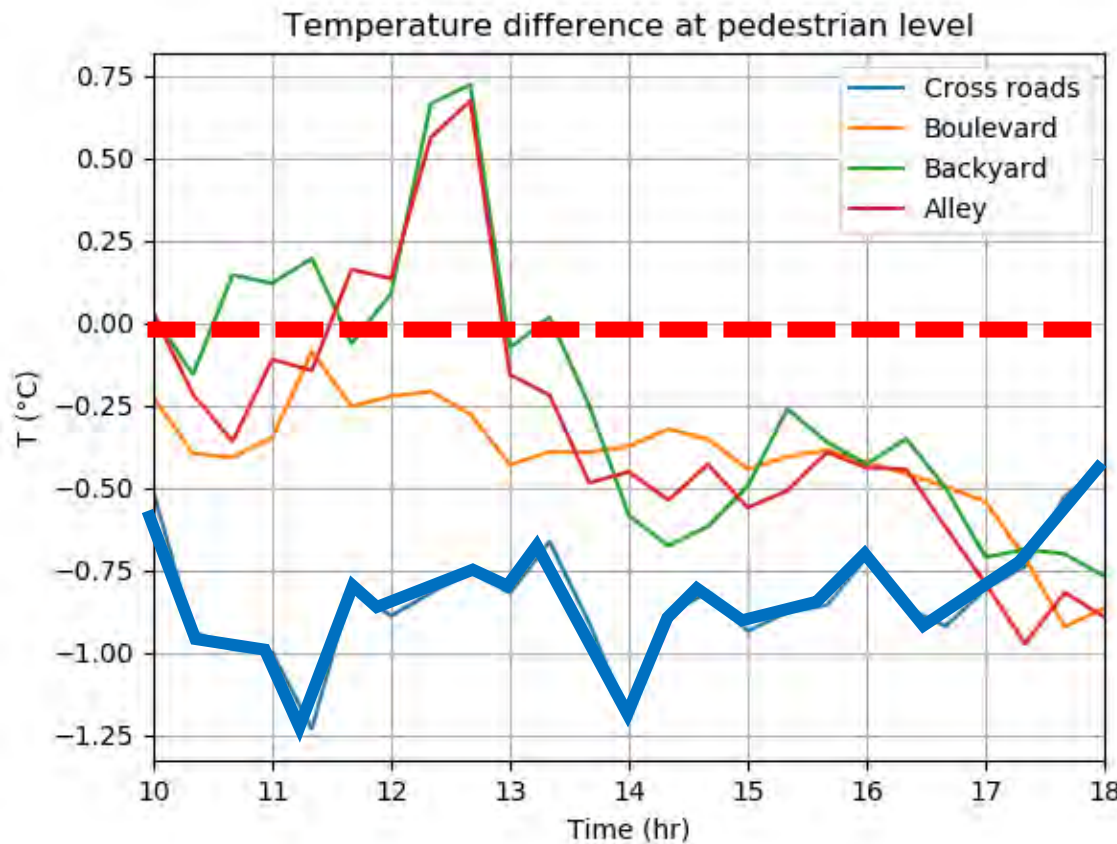
Enhancement is mainly by day

Court yard trees allow heat reduction in streets

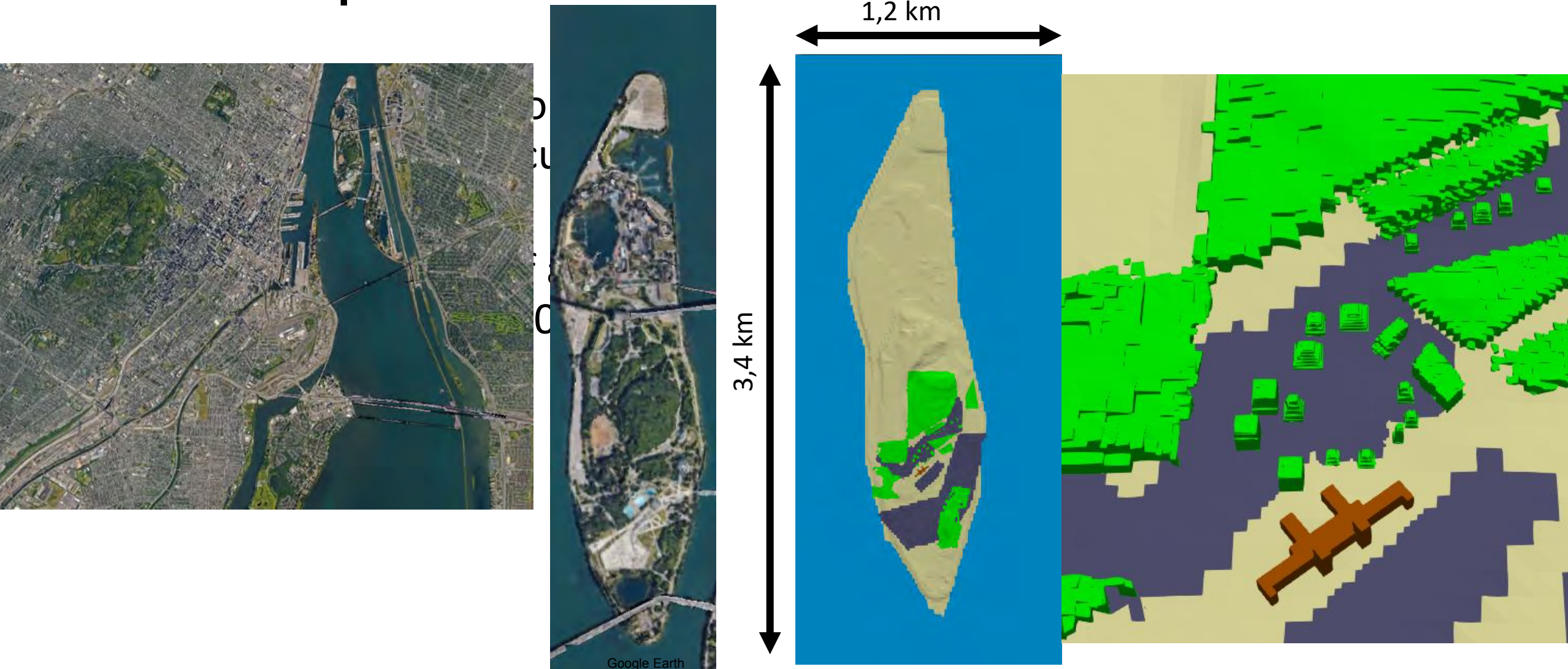
No influence on the boulevard

# Surface temperature at 14h

small streets (128 medium trees)

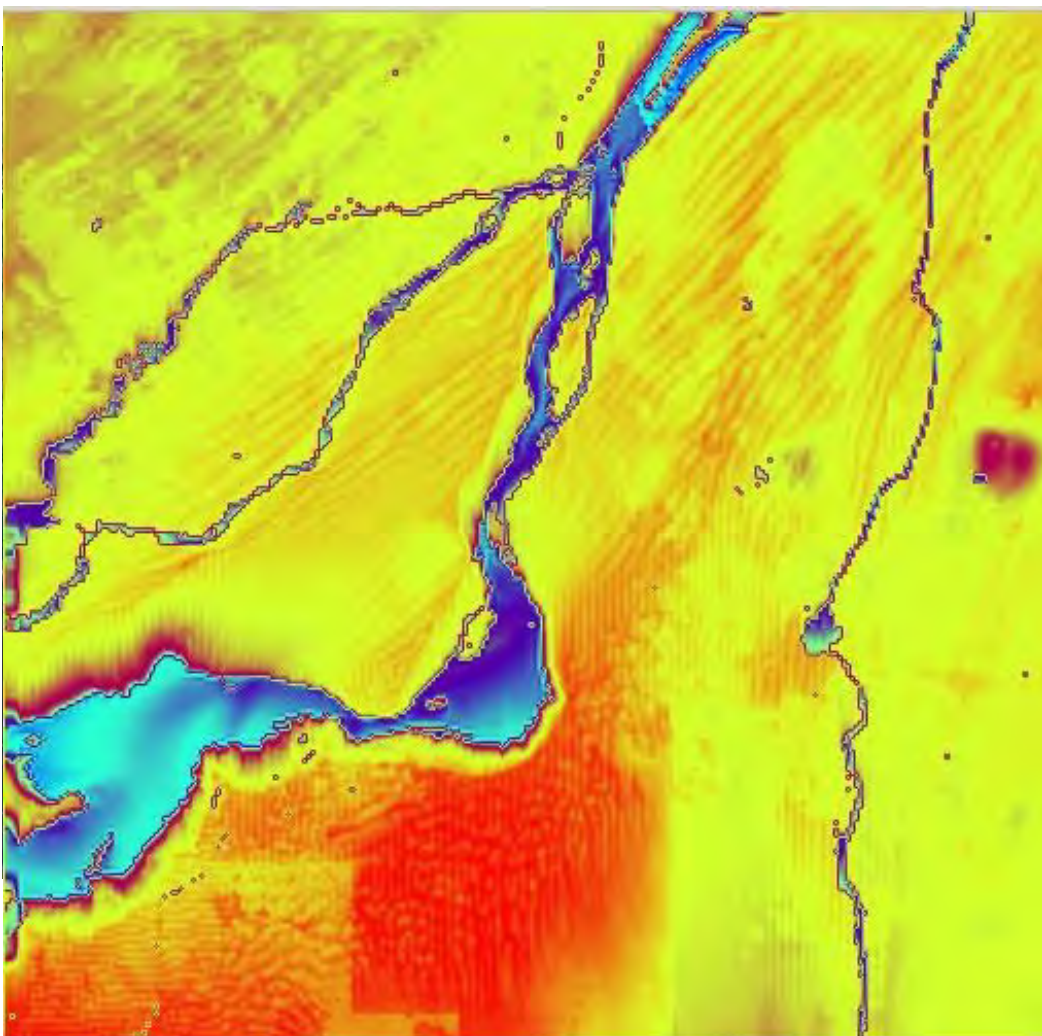


# Urban park

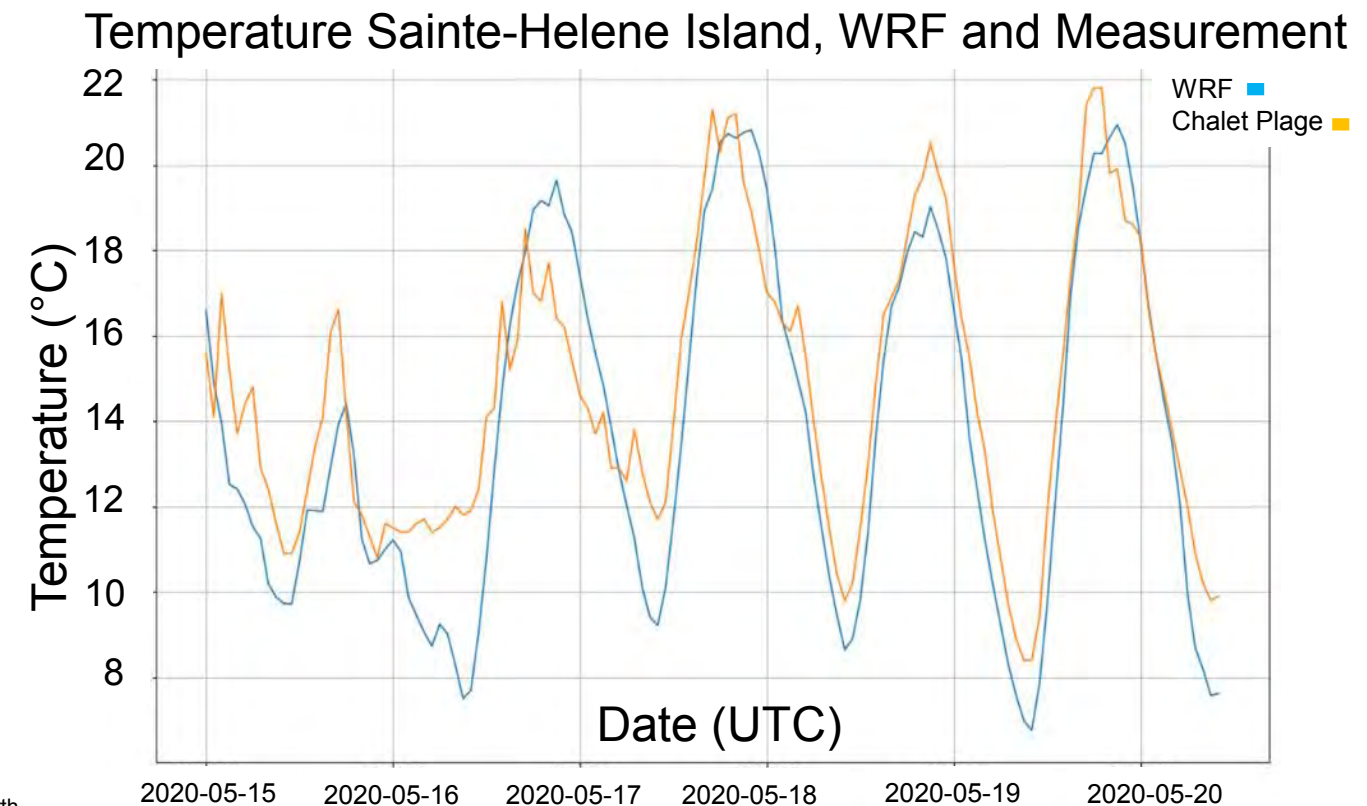


# Boundary conditions from WRF

WRF for urban area



Results versus local measurements



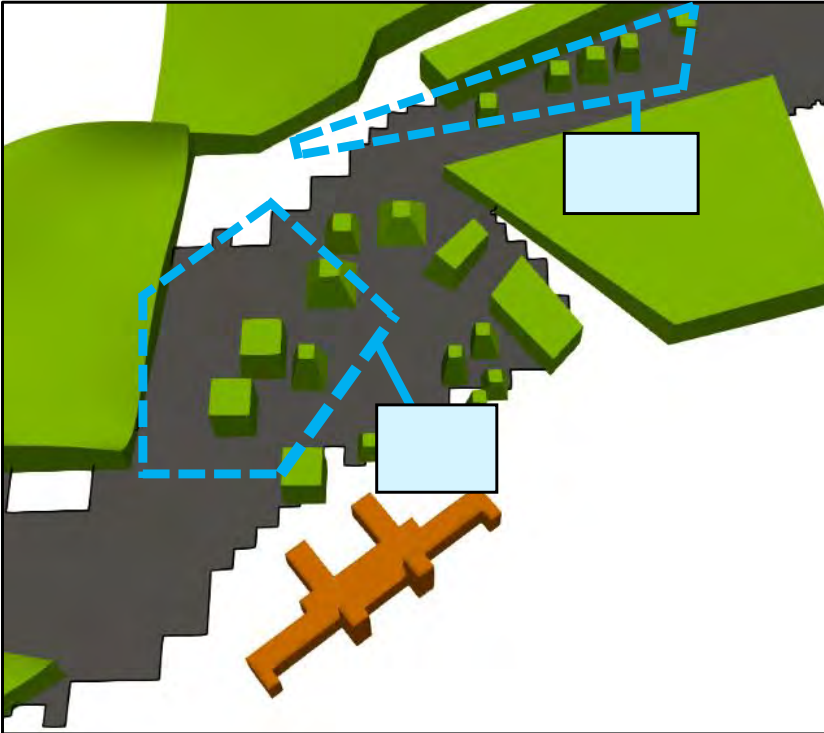
N ↑

# Greening of two parking spaces

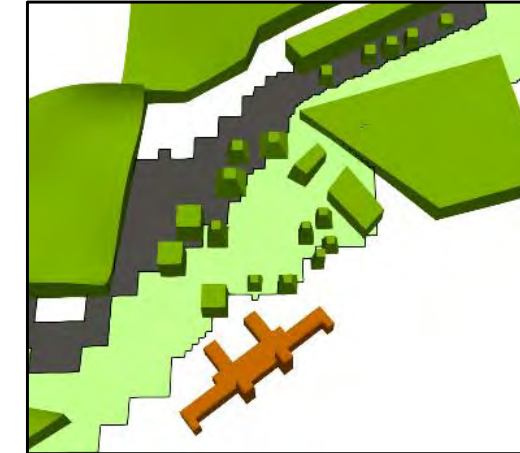


# Scenarios

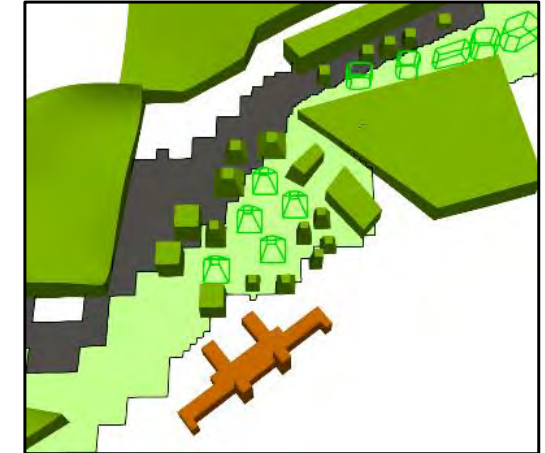
As-is Situation



Parametric Scenarios

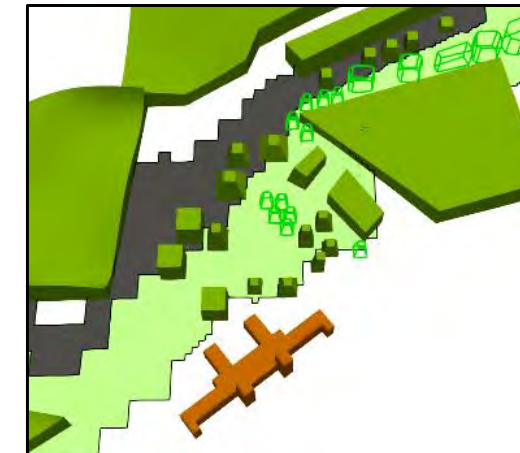


Grass

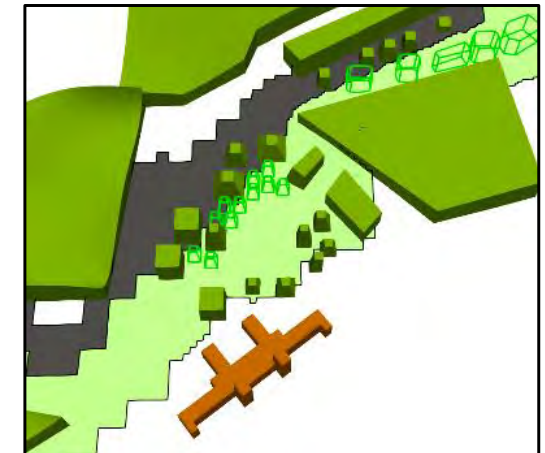


Large Trees

Retrofit Scenarios



Retrofit 1



Retrofit 2



pavement



grass



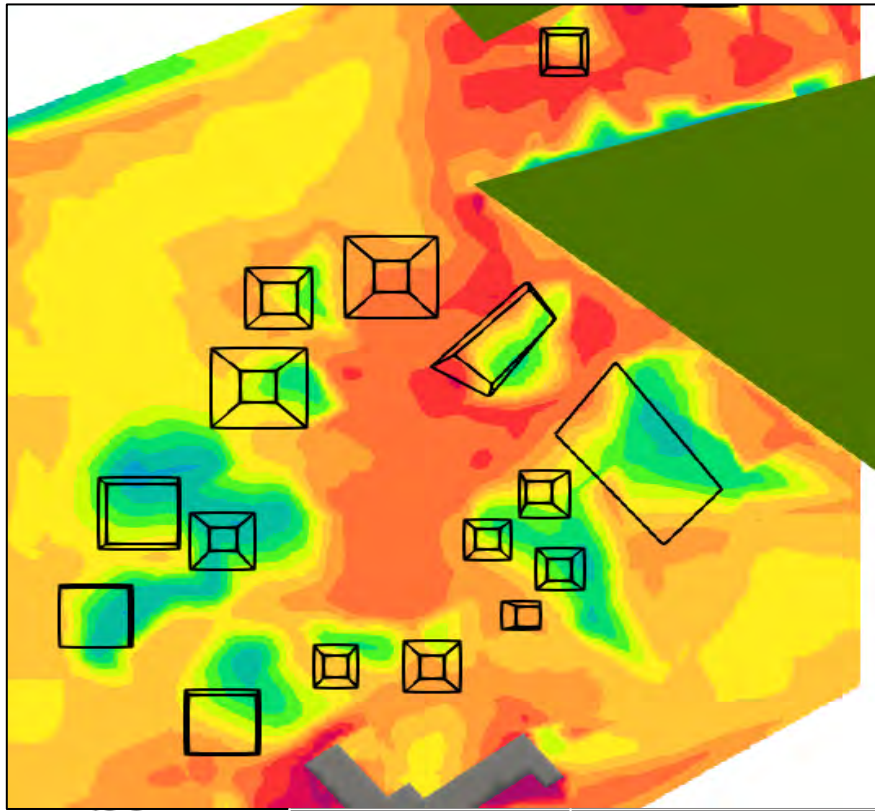
existing trees



new trees

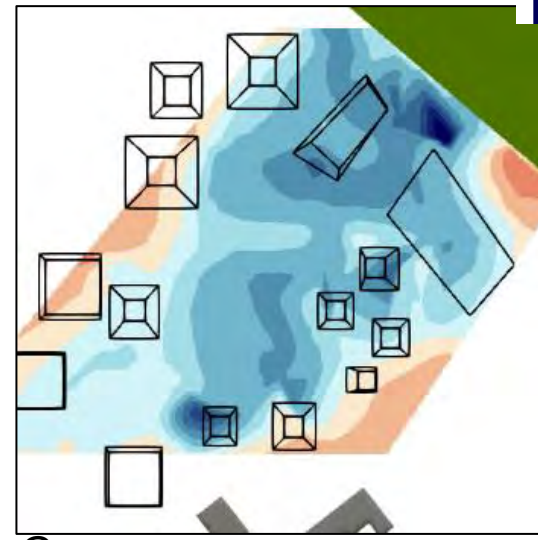
# UTCI per scenarios

As-is Situation



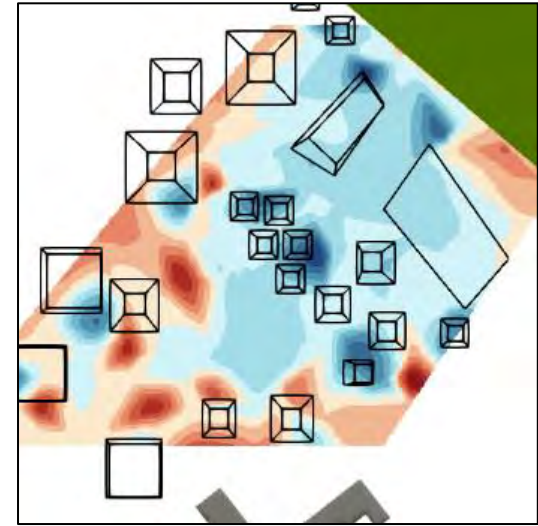
UTCI range (°C)	Stress category
> 46	Extreme heat stress (HS)
38 to 46	Very strong HS
32 to 38	Strong HS
26 to 32	Moderate HS
9 to 26	No thermal stress
0 to 9	Slight cold stress (CS)
-13 to 0	Moderate CS
-27 to -13	Strong CS
-40 to -27	Very strong CS
< -40	Extreme CS

Parametric Scenarios

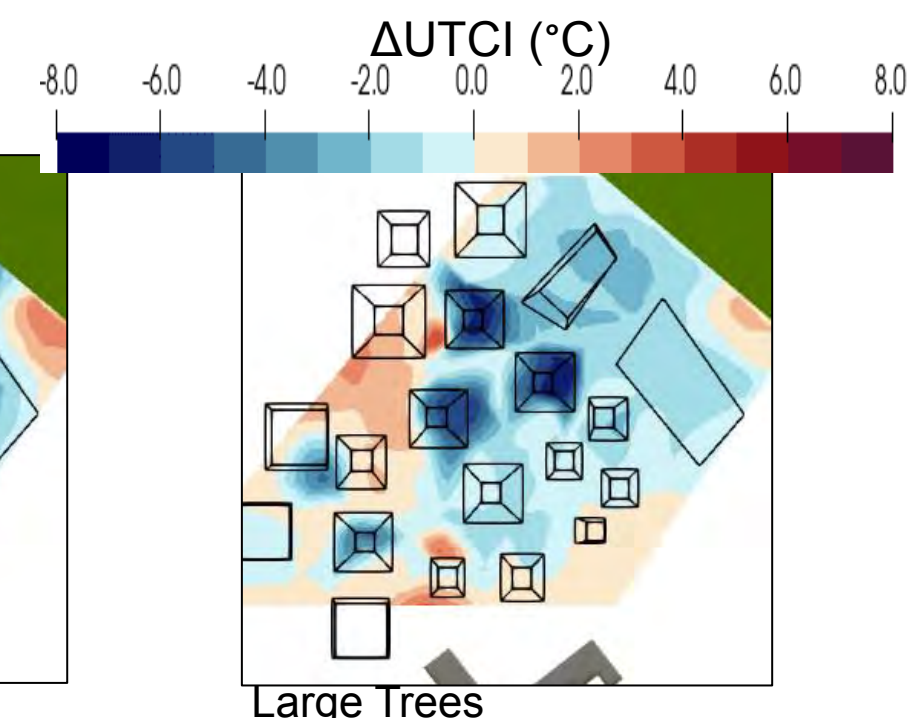


Grass

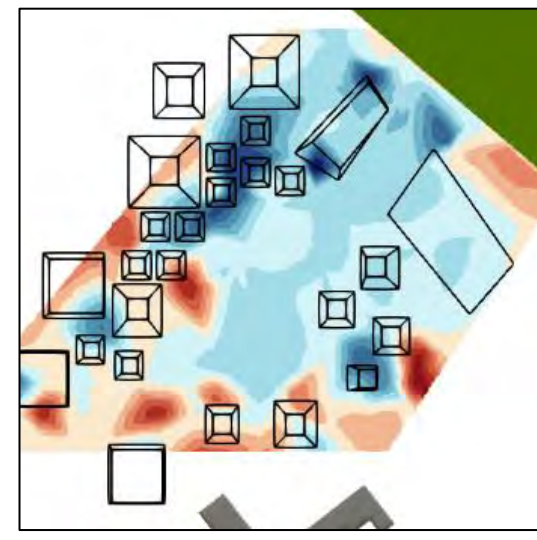
Retrofit Scenarios



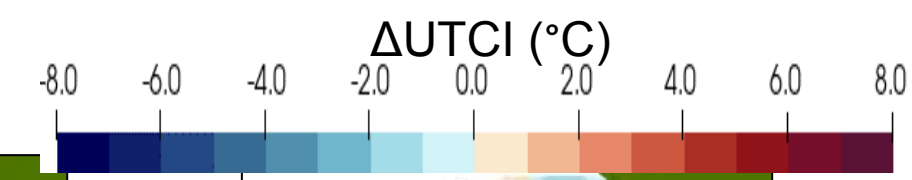
Retrofit 1



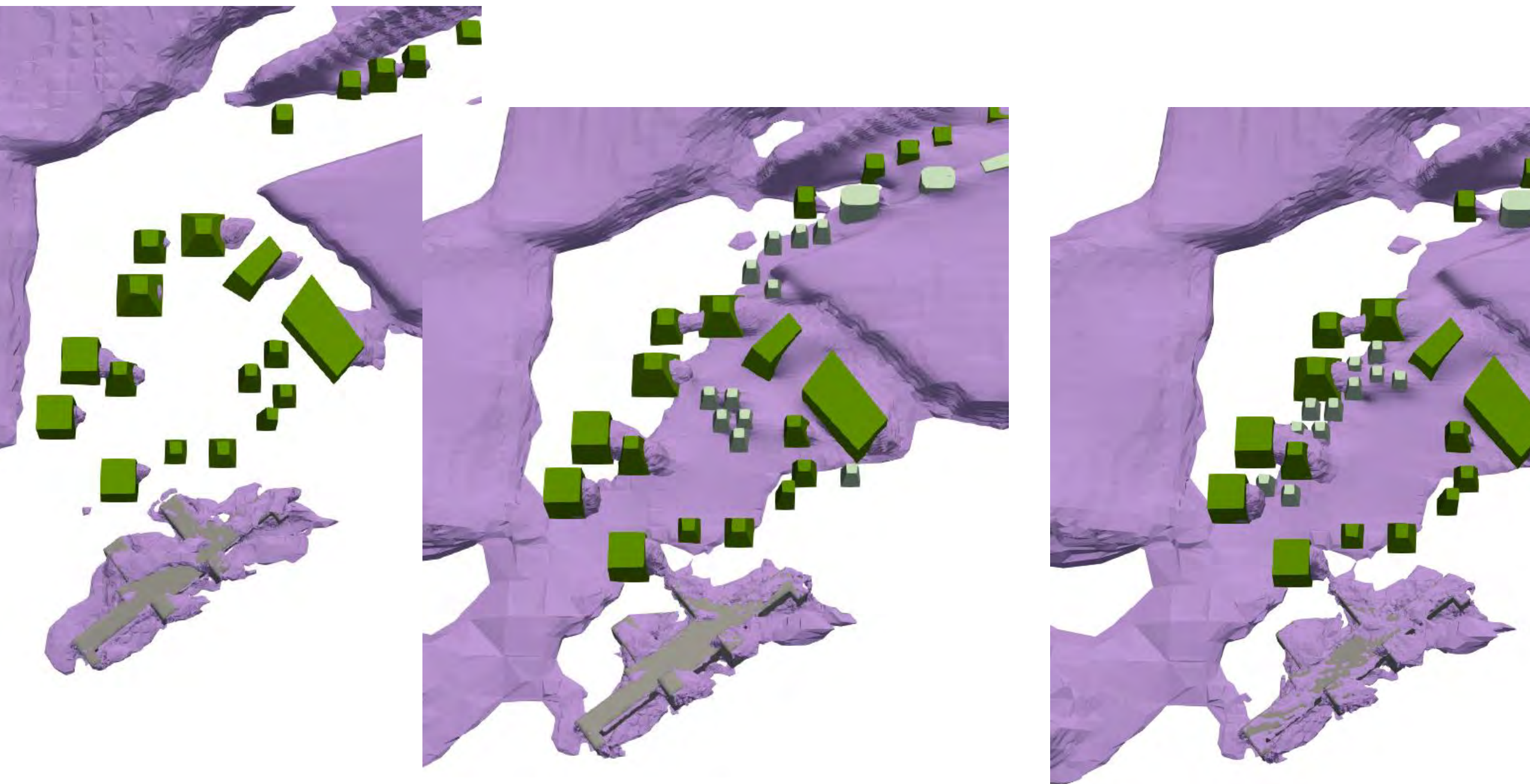
Large Trees



Retrofit 2



Volume of air with an air temperature of at least 2°C than inlet temperature



# Example of heatwave mitigation case study Münsterhof, Zürich



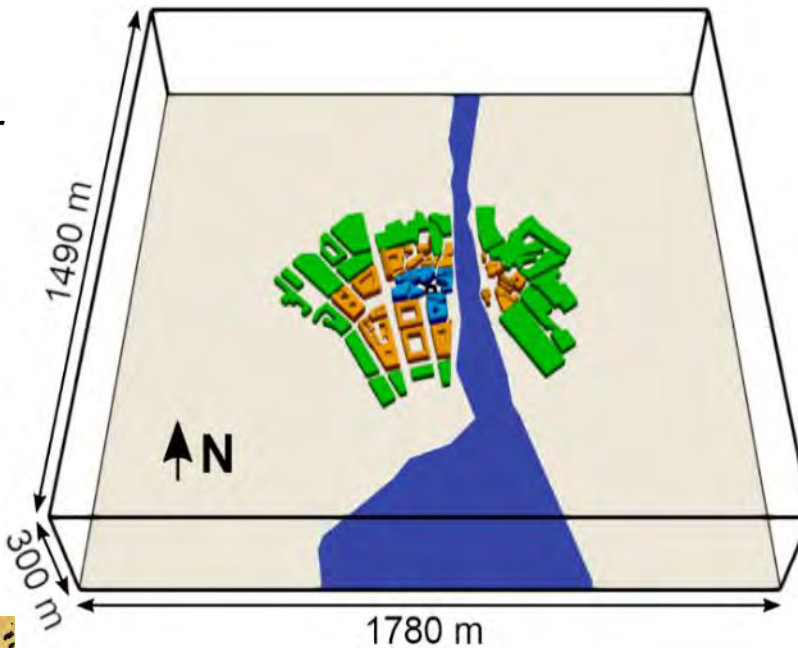
Andrea Ferrari, Aytaç Kibilay, Dominique Derome and Jan Carmeliet, The use of permeable and reflective pavements as a potential strategy for urban heat island mitigation, *Urban Climate*, vol. 31, pp. 100534, Amsterdam: Elsevier, 2019.

Aytaç Kibilay, Dominique Derome and Jan Carmeliet, Impact of evaporative cooling due to wetting of urban materials on local thermal comfort in a street canyon, *Sustainable Cities and Society*, vol. 49, pp. 101574, Amsterdam: Elsevier, 2019.

# Münsterhof – coupled subdomains

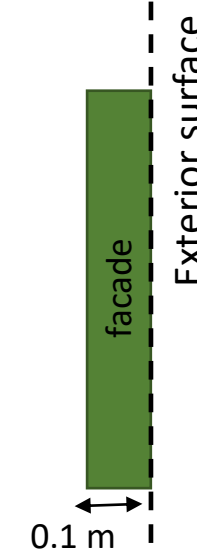
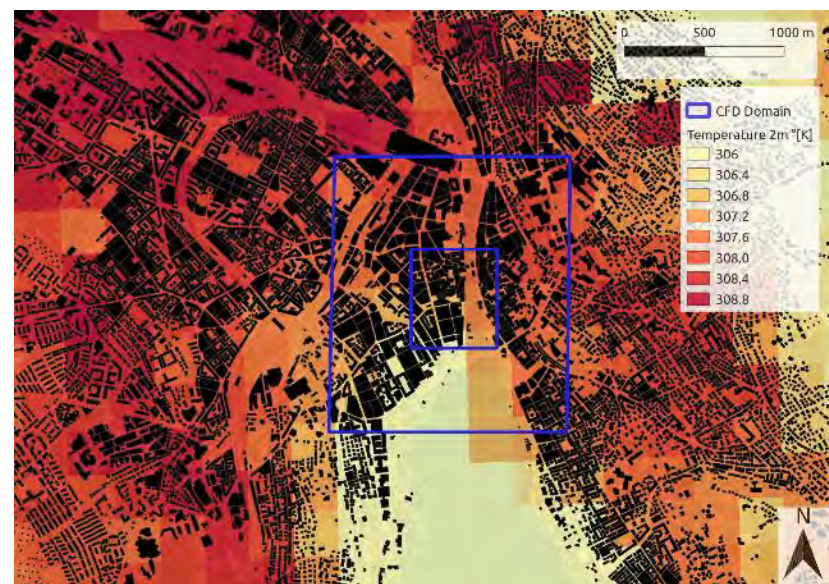
*Domain for air flow*

- Steady Reynolds-averaged Navier Stokes (RANS)

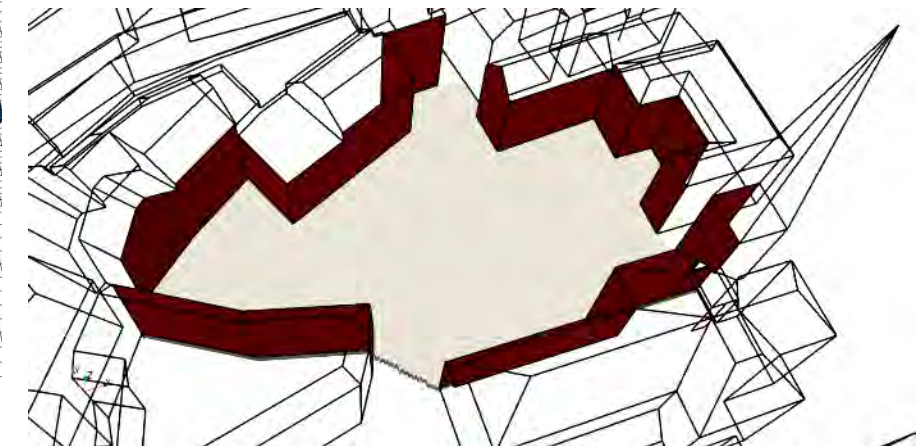


*Mesoscale model*

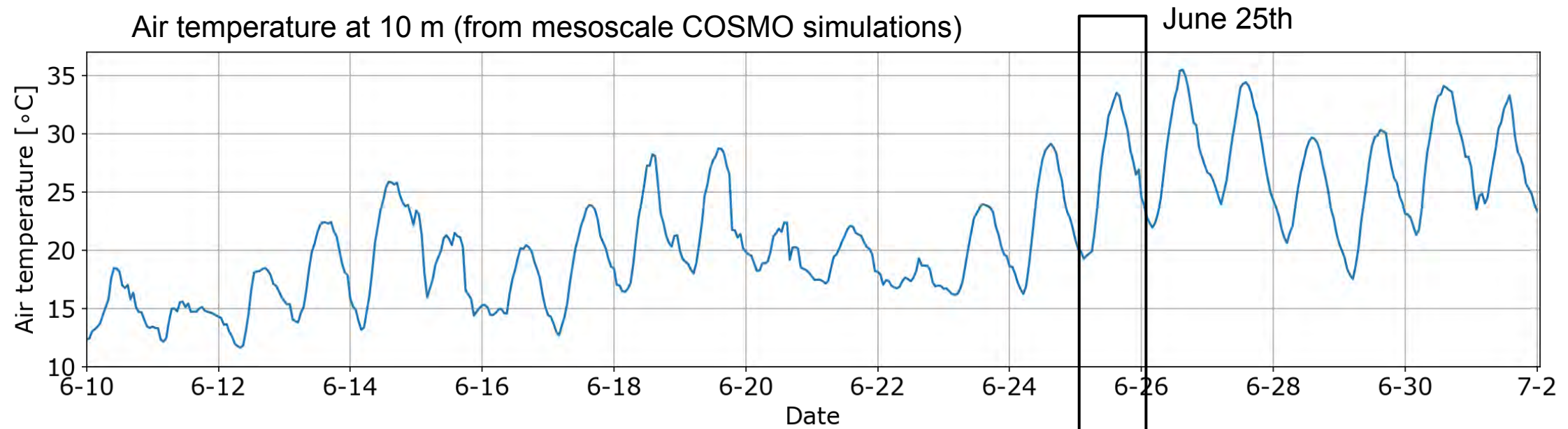
- COSMO + DCEP
- Air temperature at 2 m height



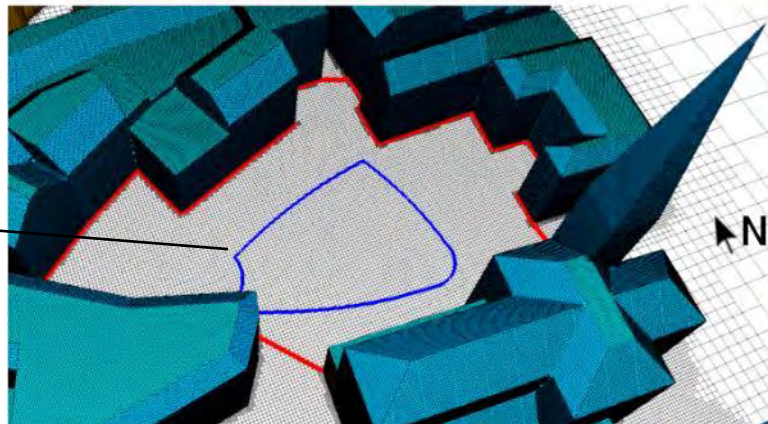
*Domain for porous urban materials*  
- Unsteady Heat & Moisture transport



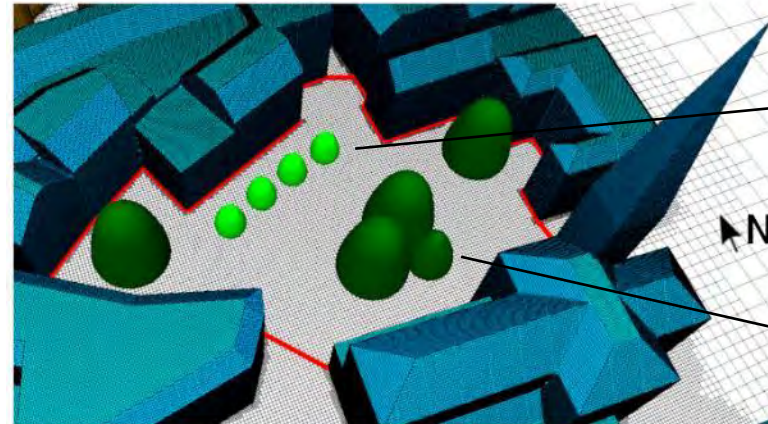
# Meteorological conditions – heat wave 2019 June



Artificial wetting

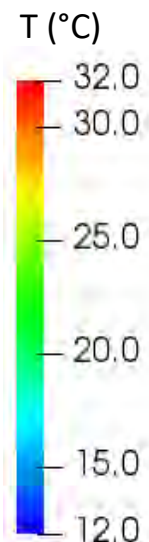
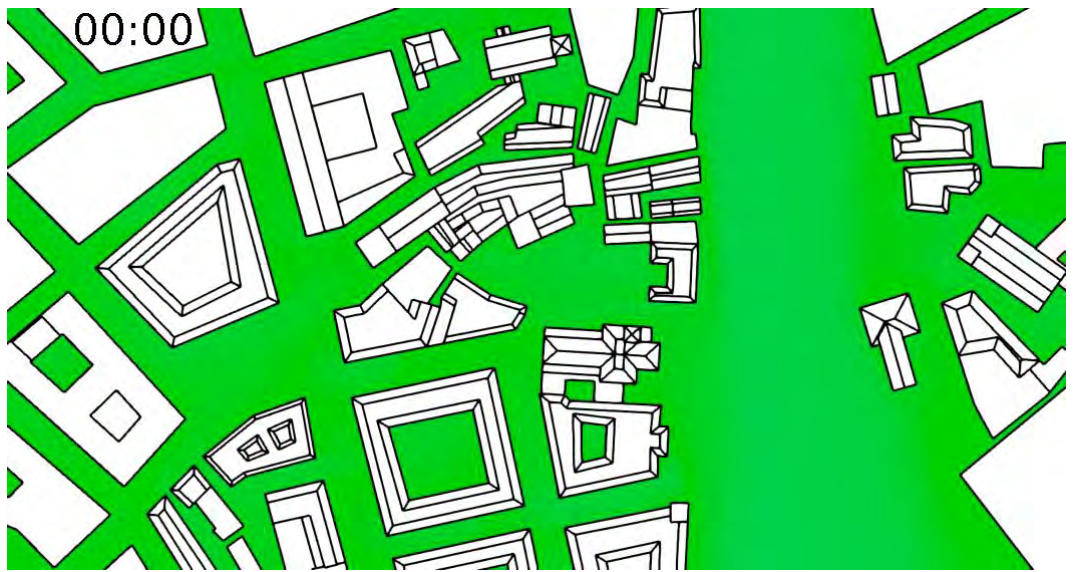


Trees

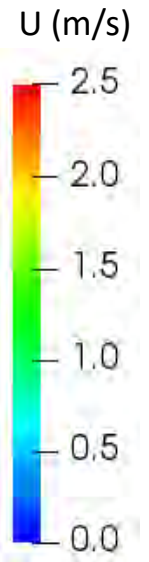
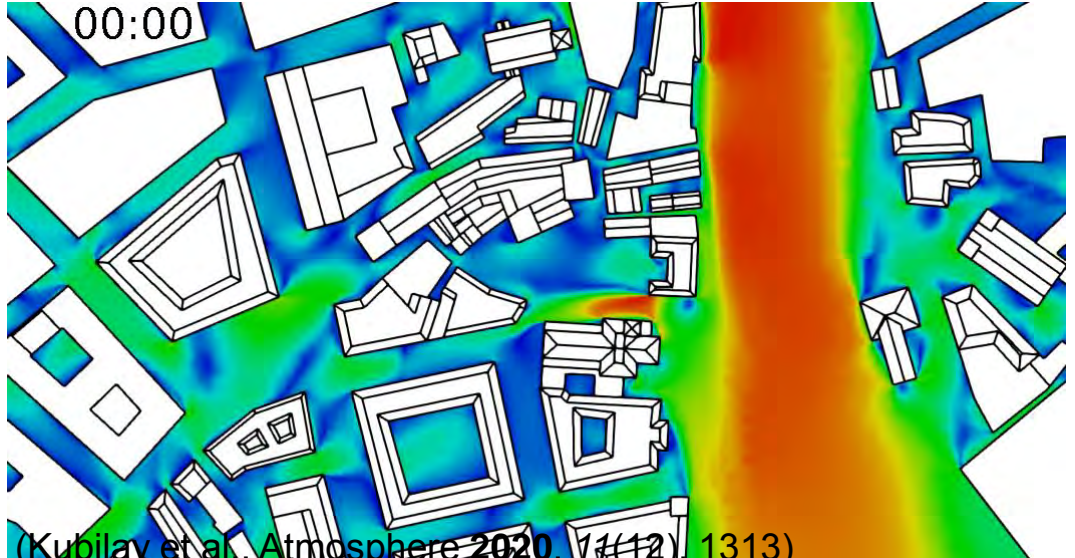


# Pedestrian level conditions

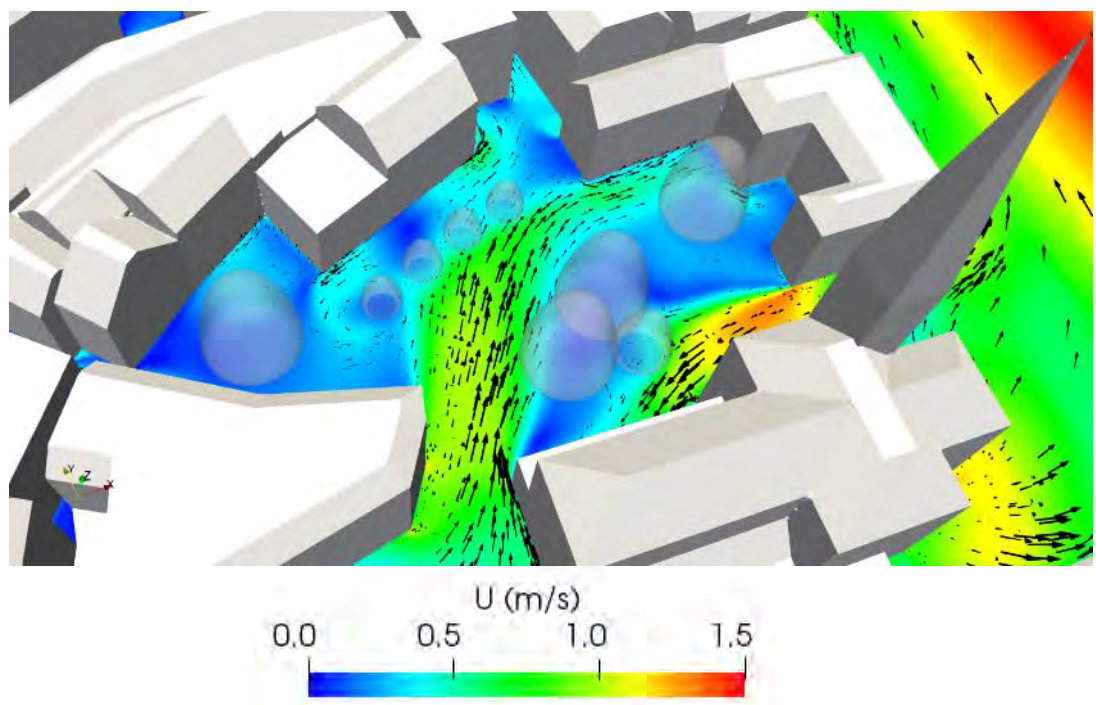
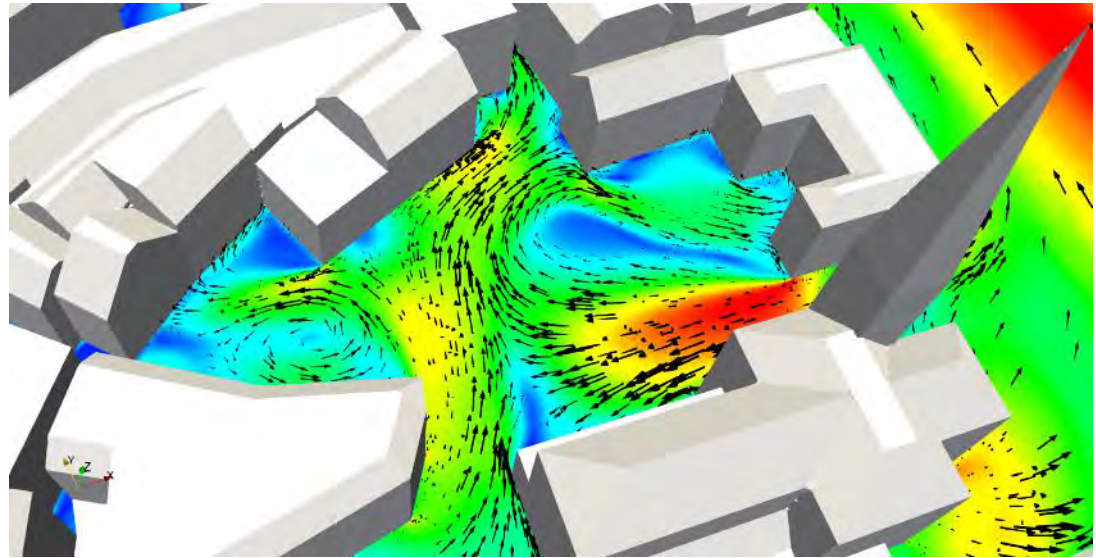
Air temperature at 2 m



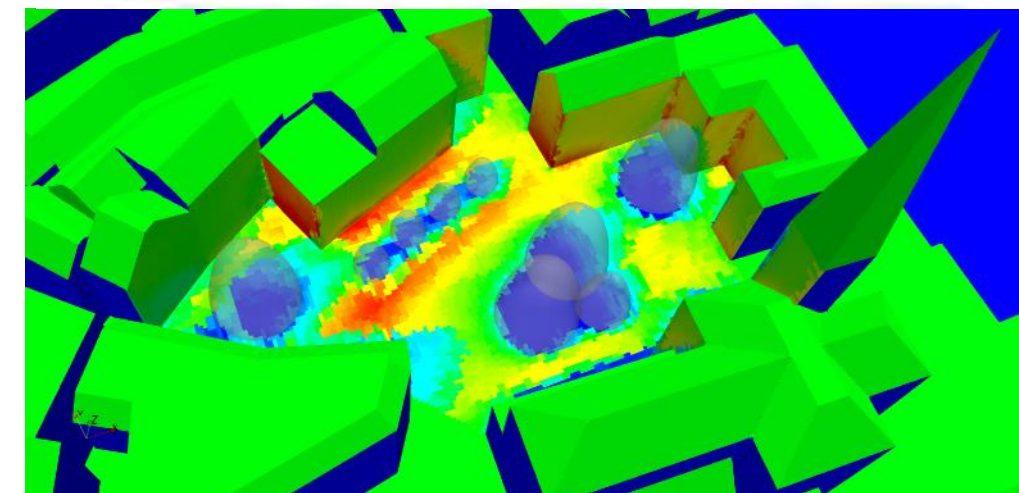
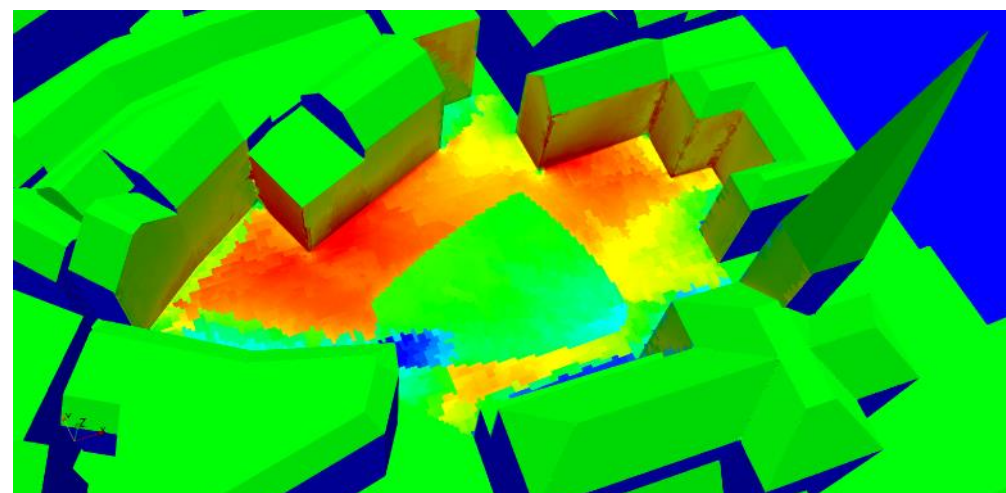
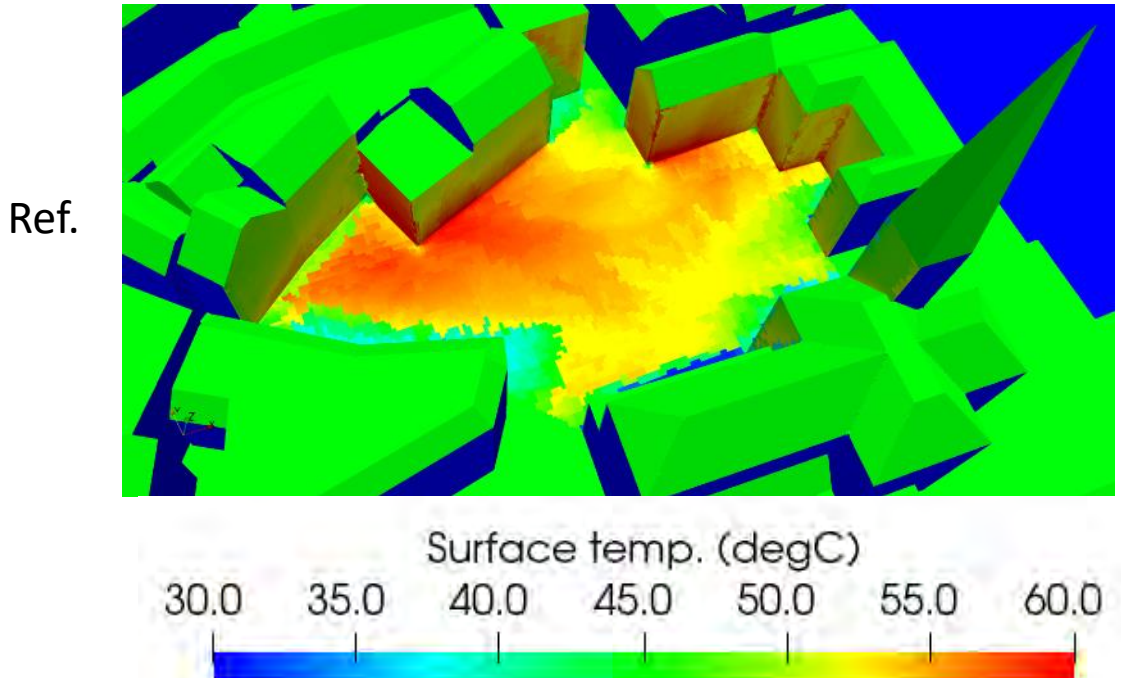
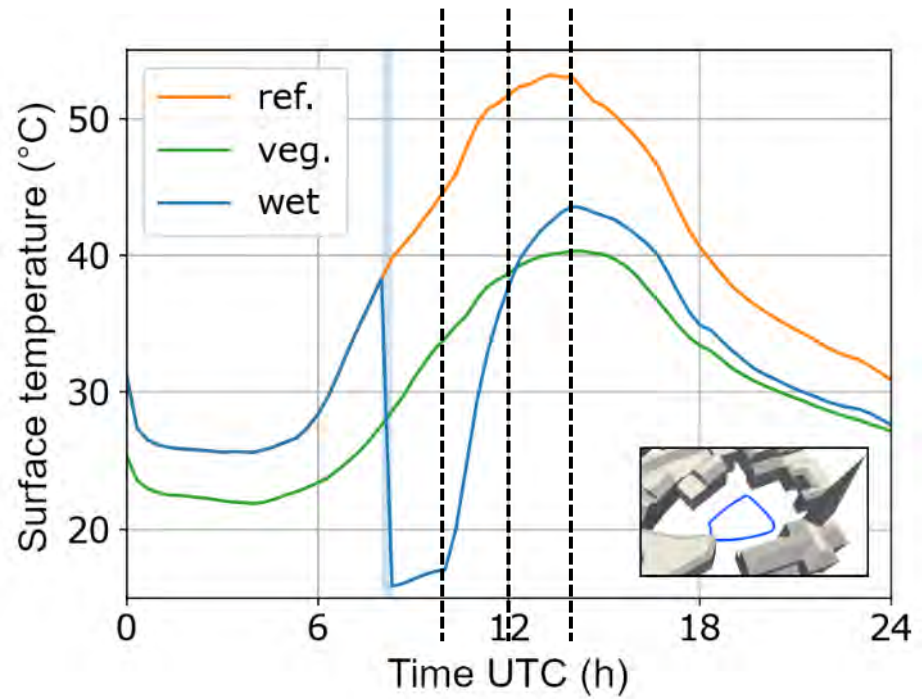
Wind speed at 2 m



wind from south

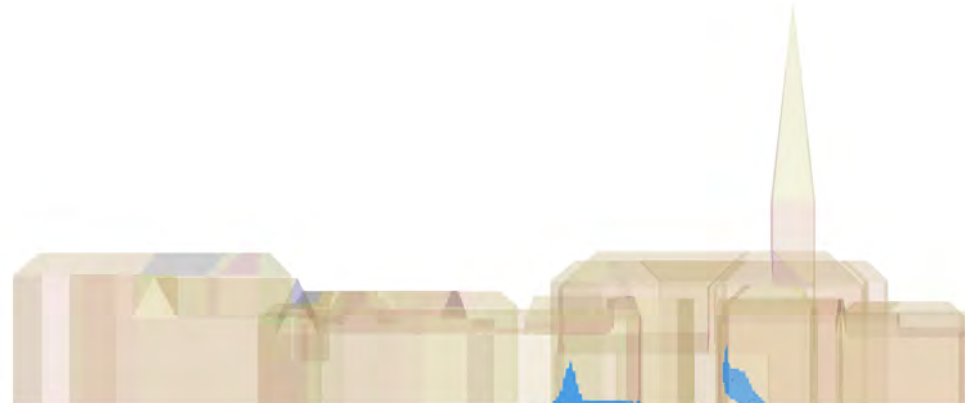
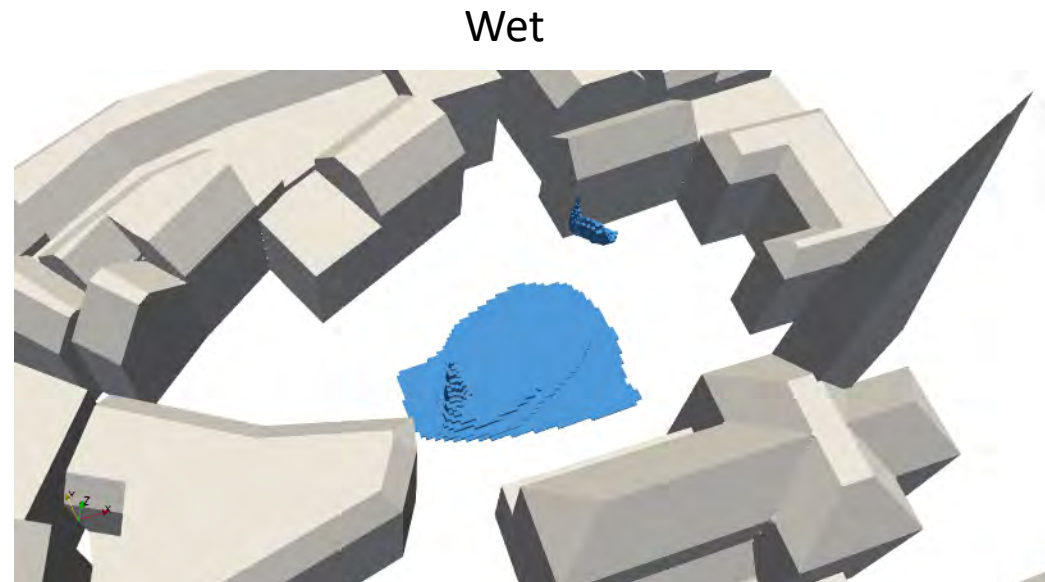
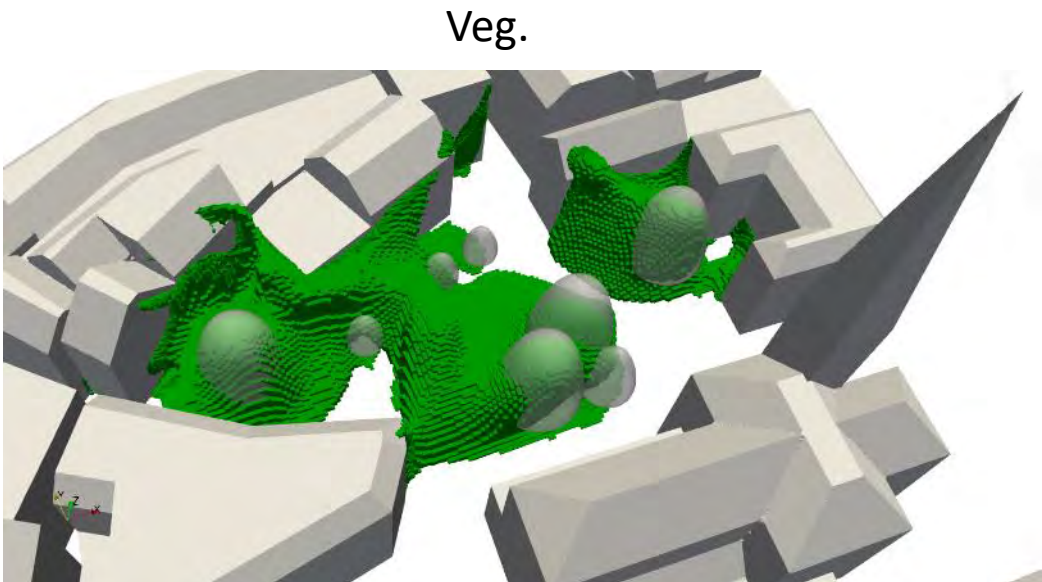


# Comparison of pavement surface temperature

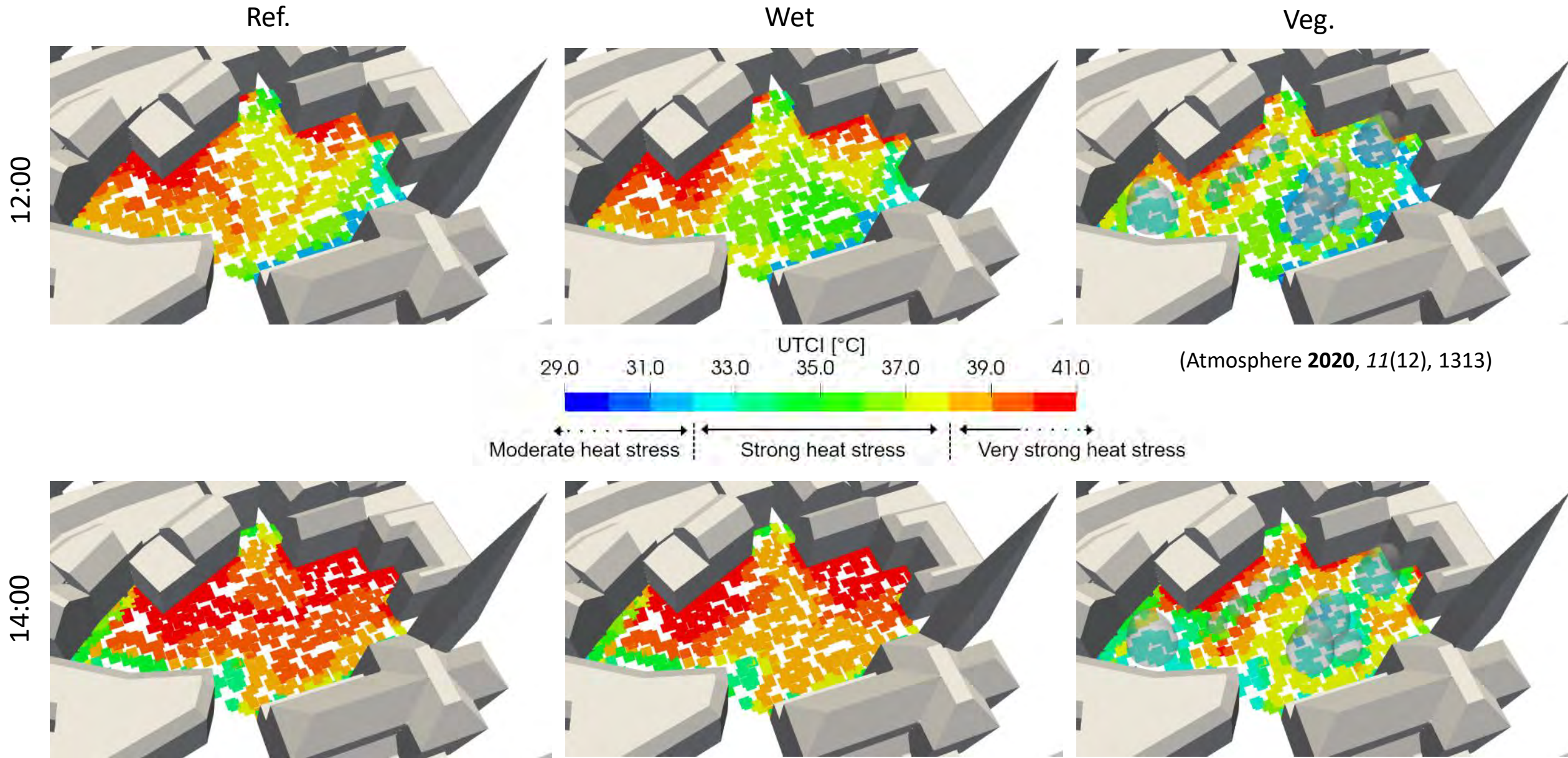


# Reduction in air temperature

Reduction in air temperature  $> 2^{\circ}\text{C}$   
12:00 UTC



## Thermal comfort – Universal thermal climate index (UTCI)



(Kubilay et al., *Atmosphere* **2020**, *11*(12), 1313)

# Modeling trees as porous media in urban environment

microscale urban climate model

considering air, radiation, solid materials,  
**and porous media**

**vegetation: evapotranspiration of leaves**

configuration of trees, from explicit (lidar) to some simplification

towards local mitigation scenarios

using different metrics of evaluation: **UCTI**, CDH, etc.

# Conclusion

## Urban local climate

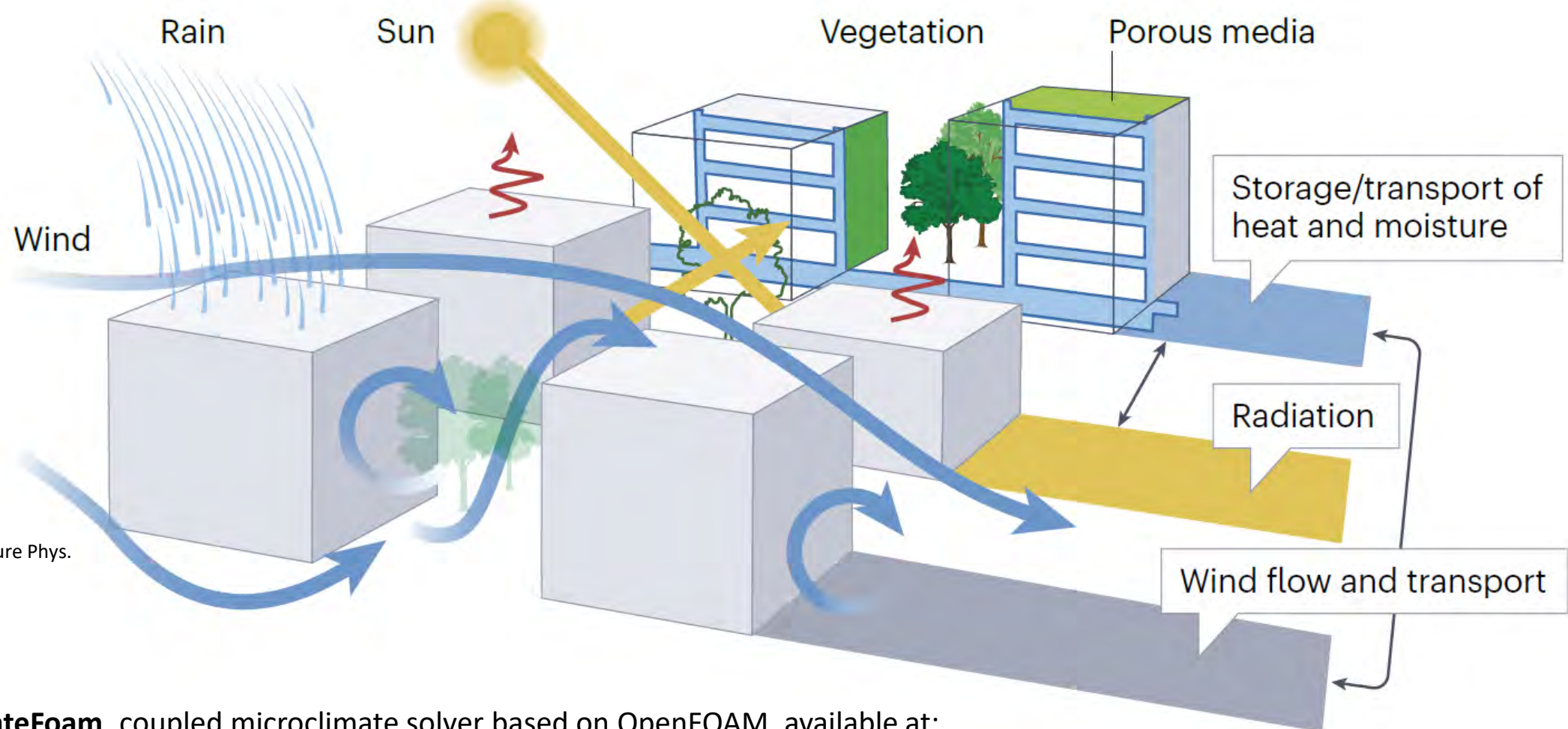
microscale urban climate model  
considering air, radiation, solid materials,  
porous media  
vegetation

using different metrics of evaluation: UCTI, CDH, etc.

Configuration of built environment, green infrastructure,  
temporary structures, etc.

Development of mitigation solutions,  
towards a resilient city in the face of climate change

# All physics urban climate model at the microscale



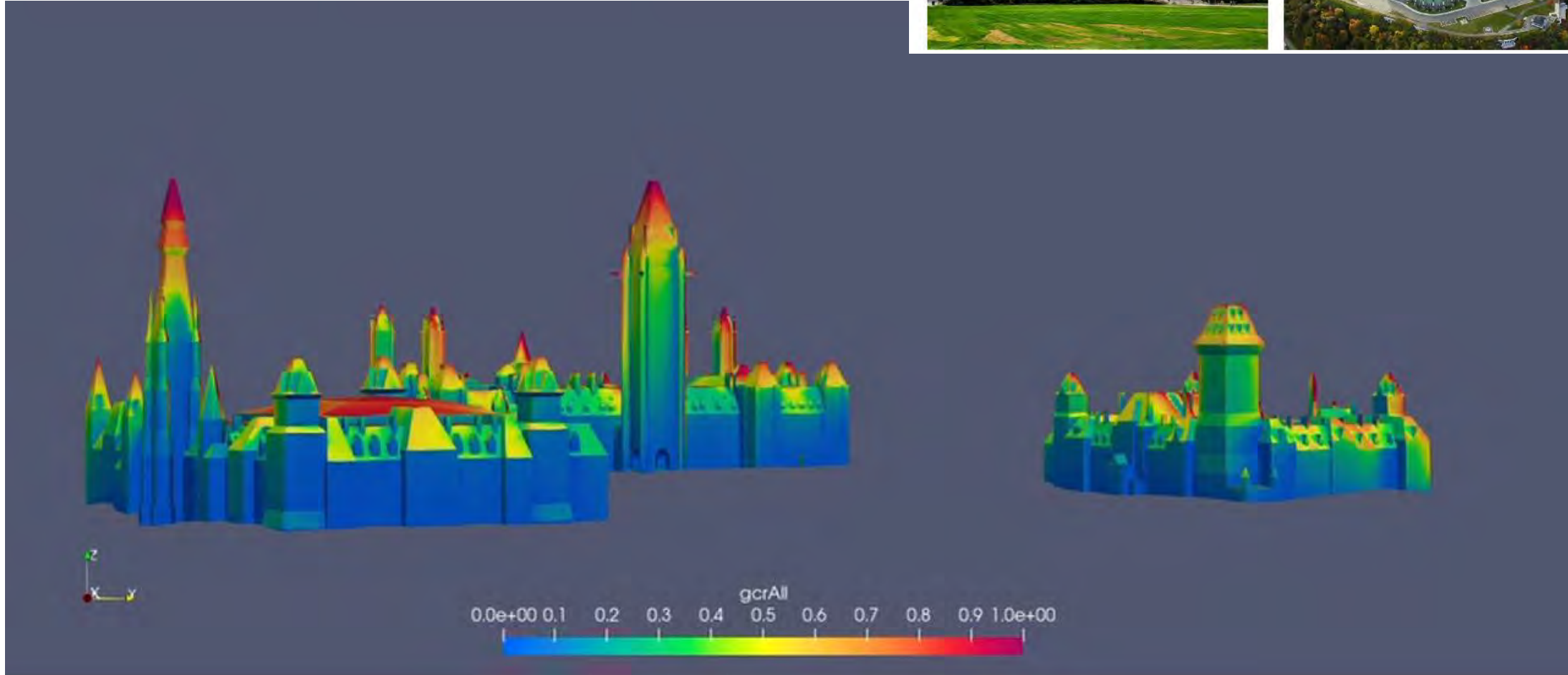
**urbanMicroclimateFoam**, coupled microclimate solver based on OpenFOAM, available at:

<https://gitlab.ethz.ch/openfoam-cbp/solvers/urbanmicroclimatefoam>

<https://carmeliet.ethz.ch/>

**Further read:** A. Kubilay, J. Allegrini, D. Strelbel, Y. Zhao, D. Derome, J. Carmeliet (2020). Advancement in Urban Climate Modelling at Local Scale: Urban Heat Island Mitigation and Building Cooling Demand. *Atmosphere* 11(12), 1313.

# Wind-driven rain simulation



**Global catch ratio for year 2011** Ratio of yearly cumulative WDR/ horizontal rain amount

Kubilay, Bourcet et al. 2021 Buildings